

АЗӘРБАЙЧАН ССР ЕЛМЛӘР АКАДЕМИЈАСЫ  
АКАДЕМИЯ НАУК АЗЕРБАЙДЖАНСКОЙ ССР

---

# МӘРҮЗӘЛӘР ДОКЛАДЫ

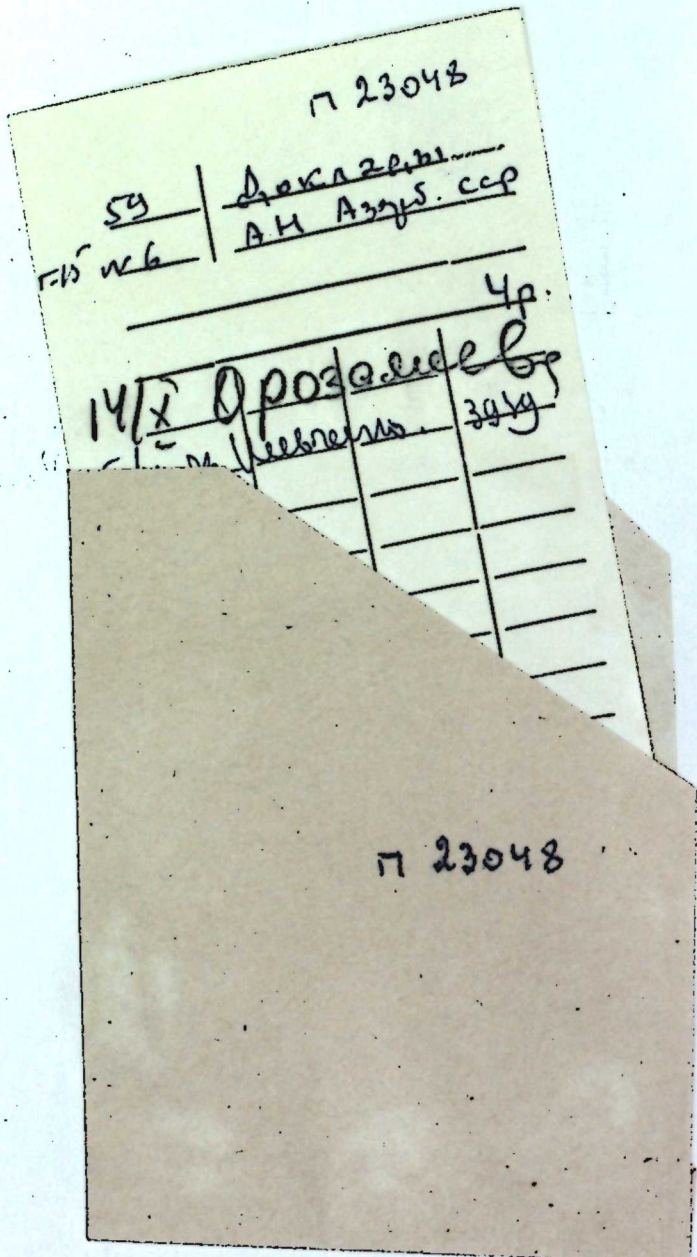
ТОМ XV ЧИЛД

6

---

АЗӘРБАЙЧАН ССР ЕЛМЛӘР АКАДЕМИЈАСЫ ИШРИЈАТЫ  
ИЗДАТЕЛЬСТВО АКАДЕМИИ НАУК АЗЕРБАЙДЖАНСКОЙ ССР  
Бакы—1959—Баку

АЗЭРБАЙЧАН ССР ЕЛМЛЭР АКАДЕМИЈАСЫ  
АКАДЕМИЯ НАУК АЗЕРБАЙДЖАНСКОЙ ССР



# МЭ'РУЗЭЛЭР ДОКЛАДЫ

ТОМ XV ЧИЛД

№ 6

АЗЭРБАЙЧАН ССР ЕЛМЛЭР АКАДЕМИЈАСЫ НЭШРИЈАТЫ  
ИЗДАТЕЛЬСТВО АКАДЕМИИ НАУК АЗЕРБАЙДЖАНСКОЙ ССР  
БАКЫ—1959—БАКУ

РИЈАЗИЈАТ

Э. С. ЧӘФӘРОВ

ФУНКСИЈАЛАРЫН ЧОХНӘДЛИЛӘР ВАСИТӘСИЛӘ ЭН  
ЈАХШЫ ЧӘКИЛИ МҮНТӘЗӘМ ЈАХЫНЛАШМАСЫ ҺАГГЫНДА

(Азәрбајҹан ССР ЕА академики З. И. Хәлилов тәрәғиндән тәгдим едилмишидир)

Бирдәјишили функцијаларын чохнәдлиләр васитәсилә эн јахшы чәкили мүнгәзәм јахынлашмасынын тәртиби биринчи дәфә М. М. Чубашян тәрәғиндән өјрәнилмишидир [1, 2]. Соңалар бу нәтичәләр чохнәдешенли функцијалара көчүрүлмүшдүр [3, 4]. Гејд етмәк лазымдыр ки, [4]-дә алынан тәрс теоремләр, чәки функцијасы үзәринә гојулмуш әлавә шәрти нәзәрә алмадыгда, бир дәјишили функцијаларын чохнәдлиләр васитәсилә эн јахшы чәкили мүнтәзәм јахынлашмасы һаггындақы тәрс теоремләрдән үмумидир.

Әvvәлдә алынан дүз теоремләр мәһдуд функцијалара аиддир. Буна керә дә гејри-мәһдуд функцијалар үчүн чәкили-мүнтәзәм јахынлашмасынын функцијанын дифференциал-гурулуш хассәләриндән асылы олараг өјрәнилмәси марагылдыр. Бу мәгаләдә һәмин мәсәләје мүәjjән дәрәчәдә чаваб верилир.

Фәрз едәк ки,  $y_j = p_j(x)$  ( $j=1, 2, \dots, s$ ) һәгиги ох үзәриндә кәсилемәјән, чүт олан елә функцијалардыр ки,  $x \geq x_j^{(0)}$  олдугда  $\varphi_j(x) = \frac{p_j(x)}{x}$  ( $j=1, \dots, s$ ) функцијалары монотон артараг $+\infty$ -а јахынлашырлар (бу шәртләр [3]-дә верилмишидир).  $\varphi_j(x)$  ( $-\infty < x < \infty$ ) кәсилемәјәндир,  $\varphi_j(x) \geq 1$  бәрабәрсизлиji өдәниллүр вә

$$\alpha_j(t) = \sup_{\substack{-\infty < x < \infty \\ |t| < t}} \frac{\varphi_j(x + t)}{\varphi_j(x)} \quad (1)$$

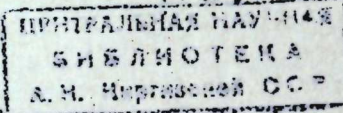
үчүн

$$\int_0^\infty \frac{\ln \alpha_j(t) dt}{1+t^2} < \infty \quad (2).$$

(бу шәртләр [5]-дә верилмишидир).

Кәләчәкдә  $\frac{\partial f}{\partial l_j}$  ( $j=1, \dots, s$ ) илә  $f(x_1, \dots, x_n)$  функцијасынын һәр бир гејд олунмуш  $(x_1, \dots, x_{j(0)}, x_{(j+1)+1}, \dots, x_n)$  ( $j < v(j+1)$ ,  $v(1)=0$ ,  $v(s+1)=n$ ) үчүн ихтијари  $(x_{(j+1)}, \dots, x_{(j+1)})$  нәгтәсиндә  $l_j$  истигамәти үзрә төрәмәни ишарә едәчәйик, бурада  $l_j(x_{(j+1)}, \dots, x_{(j+1)})$  нәгтәләриниң тә'жин етдији евклид фәзасында ихтијари истигамәтдир вә бу истигамәт  $x_1, \dots, x_n$  дәјишиләрнән асылы дејилдир,  $l_j$  истигамәти үзрә  $r$  ( $r=1, 2, \dots$ ) тәртибли төрәмә дедикдә

$$\frac{\partial^r f}{\partial l_j^r} = \frac{\partial}{\partial l_j} \left[ \frac{\partial^{r-1} f}{\partial l_j^{r-1}} \right], \quad \frac{\partial^0 f}{\partial l_j^0} = f$$



кемијјетини баша дүшәчәйик.  $C_{\varphi}^{(n)}$  илә  $n$  өлчүлү өвклид фәзасында кәсилмәјөн вә нормасы

$$\|f\|_{\varphi}^{(n)} = \sup_{x_1, \dots, x_n} \left| \frac{f(x_1, \dots, x_n)}{\prod_{j=1}^s \prod_{i=\nu(j)+1}^{\nu(j+1)} \varphi_i(x_i)} \right| \quad (3)$$

илә тә'жин олунан  $f(x_1, \dots, x_n)$  функцијалар фәзасыны ишарә едәк. Фәрз едәк ки,  $f \in C_{\varphi}^{(n)}$  вә

$$E_{N_1, \dots, N_s}^{(n)}(s; p_1, \dots, p_s) = \inf_{Q_{N_1, \dots, N_s}} \sup_{x_1, \dots, x_n} e^{-\sum_{j=1}^s \sum_{i=\nu(j)+1}^{\nu(j+1)} p_i(|x_i|)} |f(x_1, \dots, x_n) - Q_{N_1, \dots, N_s}(x_1, \dots, x_n)|, \quad (4)$$

бурада дәгиг ашағы сәрхәд  $x_{\nu(j)+1}, \dots, x_{\nu(j+1)}$  дәјишәнләриндән һәр биринең нәзәрән дәрәчәси  $N_j (j = 1, \dots, s)$ -дән бөյүк олмајан бүтүн  $Q_{N_1, \dots, N_s}(x_1, \dots, x_n)$  чохһәдлиләри айләсингә кетүүрүлүр.

$x_j = q(y_j)$  илә  $y_j = p(x_j)$ -ын ( $j = 1, \dots, s$ ) тәрс функцијасыны ишарә етсәк, јухарыдашы шәртләр дахилиндә ашағыдашы төрөм доғрудур.

Теорем. Тутаг ки,  $l_j$  ихтијари истигамат олдугда  $f$  вә  $\frac{\partial^r f}{\partial l_j^r} (r_j \geq 0, j = 1, \dots, s) C_{\varphi}^{(n)}$  синфинә дахилдир вә  $k_j$  тәбии әдәд олдугда

$$\omega_{nj}^{(k)}(\delta)_{\varphi} = \sup_{|h| < \delta} \left\| \sum_{l=0}^k (-1)^{k-l} \left( \frac{k}{l} \right) \frac{\partial^r f}{\partial l_j^r} (x_1, \dots, x_{\nu(j)}, x_{\nu(j)+1} + h, \dots, x_{\nu(j+1)} + h, x_{\nu(j+1)+1}, \dots, x_n) \right\|_{\varphi}^{(n)} \quad (5)$$

Онда  $N_1, \dots, N_s \geq 1$  олдугда ашағыдашы бәрабәрсизлик доғрудур:

$$E_{N_1, \dots, N_s}^{(n)}(f; p_1, \dots, p_s) \leq \sum_{j=1}^s \left( \frac{q_j(N_j)}{N_j} \right)^{r_j} \sup_{l_j} \omega_{nj}^{(k_j)} \left( \frac{q_j(N_j)}{N_j} \right)_{\varphi}, \quad (6)$$

О бурада  $r_1, \dots, r_s$ -дән асылыдырып.

Хүсуси налда  $k_j = 1, \varphi_j(x) \equiv 1, \nu(j) = j - 1 (j = 1, \dots, n)$  олдугда [3]-дәки ишин 4-чү теоремини алышырга.

Бу теоремин исбаты үчүн М. М. Чубашян вә А. Б. Таваджанын исбатында ашағыдашылары нәзәрә алмаг лазымдыр:

1)  $\varphi_j(x) e^{-p(|x|)}$  гојулмуш шәртләр дахилиндә мәһдуддур.

2)  $\sigma_1, \dots, \sigma_s \geq 1$  һәгиги әдәдләри үчүн  $z_1, \dots, z_n$  дәјишәнләринин ашағыдашы шәртләри өдәјән  $g_{\sigma_1, \dots, \sigma_s}(z_1, \dots, z_n)$  там функцијасы вардыр.

$$a) \|g_{\sigma_1, \dots, \sigma_s}(x_1, \dots, x_n)\|_{\varphi}^{(n)} \leq A < \infty,$$

А бурада  $\sigma_1, \dots, \sigma_s$ -дән асылы дејилдир.

$$b) \|f(x_1, \dots, x_n) - g_{\sigma_1, \dots, \sigma_s}(x_1, \dots, x_n)\|_{\varphi}^{(n)} \leq B \sum_{j=1}^s \omega_{nj}^{(k_j)} \left( \frac{1}{\sigma_j} \right)_{\varphi}$$

$$b) \left\| \frac{\partial g_{\sigma_1, \dots, \sigma_s}(x_1, \dots, x_n)}{\partial x_j} \right\|_{\varphi}^{(n)} \leq M \sigma_j \|g_{\sigma_1, \dots, \sigma_s}(x_1, \dots, x_n)\|_{\varphi}^{(n)}$$

$(\nu(j) + 1 \leq i \leq \nu(j+1), j = 1, 2, \dots, s)$

(бы шәртләри өдәјән  $g_{\sigma_1, \dots, \sigma_s}$  функцијасынын варлығы, функцијаларын

соңку дәрәчәли там функцијаларла јаҳынлаштырылмасы мәсәләсілә сых әлагәдер олдуғундан айрыча мәгаләдә исбат олуначагдыр).

Ејни гајда илә [3]-дәки ишин 6-вә 7-чи теоремләрин үмумиләшмәсими вермәк олар.

### ЭДӘБИЙЛАТ

1. Джрабашян М. М. О взвешенно-наилучшем приближении полиномами на вещественной оси. „ДАН СССР“, 1952, т. 84, № 2. Джрабашян М. М. Некоторые вопросы теории взвешенно-полиномальных приближений в комплексной области. „Матем. сб.“, 1955, 36 (78), 353—440. 3. Джрабашян М. М. и Таваджян А. Б. О взвешенно-равномерном приближении полиномами функций многих переменных. „Матем. сб.“, 1957, 43 (85), 227—259. 4. Джрафаров А. С. О взвешенно-наилучшем приближении функций многих переменных при помощи многочленов. „Тр. Ин-та физики и математики АН Азерб. ССР“, 1959, т. IX. 5. Иноzemцев О. К. Теория наилучшего приближения непрерывных функций с помощью целых функций конечной степени. „Тр. Харьк. политех. ин-та им. В. И. Ленина“, сер. инженерно-физическая, 1955, т. 5, вып. 1.

Алымышдыр З. И. 1959

Физика вә Риаџијат  
Институту

А. С. Джрафаров

### О взвешенно-наилучшем равномерном приближении функций посредством многочленов

#### РЕЗЮМЕ

В настоящее время имеющиеся прямые теоремы [1—4] о взвешенно-наилучшем равномерном приближении функций посредством многочленов доказаны для ограниченных функций. В резюмируемой статье дается теорема, распространяющаяся на результаты названных статей для некоторого класса неограниченных функций; кроме того, эта теорема является более общей и по некоторым другим признакам.

Допустим, что  $u_j = p_j(x) (j = 1, \dots, s)$  на всей вещественной оси — непрерывная, четная, а для  $x \geq x_j^{(0)}$  функция  $u_j(x) = \frac{p_j(x)}{x}$  монотонно стремится к бесконечности. Обозначим через  $x_j = q_j(u_j)$  функцию обратную  $u_j = p_j(x_j)$ .

Далее, пусть  $\varphi_j(x)$  на всей вещественной оси непрерывны,  $\varphi_j(x) \geq 1$  и для  $a_j(t)$ , определяемых равенством (1), выполняется (2).

Сбозначим через  $C_{\varphi}^{(n)}$  множество функций  $f$  непрерывных в  $n$ -мерном евклидовом пространстве, для которых  $\|f\|_{\varphi}^{(n)}$ , определяемая равенством (3), конечна.

Под  $\frac{\partial f}{\partial l_j} (j = 1, \dots, s)$  будем понимать для каждой фиксированной

точки  $(x_1, \dots, x_{\nu(j)}, x_{\nu(j)+1} + 1, \dots, x_n)$  производную по направлению  $l_j$  в точке  $(x_{\nu(j)+1}, \dots, x_{\nu(j+1)})$ , где  $l_j$  — направление в пространстве точек  $(x_{\nu(j)+1}, \dots, x_{\nu(j+1)})$ , причем, направление  $l_j$  не зависит от  $x_1, \dots, x_n$ .

$$\frac{\partial f}{\partial l_j} = \frac{\partial}{\partial l_j} \left[ \frac{\partial^{r-1} f}{\partial l_j^{r-1}} \right], \quad \frac{\partial^0 f}{\partial l_j^0} = f$$

$E_{N_1, \dots, N_s}^{(n)}(f, p_1, \dots, p_s)$  определяется по равенству (4), где нижняя грань распространяется на все возможные  $Q_{N_1, \dots, N_s}$ , являющиеся многочленами степени  $\leq N_j$  по каждой совокупности переменных  $x_{\nu(j)+1} \dots x_{\nu(j+1)} (j = 1, \dots, s)$ .

**Теорема.** Пусть для произвольного направления  $l_j$ ,  $f$  и  $\frac{\partial^r f}{\partial l_j^r} (r_j > 0, j = 1, \dots, s)$  принадлежат к  $C_\varphi^{(n)}$  и  $\omega_\varphi^{(k)}(\delta_\varphi)$  определяется равенством (5).

Тогда для  $N_1, \dots, N_s \geq 1$  выполняется неравенство (6) где  $\Omega$  зависит от  $r_1, \dots, r_s$ .

В частности, если  $k_j = 1$ ,  $\varphi_j(x) \equiv 1$ ,  $\omega_j(j) = j - 1$  ( $j = 1, \dots, n$ ) получается теорема 4 работы [3].

Аналогичные обобщения можно дать и для теорем 6 и 7 работы [3].

А. Г. АБАСЗАДӘ, С. К. АХУНДОВ

### АЗЭРБАЙЧАНЫН БӘ'ЗИ ТИКИНТИ МАТЕРИАЛЛАРЫНЫН ИСТИЛИК ПАРАМЕТРЛӘРИНИН ТӘ'ЖИНИ

1. Сов. ИКП-нин XX гурултаудын гәрарларындан сонра иттифаг мигъясында олдуғу кими республикамызда да тикинти ишләринә бөյүк фикир берилир.

Бу гәрарын һәјата қечирилмәси нәтичесинде республикамызда 1958-чи илдә 497 мин квадратметр жени бина тикилишинин һәјата қечирилмәсін гејд етмәк кифајеттір. Тикинти ишләринде қејфијеттін артырылмасы илә бәрабәр ежни заманда маја дәјәринин ашағы салынмасы әсас мәсәләләрдән биридир. Бунун үчүн тикинтидә истифадә олунан мұхтәлиф дашларын вә еләчә дә диварларын галынышты азартмаг мәгсәдәујундур. Лакин тикинтинин қејфијеттін ашағы салмамаг үчүн материалларын механики мөһкәмлиji, давамлылығы вә истилик параметрләринин тәләб олунан шәртләри өдәмәси лазымдыр. Азәрбајчанда тикинти ишләриңдә эн чох тәтбиғ олунан јерли дашларын истилик параметрләри, о чүмләдән температур көчирмә әмсалы, истилик кечирмә әмсалы вә хүсуси истилик тутуму демәк олар ки, өјрәнилмәмишdir. М. Э. Әфәндийин [1], С. Г. Даидбәјов, М. Ж. Лиғшинтес вә А. В. Игнатјевин ишләри мүстәсна олмагла бу саһедә башга тәдгигат мә'лум дејилдир. Бу нәгтеји-нәзәрдән өјрәндіјимиз јерли тикинти материалларынын бөйүк техники әһәмиятті вардыр.

2. Отаг шәрәнтиндә тикинти материалларынын истиликкечирмә әмсалыны өлчүмәк үчүн бир сыра һалларда жасты үсульдан [2] истифадә олунур. Һалбуки бу үсулюн бир сыра чатышмајан чәһәтләри, о чүмләдән жан иткинин баш вермәси, жасты сәтті боюнча температурун бәрабәр пајланмамасы алынан нәтичәнин дәғиг олмамасына шәрән жадыр. Бундан башга, жасты үсуулла тикинти материалларынын истиликкечирмә әмсалыны нәммилүкдән асылы олараг өјрәмәк мүмкүн дејилдир. Бу мұлаһизәләрә әсасән биз өз тәдгигатымызы проф. Г. М. Кондратјевин тәклиф етди, мүнтәзәм истилик режими үсулу илә апармышығ [3]. Ахырынчы үсуулун әсас мәниjjәти ашағыдақындан ибараттадыр. Тикинтидә тәтбиғ олунан даш дүзкүн паралелопипед шәклиндә истилик мұбадиләсі әмсалы  $a = \infty$  шәрти дахилиндә температуру сабит олан термостатда сојудулур. Бу сојумада мүәjjән замандан сонра температур фәргинин натурал логарифмасы илә заман арасында асылылығ хәтти олур. Жәни

$$\ln t = -mt + A \quad (1)$$

Бурада  $t = t_1 - t_0$  – чисмин һәр һансы нөгтәсинин температуру илә термостатын температур фәргидир.

$m$  – сојума темпи;

$\tau$  – сојумаја сәрф олунаң заман;

$A$  – сабитдир.

(1) ифадәсини икى  $t_1$  вә  $t_2$  заманлары үчүн յазыб тәрәф-тәрәфэ чыхсаг аларыг:

$$m = \frac{\ln t_1 - \ln t_2}{\tau_2 - \tau_1} \quad (2)$$

Сојума темпи ( $m$ ) илә температур кечирмә әмсалы ( $a$ ) арасындакы

$$a = K \cdot m \quad (3)$$

ифадәсиндән истифадә едәрәк  $m$ -и тәрүбәдән вә форма әмсалы  $K$ -ны

$$K = \frac{1}{\left(\frac{\pi}{l_1}\right)^2 + \left(\frac{\pi}{l_2}\right)^2 + \left(\frac{\pi}{l_3}\right)^2} \quad (4)$$

нәзәри дүстурла һесаблајараг  $a$ -ны тә'јин етмәк олар.  $l_1, l_2, l_3$  уйғун оларыг паралелопипедин тилләрини көстәрир. Дикәр тәрәфдән

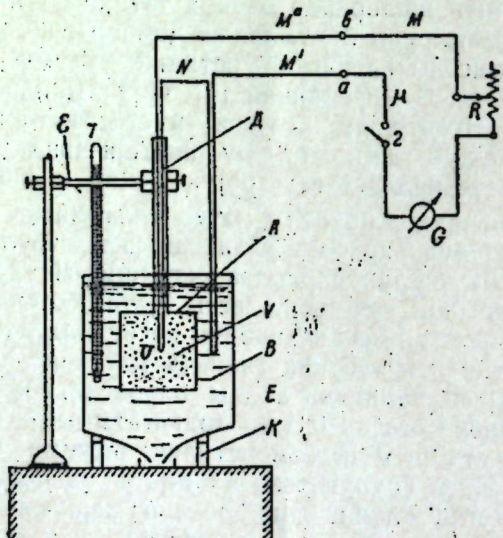
$$a = \frac{\lambda}{C} \quad (5)$$

Бурада  $\lambda$ ,  $C$  уйғун оларыг истиликечирмә әмсалыны, сыйхылыгы вә хүсуси истиликтутумуну көстәрир. (3) вә (5) ифадәләриндән аларыг:

$$\lambda = K \cdot m \cdot C \cdot \rho \quad (6)$$

$m, C$  вә  $\rho$ -ну билаваситә тәрүбәдән тә'јин етмәклә  $a$ -ны (5) дүстуре илә һесабламаг олар.

3. Биз өз тәдгигатымызда тикинти материалларыны өлчүсү  $l_1 \cdot l_2 \cdot l_3$  олар хүсуси машинада кәсәрәк дүзүн паралелопипед шәклиндә көтүрүшүк. Нұмуна чисмин ичәрисине су кирмәмек үчүн онун үзә-



рини назик тәбәгәли БФ-2 маркалы յапышганла өртмүшүк. Температуру өлчүмек үчүн диаметри 0,5 мм олан мис-константандан назырланмыш термоелемент икиканаллы фарфор бору васитәсилә өлчүлән нұмуначин ичәрисине салынараг бәркәдилүр. Термоелементлә өлчүлән нұмуна арасындакы элагәни мәнкәмләндирмәк үчүн лейнимин даشا-

керүшдују јерә һәмиң дашины гуму тәкүлүр. Нұмуна әввәл һава термостатында гыздырылдыдан соңра мүәжжән температурдақы су термостатында сојудулур. Тәрүбәдә  $\alpha = \infty$  шәрти өдәнилдиңдән, нұмуначин үзәрийдәкі назик յапышган гатынын сојума просесинин кедишінә тә'сири олмур. յапышганды су бурахмамасы хүсуси тәрүбәдә габагчадан жохланылыр. Сојумада температур фәрги күзкүлү гальванометрлә өлчүлүр (шәкил).

Өлчүлән бүтүн нұмуналәрин хүсуси истиликтутумлары гарыштырма тәтбиғ олунаң калориметр үсулу илә тә'јин едилмишdir [4].

Бүтүн нұмуналәр үчүн сојума темпи вә хүсуси истиликтутуму тә'јин едилмәздән әввәл онларын сыйхылыгы чәки вә өлчү илә һесабланышдыр.

Бизим тәдгигатымызда  $m$ -ин тә'јининдә 0,5% хәта,  $K$ -нын тә'јининдә 0,13% хәта,  $\rho$ -ун тә'јининдә 0,15% хәта вә  $C$ -ниң тә'јининдә исә 2% хәта олдуғундан  $\lambda$ -нын тә'јининдә 2,78% хәта бурахылыштыр ки, бу да мәсәдәүігүндүр.

4. Тикинти ишләрнән ән чох ишләнән вә индијә кими истиликтар параметрләри тәдгиг олунамаш Алатау, Шахинбах, Күздәк, Гара-дағ, Дуванны, Гызылгаја, Ағдам, Зәјәм вә Нахчыван даш карханаларындан көтүрүлмүш дашлары Бакы вә онун раionларында тикинтидә ишләтмәк үчүн кәрпич верән Зығ кәрпич заводундан алымыш жаңма температурлары 850°C вә 900°C олан кәрпич, тикинтидә тәтбиғ олунаң кипс, мүәжжән тәркибли икى нөв бетон, палыд вә күкнәр ағачларынын истиликтар параметрләри өлчүлүштүр. Бүтүн бу материаллар С. А. Дадашов адына Азәрбајҹан Елми-тәдгигат Тикинти Материаллары вә Гургулары Институтунун арзусуна мұвағиғ оларыг сечилимишди. Тәчүрүбәләр 20°C температурда апарылыштыр. Алынан нәтиҗәләр чәдвәлдә верилир. Элдә едилән нәтиҗәләр истифадә үчүн Азәрбајҹан Елмләр Академијасынын Ме'марлыг вә Инчәсәнэт Институтуна верилмишdir.

Сыра №-чи	Нұмуна чисимләрин алындығы објектләр	Фордама әмсалы $m \cdot 10^4$ (кг/м³)	Союза темпи $m$ (саат $^{-1}$ ) $a \cdot 10^4 \left( \frac{1}{\text{саат}} \right)$	Температур көчирмә әмсалы $a \cdot 10^4 \left( \frac{1}{\text{м}^2 \cdot \text{дән}} \right)$	Хүсуси истиликтүтүү $c \left( \frac{\text{ккал}}{\text{м}^2 \cdot \text{дән}} \right)$	Сыйхыл $\rho$ $\left( \frac{\text{кг}}{\text{м}^3} \right)$	Истиликтүмешкүн $\left( \frac{\text{м}^2 \cdot \text{дән}}{\text{м}^3} \right)$
1	Алатау даши	1,1053	14,0652	15,54	0,2209	1700	0,5835
2	Шахинбах даши	1,078	12,0836	12,89	0,2185	1760	0,4960
3	Күздәк даши	1,2014	14,4648	17,37	0,2017	1920	0,6728
4	Гара-дағ даши	0,99217	14,6124	14,50	0,2173	1840	0,3998
5	Дуванны даши	1,1004	13,8628	14,15	0,2056	1870	0,5440
6	Гызылгаја даши	0,99127	15,5772	15,44	0,2218	1830	0,6267
7	Ағдам даши	1,1672	15,6008	18,20	0,2177	1860	0,7369
8	Зәјәм даши	0,8213	13,8276	11,35	0,2113	1940	0,4653
9	Кибс	1,1983	14,4576	17,32	0,225	1418,8	0,5529
10	Нахчыван даши	1,1983	16,9192	19,06	0,1543	2170	0,6639
11	Күкнәр ағачы	0,98328	9,09	8,936	0,201	4376	0,0782
12	Палыд ағачы	0,9549	9,0324	8,225	0,224	495	0,0518
13	Кәрпич $t_{ja}=850^\circ\text{C}$	1,1457	15,0228	17,2116	0,3306	1879,3	1,0693
14	Кәрпич $t_{ja}=900^\circ\text{C}$	0,93202	15,1092	14,0820	0,3201	1802,3	0,8471
15	Бетон I нөв	0,7861	15,0228	11,81	0,1961	1735,3	0,3609
16	Бетон II нөв	0,59538	14,6736	8,276	0,1873	1792,9	0,2779

Республикаада тикнити ишлэрийндээ истифадэ олунан сэkkиз нөв дай, ики нөв бетон, ики нөв кэрпич, ики нөв тахта вэ кипсийн истилик параметрлэри отаг температурунда тэ'жин олунушдур.

## ЭДЭБИЙЛЯТ

1. Эфенди М. Э. Справочник по природным строительным материалам Азнефтеиздат, Баку, 1954.
2. Кауфман Б. Н. Теплопроводность строительных материалов. Государственное издательство литературы по строительству и архитектуре.
3. Кондратьев Г. М. Регулярный тепловой режим. Гостехиздат, 1954.
4. Попов М. М. Калориметрия и термометрия. ОНТИ, 1954.

И. Ленин адына Азэрбајҹан  
Дөвләт Педагожи Институту

Алымышдыр 5. XII 1958.

А. К. Абас-заде, С. К. Ахундов

### Определение тепловых параметров некоторых строительных материалов Азербайджана

## РЕЗЮМЕ

В работе приводятся результаты измерения коэффициента теплопроводности, коэффициента температуропроводности и теплоемкость 16 сортов стройматериалов Азербайджана при комнатной температуре.

Коэффициент температуропроводности измерен методом регулярного теплового режима, а удельная теплоемкость—калориметрическим методом смещения. Теплопроводность вычислялась по формуле:

$\lambda = acp$ .

Полученные экспериментальные результаты представлены для использования в Институт архитектуры и искусства Академии наук Азербайджанской ССР.

З. А. АЛИЯРОВА, П. Л. ГРУЗИН, С. В. ЗЕМСКИЙ

### ИЗУЧЕНИЕ РАСПРЕДЕЛЕНИЯ ПРИМЕСЕЙ СЕРЫ В СЕЛЕНЕ С ПОМОЩЬЮ АВТОРАДИОГРАФИИ

(Представлено академиком АН Азербайджанской ССР З. И. Халиловым)

Изучение распределения серы в селене имеет как практическое, так и научное значение. Научное значение заключается в том, что это дает возможность выявить механизм передвижения атомов серы в селене. Практическая ценность этого исследования основана на том, что в селеновых выпрямителях с целью облегчения электроформовки на поверхность кристаллического селена наносится тонкий слой серы. В результате нагревания выпрямителя от прохождения формирующего тока создаются благоприятные условия для диффузии серы в селене. Атомы серы, проникая в область запирающего слоя селена, изменяют его сопротивление. Поэтому изучение распределения серы в селене очень важно для улучшения характеристики выпрямителей.

Непосредственное исследование распределения как серы, так и других примесей в полупроводнике может быть осуществлено при помощи метода меченых атомов с применением авторадиографии. Этот метод позволяет установить изменение концентрации примесей в малых объемах, даже в тех случаях, когда изменение не сопровождается появлением новых фаз [3, 4].

Для исследования был взят селен с содержанием основного продукта 99,994%. Селен такой чистоты дробился в стальной ступке в порошок. К нему добавлялся радиоактивный изотоп серы  $S^{35}$ , испускающий  $\beta$ -излучение с энергией 0,169 Мэв и с периодом полураспада  $t_{1/2} = 87$  дней. На 40–50 г селена добавлялся 1 мг серы. Смесь помещалась в стеклянную кварцевую ампулу диаметром 20 мм, откаченную до вакуума  $10^{-3}$  мм рт. ст., и запаивалась. В таких ампулах селен плавился при температуре 300° С. Селен, охлажденный после плавки, находился в аморфном виде.

Поскольку радиоактивное излучение идет не только с поверхностных слоев, но и со всего объема образца, то при исследовании  $\gamma$ -излучения, имеющего большую глубину проникновения, для уменьшения размытости авторадиограммы нужно применять образцы толщиной 20–50  $\mu$ .

Так как сера испускает  $\beta$ -частицы, поглощающиеся в самом образце, то в окружающее пространство проникает лишь излучение поверхностного слоя. В таком случае нет смысла изготавливать тонкие

образцы. Поэтому, из полученных слитков аморфного селена были изготовлены образцы толщиной 1—2 см, разрезанные по плоскости, перпендикулярной оси слитка.

Для получения кристаллической структуры образцы другой плавки после охлаждения вновь нагревались при 210°C и выдерживались в печи в течение нескольких часов.

Образцы из аморфного и кристаллического селена с обеих стороншлифовались, полировались и авторадиографировались.

Для авторадиографии применялась фотопленка НИКФИ типа МР, предназначенная для радиографирования  $\beta$ - и  $\gamma$ -излучающих образцов и имеющая повышенное содержание галлоидного серебра в эмульсии, достигающее 85—86%. Толщина эмульсионного слоя достигала 15  $\mu$ , величина проявленного зерна—0,75  $\mu$ . Авторадиограммы были получены контактным методом. Для обеспечения плотного и равномерного контакта между образцом и фотоэмulsionью была использована кассета с зажимным устройством и резиновыми прокладками между образцом и кассетой.

Активность поверхности образцов составляла от 2000 до 4300 имп/мин. Продолжительность экспозиции каждого образца на одной пластинке составляла от 2 до 6 суток.

Фотохимическая обработка пленки производилась по следующему режиму, который состоит из 8 стадий.

1. Пропитка в дистиллированной воде при температуре 18—20°C в течение 3 мин.

2. Проявление в проявителе следующего состава: метол 2 г, сульфит безводный 75 г, гидрохинон 8 г, сода безводная 40 г, бромистый калий 5 г, вода 1 л. Температура проявления 18—20°C; время 3 мин.

3. Ополаскивание в дистиллированной воде—30 сек.

4. Стоп-ванна—1% раствор уксусной кислоты при температуре 13—15°C в течение 3 мин.

5. Ополаскивание в дистиллированной воде—30 сек.

6. Фиксирование в 40% растворе гипосульфита при температуре 13—15°C, продолжительность стадии фиксирования определяется временем просветления (примерно 20—25 мин).

7. Промывка декантацией—сначала в хорошо фильтрованной воде, затем в дистиллированной воде.

8. Сушка на спокойном воздухе без пыли. Обработка пластинок при неактиничном желто-зеленом освещении со светофильтром № 117—118, при лампочке мощностью в 25 вт.

Проявление пленок производится вертикальным методом в специальных зажимах—в бачках. Полученные авторадиограммы исследовались на микроскопе типа МБИ-1, при увеличении 56, и фотографировали. Авторадиограммы показали, что в аморфном селене сера распределяется в пределах кристаллитов равномерно, и имеются только зональные неоднородности, связанные конвективными потоками в жидким селене (рис. 1).

В кристаллизованном селене имеются резко выраженные неоднородности микрораспределения серы (рис. 2). По границам отдельных кристаллитов имеются области со значительно большим содержанием серы.

Изучение диффузии серы в селене показало, что по сравнению с другими диффундирующими элементами (железо, теллур, сурьма и др.) скорость диффузии серы (порядок  $10^{-9}$ ) в сто раз превышает скорость диффузии отмеченных элементов [2].

Это явление объясняется тем, что, вероятно, сера диффундируется по границам зерен, которым не требуется большая энергия для

переотделения потенциального барьера. Результат авторадиограммы показывает, что действительно атомы серы главным образом диффундируют по границам зерен селена.

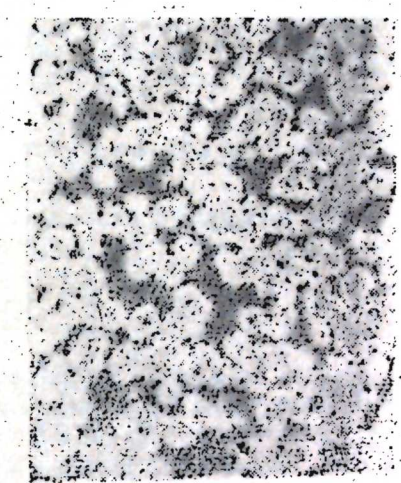


Рис. 1  
Авторадиограмма распределения серы в аморфном селене

Рис. 2  
Авторадиограмма распределения серы в кристаллическом селене

Для количественной оценки химической неоднородности смеси был использован метод контрастной радиограммы. Этим методом содержание элемента оценивается по плотности почернения пленки. Результаты фотометрирования авторадиограммы на регистрирующем микрофотометре типа МФ-4 со щелью размером  $0,5 \times 1$  мм с увеличением 21 показаны на рис. 3.

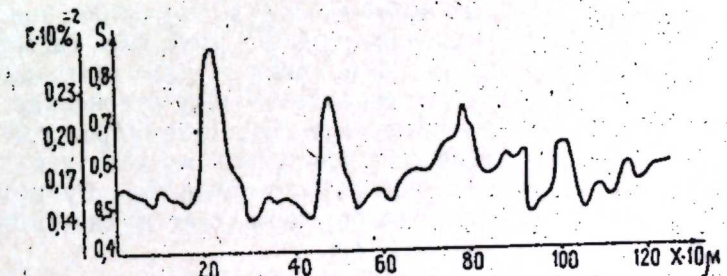


Рис. 3

Из рис. 3 видно, что содержание серы в межкристалльных областях приблизительно в 2 раза больше, чем в кристаллитах селена.

Исследование показывает, что между почернением и временем экспозиции существует прямая зависимость в пределах погрешности измерения. По этой зависимости был приведен расчет концентрации с учетом закона взаимозаместимости (интенсивности и времени экспозиции). Были рассчитаны концентрации серы в темных и светлых участках авторадиограммы.

В дальнейшем нами будет изучено распределение серы в селене при различной термообработке и при нанесении ее на поверхность селеновых образцов при различных диффузионных отжигах.

## ЛИТЕРАТУРА

1. Алиярова З. А., Абдуллаев Г. Б. Изв. АН Азерб. ССР", 1958, № 2.
2. Алиярова З. А., Абдуллаев Г. Б. Изв. АН Азерб. ССР", № 5, 1958.
3. Бокштейн С. З., Гудкова Г. И., Кишкин С. Г. и Мороз Л. М. "Заводская лаборатория", 1955 № 4, 4. Грузин П. Л., Бабикова Ю. Ф., Борисов Е. В. Земский С. В. и др. Проблема металловедения и физики металлов. Сб. 5, 1958.

З. А. Элиярова, П. Л. Грузин, С. В. Земски

## Күкүрдүн селендә пајланмасының авторадиограм үсулу илә тәдгиги

### ХУЛАСЭ

Күкүрдүн селендә пајланмасының өјренилмәси бөյүк елми вә тәчрүби әһәмијәтә маликдир. Елми әһәмијәти ондан ибарәтдир ки, бу үсулла күкүрдүн селендә һәрәкәт механизмини вә јени фаза әмәлә кәлмәсими мејдана чыхармаг олар.

Тәчрүби әһәмијәти ондан ибарәтдир ки, селен дүзләндиричиләриндә электрик формовкасыны асанлашдырмаг мәгсәдилә кристал селен тәбәгәси үзәрииә назик күкүрд гаты чәкилир. Дүзләндиричидән чәрәјән кечәркән ону гыздырып вә күкүрд атомларының селенә диффузијасы учун әлвериши шәраит жарадыр. Күкүрд атомлары дүзләндиричинин тәбәгесинә дахил оларға онун мұғавиметини дәјиширир. Бу налда селен дүзләндиричиләринин характеристикасыны жаҳышлашдырмаг үчүн күкүрдүн селендә пајланмасының өјренилмәси ән баш-лыча мәсәләләрдән бири олур.

Күкүрдүн вә башга ашгарларын селендә пајланмасыны билаваситә үзэ чыхармаг нишанланмыш атсмаларын көмәјилә авторадиограм үсулу илә мүмкүн ола биләр.

Тәмизлиji 99,994% олан 40—50 г селен дөјүләрек тоз налына салыныш вә 1 мг радиоактив күкүрд  $S^{35}$  тозу илә гарыштырылышдыры. Гарышыг һавасы  $10^{-3}$  мм чивә сутуну тәртибинә گәдәр чәкилмиш диаметри 20 мм олан кварс шүшә бору ичәрисинде јерләширилмишdir. Бағыл ампулда олан селен  $300^{\circ}\text{C}$  температурда әридилдикдән соңра әринтиини охуна перпендикулар мүстәви үзрә 1—2 см галынышында нүмүнәләр кәсисиб һазырланышдыры. Бу нүмүнәләрдән бә'зиләри  $210^{\circ}\text{C}$  температурда бир нечә saat мүддәтинде гыздырылараг кристаллашдырылышдыры.

Истәр аморф селендән, истәрсә дә кристаллик селендән һазырланмыш нүмүнәләрин һәр ики тәрәфи һамарланмыш, чилаланмыш вә авторадиограмы алынышдыры.

Авторадиограмы алмаг үчүн ү вә  $\beta$ -шуаларына һәссас олан МР типли НИКФИ плёнкалардан истифадә едилмишdir.

Плёнкаларын ашкарлама вә бәркидилмәси НИКФИ, МР нөвә мәхсус олан хүсуси режимлә апарылышдыры.

Алыныш радиограмлар МБИ-1 типли микроскопда  $56\times$  бөјумәдә тәдгиг едилмишdir.

Тәдгигат көстәрир ки, әrimә заманы күкүрдүн жаҳшы гарышмамасы нәтичесинде мејдана чыхан гејри-бирчинслик нәзәре алынмаса күкүрд аморф селендә бәрабәр пајланылыш.

Кристал селендә исә көзә чарпан гејри-бирчинслик алыныр. Күкүрд әсас е'тибарилә кристалларын сәрһәдләрине топланып.

Авторадиограм МФ-4 типли микрофотометрдә фотометрләнишdir.

Селен кристаллары арасында күкүрдүн мигдары гәфәсин дахилинә нисбәтән тәхминән 2 дәфә چохдур.

Тәдгигат көстәрир ки, плёнканы гаралмасы илә экспозисија өахты арасында тәчрүбә ҳәтасы дахилиндә дүзхәтили асылылыг алыныр.

Авторадиограмын гаранлыг вә ишыг јерләриндә күкүрдүн ко-н сентрасијасы бу асылылыға әсасән несабланишдыры.

А. М. ПИРВЕРДЯН, Н. А. ГУКАСОВ

ТУРБУЛЕНТНОЕ ТЕЧЕНИЕ ЖИДКОСТИ В ТРУБЕ  
КОЛЬЦЕВОГО СЕЧЕНИЯ

(Представлено академиком АН Азербайджанской ССР З. И. Халиловым)

При решении ряда задач техники нефтедобычи возникает необходимость рассмотрения турбулентного течения жидкости в узкой эксцентричной кольцевой щели, образованной двумя трубами, из которых одна (внутренняя) движется с некоторой скоростью против основного течения.

А. М. Пирвердяном дается решение двух случаев турбулентного течения<sup>1</sup>, являющихся частными случаями указанной выше задачи: 1) оси обеих неподвижных труб не совпадают (эксцентрическое расположение); 2) оси обеих труб совпадают (концентрическое расположение), причем, внутренняя труба движется со скоростью  $u_0$ .

В настоящей статье дается обобщение этих двух задач—рассматривается эксцентричная щель при подвижной внутренней трубе.

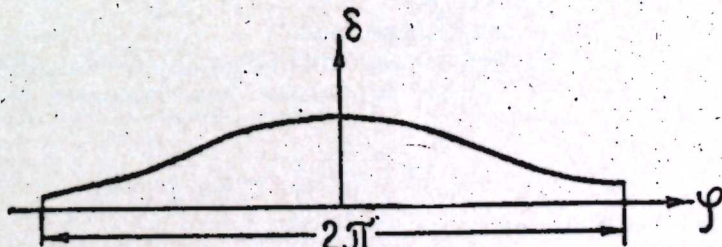


Рис. 1.

Так как щель узка, то возможно развернуть ее в прямую (указанная развертка показана на рис. 1). При этом уравнение щели имеет следующий вид:

$$\delta = \delta_0(1 + C \cos \varphi), \quad (1)$$

где  $\delta_0$  — разность между радиусами;

$C$  — относительный эксцентриситет, представляющий собой отношение абсолютного эксцентриситета к величине  $\delta_0$ ;

$\varphi$  — центральный угол, отсчитываемый от радиуса, отвечающего наибольшему расстоянию поверхности внутренней трубы от наружной.

<sup>1</sup> А. М. Пирвердян. О двух случаях турбулентного течения в трубе кольцевого сечения. «ДАН Азерб. ССР», 1949, т. V, №12.

Возможны два вида распределения скоростей в зазоре; первый вид показан на рис. 2, второй — на рис. 3.

Условия существования каждого из профилей будут приведены ниже.

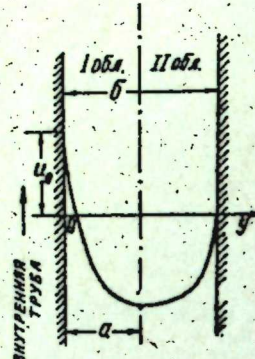


Рис. 2.

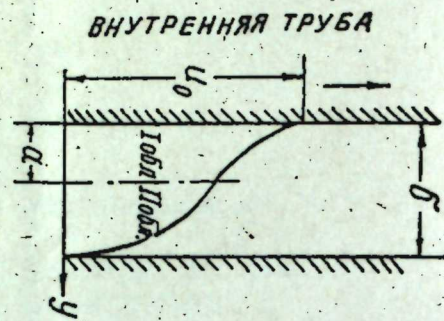


Рис. 3.

Напишем уравнение равновесия элемента жидкости высотой  $dx$ , шириной  $\delta$  и единичной длины в направлении периметра щели, причем, пренебрежем напряжением сдвига на площадках, перпендикулярных к развертке:

$$\tau_1 + \tau_2 = \gamma \delta i \quad (2)$$

где

$$i = 1 - \frac{1}{\gamma} \cdot \frac{dp}{dx};$$

$\tau_1$  и  $\tau_2$  — соответственно, напряжение сдвига на внутренней и наружной поверхностях трубы;

$\gamma$  — удельный вес жидкости;

$p$  — давление; ось  $x$  направлена вниз.

Примем, что распределение скоростей по зазору подчиняется закону корня седьмой степени. Тогда выражение для скоростей в области I ( $a > y > 0$ ) будет:

$$u_1 = k \left( \frac{\tau_1 g}{\gamma} \right)^{1/7} \left( \frac{y}{v} \right)^{1/7} - u_0, \quad (3)$$

а в области II ( $\delta > y > a$ )

$$u_2 = k \left( \frac{\tau_2 g}{\gamma} \right)^{1/7} \left( \frac{\delta - y}{v} \right)^{1/7}, \quad (4)$$

где  $v$  — кинематическая вязкость жидкости;

$k$  — постоянный коэффициент равный  $\approx 8,8$ ;

$a$  — расстояние от поверхности подвижной трубы до сечения с  $y=0$ ;  $a = \frac{\tau_1}{\gamma}$ .

Используя (2) и (3), получим:

$$A = \bar{a}^{5/7} - (\delta - \bar{a})^{5/7} \quad (5)$$

где

$$\bar{a} = \frac{a}{\delta_0}; \quad \bar{\delta} = \frac{\delta}{\delta_0}; \quad A = \frac{1}{8,8 R e^{1/7}} \left( \frac{u_0^2}{\gamma g \delta_0} \right); \quad \left( R e = \frac{u_0 \delta_0}{v} \right).$$

Из приведенных выше формул определим расход жидкости через щель:

$$q = \frac{7}{8} k (g \delta_0^3)^{1/7} \frac{R}{v^{1/7}} \int_0^{2\pi} \bar{a}^{5/7} \bar{\delta} d\varphi - \frac{1}{8} u_0 R \delta_0 \int_0^{2\pi} \bar{a} d\varphi - \frac{7}{8} 2\pi u_0 R \delta_0 \quad (6)$$

Для определения расхода жидкости по формуле (6) необходимо вычислить два интеграла:

$$I_1 = \int_0^{2\pi} \bar{a}^{5/7} \bar{\delta} d\varphi; \quad I_2 = \int_0^{2\pi} \bar{a} d\varphi. \quad (7)$$

Эти интегралы вычисляются следующим образом.

Приведенные на рис. 4 зависимости построены по формуле (5). В результате обработки методом наименьших квадратов получим:

$$\bar{a}^{5/7} \approx A(0,39 - 0,02A - 0,0808A^2) + (0,61 + 0,02A + 0,0808A^2) \bar{\delta}^{5/7} \quad (8)$$

$$\bar{a} \approx 0,1407A + 0,4496A^2 - 0,2567A^3 + (0,5000 + 0,1788A + 0,0100A^2) \bar{\delta} \quad (9)$$

Приближенное выражение (8) используется при вычислении интеграла  $I_1$ , а (9) — для вычисления  $I_2$ .

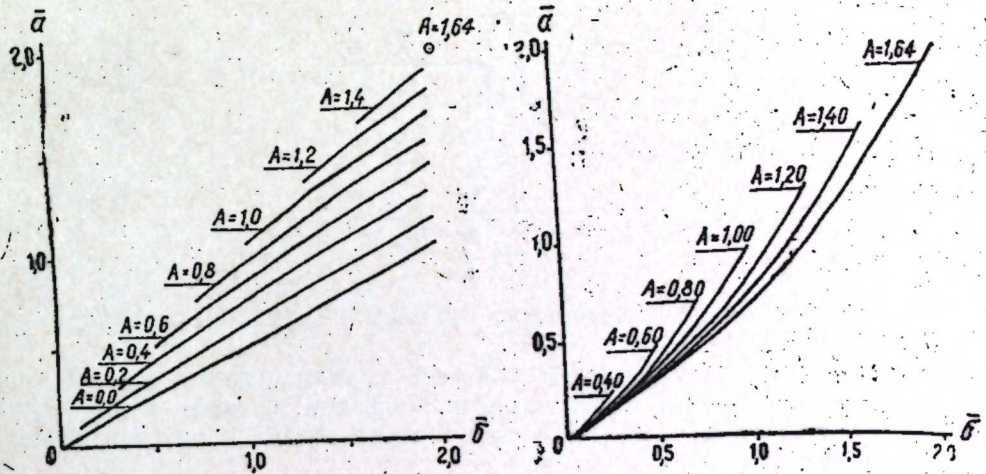


Рис.

Учитывая (1), найдем:

$$I_1 = 2\pi A (0,39 - 0,02A - 0,0808A^2) + (0,61 + 0,02A + 0,0808A^2) \int_0^{2\pi} (1 + c \cos \varphi) d\varphi$$

Разлагая подинтегральное выражение в ряд, найдем  $I_1$ .  $I_2$  определим по формуле (7), использовав при этом (9). Тогда расход  $q$  будет:

$$q = \frac{7}{4} k \pi R \frac{(\delta_0^3 g t)^{1/7}}{v^{1/7}} \left[ A(0,39 - 0,02A - 0,0808A^2) + (0,61 + 0,02A + 0,0808A^2)(1 + 0,3c^2) \right] - \frac{1}{4} U_0 \pi R \delta_0 \left[ A(0,3195 + 0,4596A - 0,2567A^2) + 7,5 \right] \quad (10)$$

Рассмотрим эту задачу для распределения скоростей в зазоре согласно второму виду (см. рис. 3).

Уравнение равновесия будет таким же, как и в I случае (см. (2)). Распределение скоростей в соответствующих зонах будет:

$$u_1 = u_0 - k \left( \frac{\tau_1 g}{\gamma} \right)^{1/7} \left( \frac{y}{v} \right)^{1/7} \quad (11)$$

$$u_2 = k \left( \frac{\tau_2 g}{\gamma} \right)^{1/7} \left( \frac{\delta - y}{v} \right)^{1/7} \quad (12)$$

Полагая в месте стыка профилей ( $y = a$ )  $u_1 = u_2$ ,  $\frac{du_1}{dy} = \frac{du_2}{dy}$ , найдем аналогичным способом  $\tau_1$  и  $\tau_2$ .

Зная значения  $\tau_1$  и  $\tau_2$ , определим скорости  $u_1$  и  $u_2$  по (11) и (12), а затем выведем формулу для общего расхода  $q$  по методике, изложенной при составлении первого профиля скоростей.

При этом

$$q = \frac{7}{4} u_0 \pi R \delta_0 + \frac{1}{8} u_0 R \delta_0 \int_0^{2\pi} \bar{a} d\varphi + \\ + \frac{7}{8} k(gi\delta_0)^{1/7} \frac{R}{v^{1/7}} \int_0^{2\pi} \frac{\bar{\delta}^{1/7} \bar{a}^{1/7}}{\left[ 1 - \left( \frac{\bar{\delta} - \bar{a}}{\bar{a}} \right)^{2/7} \right]^{1/7}} d\varphi \quad (13)$$

Из (2), (11) и (12) получим:

$$A = \frac{\bar{\delta}^{1/7}}{\bar{a}^{1/7} \left[ 1 - \left( \frac{\bar{\delta} - \bar{a}}{\bar{a}} \right)^{2/7} \right]^{1/7}} \quad (14)$$

На рис. 5 приведено семейство кривых  $\bar{a} = f(\bar{\delta}, A)$ , построенных по формуле (14).

При выводе предыдущих выражений предполагалось, что во всей области течения имеет место один из профилей. Однако, в ряде случаев возможно существование в одной части зазора первого профиля, а в другой—второго (смешанное течение).

Установим область существования смешанного течения, устанавливающее условие перехода одного профиля в другой:

$$A^{7/5} = \bar{a}^* = \bar{\delta}^*, \quad (15)$$

где  $\bar{\delta}^*$ —предельно минимальное значение зазора, для которого справедлив первый профиль.

Из (1) имеем

$$\bar{\delta} = 1 + \cos \varphi \quad (16)$$

Приравнивая (15) и (16), найдем угол  $\varphi^*$ , разграничивающий области течения с профилем 1 от области течения с профилем 2:

$$\psi^* = \arccos \frac{A^{7/5} - 1}{c} \quad (17)$$

Используя выведенные соотношения, разбиваем поток на две части  $(2\pi - 2\varphi^*)$  и  $2\varphi^*$  и для каждой части по аналогичной методике определяются расходы.

АэНИИ ДН

## Һәлгәви фәзада мајенин турболент ахымы

### ХУЛАСӘ

Мәгаләдә дахили борунун һәрәкәти әсас маје ахымын истигамәттин әксинә олуб вә ахымы нисбәтән мүәjjән сүр'әтлә һәрәкәт етмәси шәрти дахилиндә өзлү мајеләрин һәлгәви фәзада турбулент ахымы мәсәләсинә баһылыр.

Мәсәләнин һәлләндә боруларын вәзијәттин екссентрик олмасы вә һәлгәви фәзада сүр'әтин пајланмасы 2 вә 3-чү шәкилләрдә хөстәрилди кими нәзәрәт тутулмушдур.

Мәсәләни һәлл етдикдә, боруларын вәзијәттиндән, јердәнишмә сүр'әттиндән вә мајенин физики һалындан асылы олараг һәлгәви фәзада сәрфи тә'жин етмәк учун дустур алышыр.

Ю. Г. МАМЕДАЛИЕВ, Д. Е. МИШИЕВ

СИНТЕЗ АЛКИЛ-, АЛКОКСИЗАМЕЩЕННЫХ БЕНЗОЛА  
В ПРИСУТСТВИИ ТВЕРДЫХ КАТАЛИЗАТОРОВ

Алкилированию ароматических углеводородов и их некоторых производных олефинами в присутствии твердых катализаторов посвящен ряд исследований. Реакция же гетерогенного алкилирования анизола и фенетола олефинами почти не изучена.

В настоящем сообщении приводятся некоторые данные по алкилированию анизола и фенетола пропиленом в присутствии алюмосиликатного и фосфорнокислотного катализаторов.

В качестве исходного материала были применены анизол и фенетол со следующими физическими константами: для анизола  $d_4^{20} = 0,9942$ ,  $n_D^{20} = 1,5170$ ; для фенетола  $d_4^{20} = 0,9690$ ,  $n_D^{20} = 1,5080$ .

Алкилирующим агентом служила пропан-пропиленовая фракция, содержащая в своем составе 70% пропилена.

Алкилирование проводилось на установке высокого давления пропарочной системы. До начала опыта емкость для сырья заполнялась смесью анизола или фенетола с пропан-пропиленовой фракцией, в требуемом соотношении. Катализатор загружался в реактор и после присоединения соответствующих деталей аппаратуре включался нагрев. По достижении нужной температуры производилась подача смеси в реактор с требуемой скоростью.

Алкилат из реактора через змеевиковый холодильник поступал в бюретку, где контролировалась скорость его получения и через определенные промежутки времени переводился в приемник. Газы, образовавшиеся при опытах, собирались в газометр для анализа. Для определения общего количества выделившегося газа пользовались газовыми часами, соединенными с установкой.

Результаты характерных опытов по алкилированию анизола и фенетола в присутствии алюмосиликатного катализатора помещены в табл. 1 и в присутствии фосфорнокислотного катализатора в табл. 2.

Как видно из данных табл. 1 и 2, при алкилировании анизола и фенетола пропиленом в присутствии синтетического алюмосиликата и фосфорной кислоты образуется до 80% жидкого катализата.

Полученные катализаты сульфируются на 100% и содержат в своем составе около 2% воды по Дину-Старку.

Обращает внимание повышенное значение привеса катализатора, особенно при опытах, проведенных при температуре 250° С, что объясняется высокой температурой кипения продуктов реакции и возможностью их конденсации на поверхности катализатора.

Таблица 1

№ опыта	Анизол		Фенетол		
	71	74	75	76	80
<b>Характеристика опыта</b>					
Условия опыта					
Давление, атм	20	20	20	20	20
Соотношение компонентов	1:1	1:1	1:1	1:1	1:1
Скорость проп. об./об. кат.	0,5	0,5	0,5	0,5	0,5
Температура, °С	300	250	300	300	250
Продолж. опыта, мин.	90	75	90	60	45
Катализатор	Алюминий				
Выход алкилата, г	359	298	416,2	437,4	122
Выход газа, л	33,0	27,2	42,1	85,96	24,9
<b>Материальный баланс, вес. %</b>					
Алкилата	71,8	65,5	77,0	68,3	46,9
Привес катализатора	10,4	18,0	8,2	12,1	34,8
Газа+потери	17,8	16,5	14,8	19,6	18,3
<b>Анализ алкилата</b>					
$d_4^{20}$	0,9797	0,9635	0,9758	0,9882	0,9488
$n_D^{20}$	1,5220	1,5100	1,5222	1,5245	1,5090
Сульфируемость	100	100	100	100	100
Процент воды по Дина-Старку	2,2	2,1	2,1	2,0	—

Таблица 2

№ опыта	Анизол		Фенетол		
	72	73	77	78	79
<b>Характеристика опыта</b>					
Условия опыта					
Давление, атм	20	20	20	20	20
Соотношение компонентов	1:1	1:1	1:1	1:1	1:1
Скорость проп. об/об кат.	0,5	0,5	0,5	0,5	0,5
Температура, °С	250	300	300	250	250
Продолж. опыта, мин	75	75	75	45	75
Выход алкилата, г	380	348	365	314	356,5
Выход газа, л	42,2	20,4	41,6	37,3	35,6
Катализатор	Фосфорная кислота				
<b>Материальный баланс, вес. %</b>					
Алкилата	80,9	81,6	81,5	82,6	79,2
Привес катализатора	1,3	1,0	2,2	4,7	4,6
Газа+потери	17,8	17,4	16,3	12,7	16,2
<b>Анализ алкилата</b>					
$d_4^{20}$	0,9386	0,9625	0,9652	0,9411	0,9400
$n_D^{20}$	1,5102	1,5095	1,5085	1,5000	1,4990
Сульфируемость	100	100	100	100	109
Процент воды по Дина-Старку	2,3	2,1	2,0	2,1	2,0

Фракционированная разгонка продуктов, полученных при алкилировании анизола и фенетола в присутствии синтетического алюмосиликата, показана в табл. 3.

Таблица 3

Фракционный состав	Анизол		Фракционный состав	Фенетол		
	17	23		27	28	14
Начало кипения, °С	69	69	Начало кипения, °С	68	66	66
Фр. НК—150° С			Фр. НК—168° С			
Выход, %	6,1	0,7	Выход, %	6,0	7,3	3,25
$d_4^{20}$	0,9556	—	$d_4^{20}$	0,9571	0,8970	0,8427
$n_D^{20}$	1,5050	—	$n_D^{20}$	1,5060	1,5018	1,4628
Фр. 150—155° С			Фр. 168—172° С			
Выход, %	2,02	38,08	Выход, %	1,0	—	42,76
$d_4^{20}$	1,0030	0,9926	$d_4^{20}$	—	—	0,9668
$n_D^{20}$	1,5180	1,5155	$n_D^{20}$	—	—	1,5090
Фр. 155—181° С			Фр. 172—181° С			
Выход, %	10,1	5,48	Выход, %	—	1,9	1,65
$d_4^{20}$	1,0120	0,9945	$d_4^{20}$	—	—	—
$n_D^{20}$	1,5200	1,5180	$n_D^{20}$	1,5118	1,5112	
Фр. 181—185° С			Фр. 181—185° С			
Выход, %	3,24	2,48	Выход, %	2,6	6,0	1,65
$d_4^{20}$	1,0422	0,9979	$d_4^{20}$	1,0800	1,0368	—
$n_D^{20}$	1,5270	1,5170	$n_D^{20}$	1,5180	1,5220	1,5110
Фр. 185—192° С			Фр. 185—204° С			
Выход, %	2,82	3,37	Выход, %	6,2	9,2	4,46
$d_4^{20}$	1,0165	0,9946	$d_4^{20}$	1,0045	1,0375	0,9561
$n_D^{20}$	1,5270	1,5100	$n_D^{20}$	1,5280	1,5370	1,5080
Фр. 192—213° С			Фр. 204—213° С			
Выход, %	15,06	19,6	Выход, %	5,2	9,5	13,4
$d_4^{20}$	0,9937	0,9498	$d_4^{20}$	1,0373	0,0380	0,9482
$n_D^{20}$	1,5220	1,5080	$n_D^{20}$	1,5310	1,5315	1,5050
Фр. 213—214,5° С			Фр. 213—218° С			
Выход, %	1,26	0,55	Выход, %	8,0	6,7	3,9
$d_4^{20}$	0,9914	—	$d_4^{20}$	0,9947	0,9994	0,9438
$n_D^{20}$	1,5210	—	$n_D^{20}$	1,5240	1,5300	1,5050

Таблица 4

Окончание таблицы 3.

Фракционный состав	Анисол		Фракционный состав	Фенетол		
	17	23		27	28	14
Фр. 214,5—232° С			Фр. 218—220° С			
Выход, %	23,0	7,28	Выход, %	6,2	5,4	3,35
$d_4^{20}$	0,9906	0,9489	$d_4^{20}$	0,9991	1,0020	0,9437
$n_D^{20}$	1,5200	1,5060	$n_D^{20}$	1,5230	1,5290	1,5050
Остаток			Фр. 220—232° С			
Выход, %	35,6	17,86	Выход, %	12,0	12,4	5,6
$d_4^{20}$	—	0,9562	$d_4^{20}$	0,9819	1,0000	0,9340
$n_D^{20}$	—	1,5080	$n_D^{20}$	1,5225	1,5265	1,5042
Потери	0,8	5,0	Фр. 232—245° С			
Конец кипения, ° С	232	232	Выход, %	16,8	4,3	—
$d_4^{20}$	—	—	$d_4^{20}$	0,9676	0,9998	—
$n_D^{20}$	—	—	$n_D^{20}$	1,5200	1,5240	—
Фр. 245—255° С			Выход, %	8,4	—	—
			$d_4^{20}$	0,9622	—	—
			$n_D^{20}$	1,5192	—	—
Остаток			Выход, %	24,0	35,9	17,9
			$d_4^{20}$	—	0,9882	0,9483
			$n_D^{20}$	—	—	1,5060
Потери	3,6	—	Потери	3,6	3,4	2,1
Конец кипения, ° С	255	—	Конец кипения, ° С	255	235	232

Из данных табл. 3 видно, что при температуре 250° С ведущей является реакция алкилирования алcoxисибензолов с образованием изопропил алcoxисибензолов.

Алкилат, полученный при этой температуре, содержит в своем составе 14—20% фракций, выкипающих в пределах температуры изопропиланизола (192—213° С) и изопропилфенетола (204—213° С).

Повышение температуры до 300° С в присутствии алюмосиликатного катализатора приводит к образованию алкиланализолов, алкилфенетолов и алкилфенолов. При этом также протекают более сложные реакции, вызванные универсальным характером действия алюмосиликата. В результате этих превращений образуются продукты изомеризации, дегидрирования и другие, вплоть до образования кокса.

В табл. 4 приводятся результаты фракционированной разгонки продуктов, полученных при алкилировании анисола и фенетола в присутствии твердого фосфорнокислого катализатора.

Из данных табл. 4 видно, что алкилат, полученный при температуре 250° С, состоит из 14—26% фракций, выкипающих в пределах температуры кипения алкиланализола (192—213°) и алкилфенетола

Фракционный состав	Анисол		Фракционный состав	Фенетол		
	72	73		77	78	79
Начало кипения, ° С	62	65	Начало кипения, ° С	69	67	65
Фр. НК—150° С			Фр. НК—168° С			
Выход, %	2,5	3,1	Выход, %	6,52	13,44	8,7
$d_4^{20}$	0,8644	0,8350	$d_4^{20}$	0,8604	0,8442	0,7748
$n_D^{20}$	1,4676	1,4404	$n_D^{20}$	1,4765	1,4640	1,4365
Фр. 150—155° С			Фр. 168—172° С			
Выход, %	38,7	24,1	Выход, %	38,34	43,08	39,8
$d_4^{20}$	0,9854	0,9948	$d_4^{20}$	0,9685	0,9689	0,9622
$n_D^{20}$	1,5160	1,5160	$n_D^{20}$	1,5085	1,5096	1,5085
Фр. 155—181° С			Фр. 172—181° С			
Выход, %	7,1	5,0	Выход, %	0,23	3,0	2,07
$d_4^{20}$	0,9820	1,0200	$d_4^{20}$	—	0,9820	0,9787
$n_D^{20}$	1,5150	1,5202	$n_D^{20}$	1,5105	1,5098	1,5095
Фр. 181—185° С			Фр. 181—185° С			
Выход, %	1,7	3,8	Выход, %	0,46	0,9	0,9
$d_4^{20}$	—	1,0296	$d_4^{20}$	—	1,5165	1,5098
$n_D^{20}$	1,5136	1,5264	$n_D^{20}$	—	—	1,5086
Фр. 185—192° С			Фр. 185—204° С			
Выход, %	2,6	3,4	Выход, %	3,72	3,1	3,9
$d_4^{20}$	0,9647	0,9923	$d_4^{20}$	0,9750	0,9604	0,9589
$n_D^{20}$	1,5118	1,5225	$n_D^{20}$	1,5090	1,5086	1,5080
Фр. 192—213° С			Фр. 204—213° С			
Выход, %	26,3	26,0	Выход, %	19,8	11,2	13,8
$d_4^{20}$	0,9496	0,9644	$d_4^{20}$	0,9599	0,9464	0,9475
$n_D^{20}$	1,5096	1,5168	$n_D^{20}$	1,5586	1,5060	1,5060
Фр. 213—220° С			Фр. 213—218° С			
Выход, %	3,9	8,1	Выход, %	3,03	3,0	7,2
$d_4^{20}$	0,9554	0,9624	$d_4^{20}$	0,9836	0,9485	0,9476
$n_D^{20}$	1,5106	1,5120	$n_D^{20}$	1,5110	1,5060	1,5062
Остаток			Фр. 218—222° С			
Выход, %	15,2	23,3	Выход, %	5,48	1,75	2,1
$d_4^{20}$	0,9568	0,9687	$d_4^{20}$	0,9706	0,9467	0,9460
$n_D^{20}$	1,5140	1,5160	$n_D^{20}$	1,5114	1,5053	1,5062

Фракционный состав	Анизол		Фракционный состав	Фенетол		
	72	73		77	78	79
Потери, %	2,0	2,2	Остаток	19,8	14,1	17,0
Конец кипения, °C	220	220	Выход, %	0,9692	0,9472	0,9471
			$d_4^{20}$	—	1,5050	1,5060
			$n_D^{20}$	2,62	5,93	4,53
			Потери: %	222	222	222
			Конец кипения, °C	222	222	222

(204—213°). При повышении температуры до 300° С, в присутствии твердого фосфорнокислого катализатора, наблюдается как алкилирование ароматического кольца, так и омыление эфирной группы с образованием изопропилфенола, что приводит к повышению удельного веса и показателя преломления фракций 192—213° С, 204—222° С и 214—232° С.

Для установления количественного содержания изопропилфенола в узких фракциях была определена гидроксильная группа по методу Чугаева-Церевитинова. В узких фракциях было найдено до 60—65% изопропилфенола. При температуре 300° С реакции приводят к образованию алкилфенолов.

#### ВЫВОДЫ

1. Изучены условия алкилирования аниза и фенетола в присутствии синтетических алюмосиликатных и фосфорнокислых катализаторов при 250—300° С.

2. При температуре 250° С в присутствии синтетических алюмосиликатных и фосфорнокислых катализаторов доминирующей является реакция прямого алкилирования аниза и фенетола с образованием соответствующих алкиланизолов и алкилфенетолов.

3. При температуре 300° С протекает реакция омыления аллоксигруппы с образованием соединений фенольного типа, дальнейшее алкилирование которых приводит к образованию алкилфенолов. Поэтому катализат состоит из смеси алкилфенолов, алкиланизолов и алкилфенетолов.

Ж. Н. Мамедалиев, Д. Е. Мишиев

Алкил-, метокси вә етокси бензол төрөмләринин  
сүлб катализаторлар иштиракилә синтези

#### ХУЛАСЭ

Мүхтәлиф синиф карбоидрокенләрин катализитик чеврилмәләри ичәрисиндә онларын сүлб катализаторларын иштиракилә алкилләшмәсси мүһум јер тутур.

Аниза вә фенетолун сүлб катализаторларын иштиракилә олефинләрлә алкилләшмәссиин нәзәри вә әмәли әһәмијјәтә малик олмасына баҳмајараг бу нағда әдәбијјатда һеч бир мә'лumat јохдур.

Бу ишдә мәгсәд аниза вә фенетолун пропилен илә алумосиликат вә алумосиликат үзәриндә чекдүрүлмүш фосфор туршусу катализаторун иштиракы тәэсир алтында алкилләшмәси реаксијасыны өјрәнмәкдир.

Апардығымыз тәдгигата әсасен ашағыдақы нәтичәләр әлдә едилмишdir.

1. Аниза вә фенетолун пропилен илә алумосиликат вә алумосиликат үзәриндә чекдүрүлмүш фосфор туршусу катализаторун иштиракы илә алкилләшдирilmәси өјрәнилмишdir.

2. Аниза вә фенетолун пропилен илә һәмин катализаторларын иштиракы илә реаксијасы 250° С-дә әсас етибарилә алкилләшмә реаксијасы истигамәтindә кедир.

3. Һәмин катализаторларын иштиракы илә 300° С-дә анизаолун вә фенетолун алкилләшмәси илә җанашы олары аллоксигруппун сабунлашмасы реаксијасы да кедир ки, бу да нәтичәдә алкилфенолларын әмәлә кәлмәсингә сабәп олур. Бу налда алкилат алкиланизол, алкилфенетол вә алкилфенолдан ибарт олур.

А. Г. МИСКЭРЛИ, А. М. БАРЛАМОВ

КИЛ СУСПЕНЗИЈАЛАРЫНЫН СӘТНИ-АКТИВ РЕАКЕНТЛЭРЛЭ  
САБИТЛЭШДИРЛМЭСИНИН МЕХАНИЗМИ ҺАГГЫНДА

1. Кил системләринин үзви туршуларын натриум дузлары  
илә сабитлэшдирлмэсинин тәдгиги

(Азэрбајҹан ССР ЕА академики М. Ф. Нагыев тәрәфүндөн тәгдилмәди)

Нефт вә газ гујуларынын газылмасында истифадә едилән кил суспензијаларынын каллоид-кимјәви кејфијјетини јаҳшылашдырмаг мэг-сәдилә Совет Иттифагында вә харичдә горујучу каллоид олараг квебрахо, КГР, КМС, ССБ, нишаста препаратлары вә с. биткиләрин парчаланмасындан вә кимјәви ишлэдилмэсиндән алышан реакентләр тәтбиг олунур [7]. Бу реакентләрин алышасы учун лазым олан хаммал республикамыза өлкөнни узаг рајонларындан кәтирилир ки, бу да хаммалын маја дәјәрини артырыр. Буна көрә јерли битки вә нефт мәһсулларында сәтни-актив маддәләрин тапылмасы вә тәдгиг едилмәси бөјүк елми вә тәчрубы әһәмијјэтә маликдир.

Сон заманлар лабораторијамызда кил суспензијаларынын сабитлэшдирлмэси учун битки вә нефт [2–6] туллантылары әсасында йени еффектли реакентләр—горујучу каллоидләр тәклиф едилмишdir. Тәдгигат иәтичесиндә айдан едилмишdir ки, назырда тәтбиг олунан вә истифадә учун тәклиф олунмуш гәләви реакентләр тәркиб е'тибарилә үзви туршуларын натриум дузларындан ибарәтdir. Бу дузларын тәркибиндә карбоксил групларындан башга фенол вә спирт характеристикалары да вардыр.

Бунунла әлагәдар олараг йени реакентләрии ахтарылмасыны вә онларын кил системләринә тә'сир механизминин өјрәнилмэсини елми нөгтеји-нәзәрчә эсасландырмаг учун бә'зи үзви туршуларын вә башлыча олараг онларын суда һәлл олан натриум дузларынын кил системләрине тә'сирини тәдгиг етмәк лазымдыр. Гејд етмәк лазымдыр ки, бу мәсәлә индије гәдәр тәдгиг едилмәмишdir.

Мәгалә бә'зи үзви туршуларын натриум дузларынын кил суспензијаларынын каллоид-кимјәви хассәләрине тә'сирини тәдгиги иәтичәләрине һәср едилмишdir. Бу мәгсәдә биз әсис е'тибарилә нефт мәһсуллары вә битки туллантыларынын тәркибине дахил олан үзви туршуларын бә'зи нөвләринин, хүсусән араматик вә јағ туршуларынын, еләчә дә бә'зи окси туршуларын натриум дузларынын кил системләрине тә'сирини өјрәнишник.

Мәгаләдә јаф туршуларындан: сиркә ( $\text{CH}_3\text{COOH}$ ), јаф ( $\text{C}_3\text{H}_7\text{COOH}$ ) пальмитин ( $\text{C}_{16}\text{H}_{31}\text{COOH}$ ), стеарин ( $\text{C}_{17}\text{H}_{35}\text{COOH}$ ) вә олеин ( $\text{C}_{17}\text{H}_{33}\text{COOH}$ ) туршуларынын натриум дузларынын кил суспензијала-  
жетләнирик.

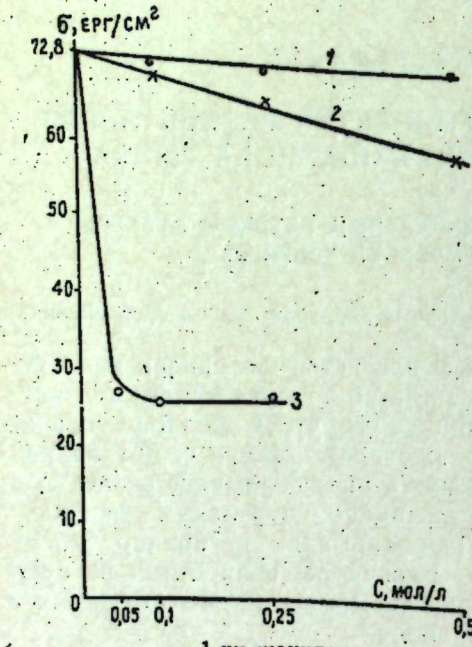
Маддәләрин сэтени-активлији онларын сујун сэтени кәрилмәснин ( $\sigma$ ) азалта габилијәтилә характеристизе олунур. Бунуила әлагәдар олараг үзви туршуларын натриум дузларынын концентрасијасындан асылы олараг сујун изотермасынын дәјишилмәснин єјрәмәк мараглыдыр.

1-чи шәкилдән көрүнүр ки, сујун сэтени-кәрилмәси үзви туршуларын натриум дузларынын гатылығындан асылы олараг ганунаујғун сурәтдә азалыр. Белә ки, јаф туршуларынын һомологи сырасында карбоһидрокен зэнчириинин узуилу-  
гундан асылы олараг һәмин дузлар һәлледичинин (сујун) сэтени-кәрил-  
мәснин кәскин сурәтдә азалтыглара үчүн јүксәк сэтени-активлије маликдирләр. Тәдгиг едилмиш дузлар сырасында натриум алеат даһа чох сэтени-активлије малик олмасы илә башгаларындан фәргләнир.

Белә ки, бу дуз чох аз гатылыгда ( $0,05-0,1 \text{ гмол/л}$ ) сујун сэтени-кәрил-  
мәснин  $72,8-25,4 \text{ erg/cm}^2$ -ә кими азалдыр. Лакин концентрасијанын сонракы артмасы сујун сэтени кәрил-  
мәснине нәзәрә чарпачаг дәрәчәдә тә'сир көстәрмир. Тәчрүбә заманы алдығымыз бу нәтичәләр әдебијјатда көстәрилән [7] нәтичәләрә тамамлә уйғун кәлир.

Бундан соңра јаф туршуларынын натриум дузларынын активлији онларын кил мәһлүлларынын каллоид-кимјәви хассәснә тә'сиринә эсасен мүәјјәнләшдирилмишdir. Бу мәгсәдлә хүсуси механики гарыш-  
дырычыда маје фазасы тәдгиг етдијимиз јаф туршуларынын натриум дузларынын мұхтәлиф мигдары олан  $15\%-ли$  каолинит типли Зығ кили суспензијасы назырланмышдыр. Беләликлә, назырланмыш мәһлүл натриум дузларынын кил һиссәчикләри үзәрindә там адсорбсија олунмасы үчүн бир сутка сахланылыш, соңра исә эсас каллоид-  
кимјәви көстәричиләри: өзлүлүjү, тиксатраплуғу, филтратсия габилијәти вә с. тә'јин едилмишdir. Бир сыра тәчрүбәләrin нәтичәләрі 1-чи чәвәлдә көстәрилмишdir.

1-чи чәвәлдән көрүндүjү кими сиркә вә јаф туршусу натриум дузларынын мұхтәлиф гатылығындан назырланмыш кил суспензијалары гәнаәтедичи каллоид-кимјәви хассәjә малик дејилдирләр. Бу мәһлүллар јүксәк филтратсия габилијәти зәиф тиксатраплуға малик олан пис кејфијјетли мәһлүллардыr. Сакит сахланыгда һәмин мәһлүллардан бөյүк һәcmдә маје фаза айрылыр ки, бу да онларын аз давамлы сабит олмамасы илә изаһ олунур. Беләликлә, сиркә вә јаф туршусу натриум дузлары кил системләrin нәзәрә чарпачаг дәрәчәдә нидратлашма пептизацијаедичи вә сабитләшдиричи тә'сир көстәрмирләр. Бу



Сујун сэтени кәрилмәснин сиркә(1), јаф (2) вә олеин туршулары натриум дузларынын гатылығындан асылымыры.

исә һәмин дузларын карбоһидрокен зэнчириинин чох гыса олмасы илә әлагәдар олараг, зәиф сэтени-активлије малик олмаларына там уйғун кәлир.

Сиркә вә јаф туршусу натриум дузларынын гатылығындан асылы олараг  $15\%-ли$  кил суспензијаларынын каллоид-кимјәви хассәләринин дәјишишмәсн

Суспензијаны маје фазасында әлавә едилмиш		Кил суспензијаларынын хассәси 5 вә 30 дәг				
дузларын тәркиби	гатылыг, г мол/л	өзлүлүк, сек.	айрылан маје бир күннөң %-лә	структур мәһкомуллык мг/см <sup>2</sup> —5 вә 30 дәг	фильтрасия с.м/30 дәг	кил габығынын м.м-лә
$\text{CH}_3\text{COONa}$	0,25	19	20	20,5/28,7	57	5
"	0,50	20	12	24,6/29,4	55	5
"	1,00	20	8	28,6/32,8	55	5
$\text{C}_3\text{H}_7\text{COONa}$	0,25	20	12	24,6/28,5	48	4
"	0,50	21	8	32,8/36,9	47	4
"	1,00	23	7	25,1/49,2	45	4

Сонра јаф туршуларынын һомологи сырасында даһа јүксәк молекуллар: пальмитин, стеарин вә олеин туршулары натриум дузларынын кил суспензијаларына тә'сир тәдгиг едилмишdir (2-чи чәвәл).

Пальмитин, стеарин вә олеин туршулары натриум дузларынын гатылығындан асылы олараг кил суспензијаларынын каллоид-кимјөви хассәләринин дәјишишмәсн

Суспензијаны маје фазасында әлавә едилмиш		Кил суспензијаларынын хассәси				
дузларын тәркиби	гатылыг, г мол/л	өзлүлүк, сек.	айрылан маје бир күннөң %-лә	структур мәһкомуллык мг/см <sup>2</sup> —5 вә 30 дәг	фильтрасия с.м/30 дәг	габығынын м.м-лә
$\text{C}_{15}\text{H}_{31}\text{COONa}$	$5 \cdot 10^{-3}$	23	6	24/102	39	4
"	$2 \cdot 10^{-2}$	70	0	340/404	26	4
"	$5 \cdot 10^{-2}$	НТ	0	1024/1355	18	3
"	0,10	НТ	0	—	14	3
$\text{C}_{17}\text{H}_{35}\text{COONa}$	$5 \cdot 10^{-3}$	24	6	193/205	35	4
"	$2 \cdot 10^{-2}$	НТ	0	1127/1456	17	3
"	$5 \cdot 10^{-2}$	НТ	0	1217/1560	14	3
"	0,10	НТ	0	—	12	3
$\text{C}_{17}\text{H}_{33}\text{COONa}$	$5 \cdot 10^{-3}$	26	4	186/215	31	4
"	$2 \cdot 10^{-2}$	НТ	0	520/650	20	3
"	$5 \cdot 10^{-2}$	НТ	0	623/793	15	3
"	0,10	НТ	0	1010/1280	10	2
"	0,25	НТ	0	—	5	1

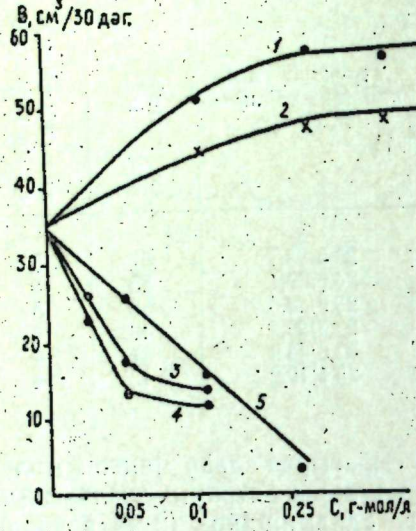
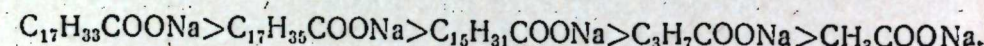
Әввәлчәдән апарылан тәчрүбәләр нәтижәсендә мүәյҗән едилмишdir ки, бу дузлар чох гаты мәһлүллар әмәлә кәтириләр. Она көрә кил суспензијаларының маје фазасының тәркибинә бу дузлары нисбәтән аз мигдарда ( $0,005 - 0,1$  г мол/л) әлавә етмәjә мәчбур олмушуг.

2-чи чәдвәлдән көрүнүр ки, маје фазасының тәркибинә пальмитин, стеарин вә олеин туршулары натриум дузларының аз концентрасијада олмасына баҳмајараг, онлар кил системләринин каллоид вә структур механики хассәләрини чох жаҳшылашдырылар. Бу дузларының мигдарының тәдричән артмасы јүксәк өзлүлүjә, аз филтратсија вә мәһкәм тиксатрап структура малик олган кил системләринин алымасына сәбәб олур ки, бу да тәдгиг етдијимиз дузларының һидратлашдырычы, пептизасијаедичи вә јүксәк сабитләшдиричи габилиjjәтини көстәрир.

Кил мәһлүлларының филтратсија дәрәcәси вә еләчә дә филтратсија олунмуш мајенин мигдары үмуми системин каллоидлиji вә сабитлиji һаггында мұлаһизә етмәjә имкан жарадыр. Белә ки, мәһлүлдан сузулән маје фазасын кәssин сурәтдә азалмасы һәmin мәһлүлун јүксәк сабитлиjә малик олмасыны көстәрир. Бунуна әлагәдар олараг көстәрилән үзви туршуларының натриум дузларының кил системләриндән филтратсија олунан мајенин мигдарыны мүгајисә етдикдә (1 вә 2-чи чәдвәл вә 2-чи шәкил) көрүнүр ки, тәдгиг едилән дузларда карбоидрокен зәнчиригин артмасы вә асимметрик молекуланың жарнамасы кил суспензијаларының филтратсија габилиjjәтини кәssин сурәтдә азалдыр. Кил системләриндә филтратсијаны азалмасы онларын һидратлашма вә пептизасија олунмаларының ганунауjғун сурәтдә јүксәлмәсини көстәрир ки, бу да үмуми системин јүксәк каллоидлиjә вә сабитлиjә малик олмасына сәбәб олур.

Тәдгиг едилмиш дузлар сырасында натриум алеат кил системләринин филтратсија габилиjjәтини  $10 - 5$  мл/30 дәг-ә гәдәр азалдыр ки, бу да сабит суспензијаларының назырланмасына имкан жарадыр. Натриум алеатын кил системләрине јүксәк һидратлашдырычы вә сабитләшдиричи тә'сирини бир тәрәфдәn һәmin дузун јүксәк асимметрик молекуллара малик олмасы, дикәр тәрәфдәn исә онун тәркибиндә карбон атомлары арасында икигат работәнин мөвчуд олмасы илә изаһ етмәk олар. Бу исә натриум алеатын тәдгиг едилмиш башга дузлара нисбәтән јүксәк сәтни-активлиjә малик олмасы илә там уjгун көлир (1-чи шәкил).

Тәдгигат заманы әлдә етдијимиз нәтиjәләрә әсасен бир әсаслы үзви туршуларының натриум дузлары кил системләрине һидратлашдырычы, пептизасијаедичи, һәmin суспензијалардан филтратсија олунан маје мигдарыны азалта габилиjjәтине малик олмалары е'тибарилә бу ашағыда көстәрилән сыртада жерләшдирилә биләр:



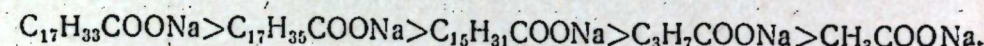
2-чи шәкил

15%-ли кил мәһлүлларының филтратсија габилиjjәтиниң сиркә (1), яғ (2), пальмитин (3), стеарин (4) вә олеин туршулары натриум дузларының гатылығындан асылылы

кен зәнчиригин артмасы вә асимметрик молекуланың жарнамасы кил суспензијаларының филтратсија габилиjjәтини кәssин сурәтдә азалдыр. Кил системләриндә филтратсијаны азалмасы онларын һидратлашма вә пептизасија олунмаларының ганунауjғун сурәтдә јүксәлмәсини көстәрир ки, бу да үмуми системин јүксәк каллоидлиjә вә сабитлиjә малик олмасына сәбәб олур.

Тәдгиг едилмиш дузлар сырасында натриум алеат кил системләринин филтратсија габилиjjәтини  $10 - 5$  мл/30 дәг-ә гәдәр азалдыр ки, бу да сабит суспензијаларының назырланмасына имкан жарадыр. Натриум алеатын кил системләрине јүксәк һидратлашдырычы вә сабитләшдиричи тә'сирини бир тәрәфдәn һәmin дузун јүксәк асимметрик молекуллара малик олмасы, дикәр тәрәфдәn исә онун тәркибиндә карбон атомлары арасында икигат работәнин мөвчуд олмасы илә изаһ етмәk олар. Бу исә натриум алеатын тәдгиг едилмиш башга дузлара нисбәтән јүксәк сәтни-активлиjә малик олмасы илә там уjгун көлир (1-чи шәкил).

Тәдгигат заманы әлдә етдијимиз нәтиjәләрә әсасен бир әсаслы үзви туршуларының натриум дузлары кил системләрине һидратлашдырычы, пептизасијаедичи, һәmin суспензијалардан филтратсија олунан маје мигдарыны азалта габилиjjәтине малик олмалары е'тибарилә бу ашағыда көстәрилән сыртада жерләшдирилә биләр:



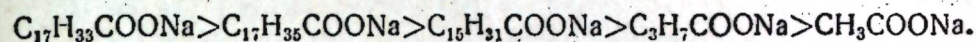
## Нәтиjә

1. Бир әсаслы үзви туршулардан сиркә, яғ, пальмитин, стеарин вә олеин туршулары натриум дузларының кил суспензијаларының каллоид-кимjәви хассәләрине тә'сир итәгиг едилмишdir.

2. Мүәйҗән едилмишdir ки, һәmin дузларын каллоид-суспензијалы кил системләрине тә'сир итәгидрокен зәнчиригин узунлуғундан вә молекулада олан икигат работәнин варлығындан чох асылыдыр.

3. Белә ки, карбоидрокен зәнчиригин артмасы вә хүсусен икигат работәнин жарнамасы кил системләринин һидратасија вә пептизасија олунмаларына имкан жарадыр. Бунуна әлагәдар олараг кил суспензијаларының өзлүлүjә вә тиксатрап структурунун мәһкәмлиji кәssин сурәтдә артыр, системин филтратсија олунма габилиjjәти исә азалыр ки, бу да кил системинин каллоидлиjинин вә сабитлиjинин јүксәлмә силә әлагәдардыр.

4. Мүәйҗән едилмишdir ки, тәдгиг едилмиш үзви туршуларының натриум дузларының кил суспензијаларына етдији горујучу тә'сирине көрә ашағыда сыртада жерләшдирилә олар:



## Әдәбиjлат

1. Бараков А. С. Глинистые растворы для бурения нефтяных скважин в осложненных условиях. Гостоптехиздат, 1955. 2. Мискарли А. К., Гасanova С. Б. Научный отчет. Фонд АГУ, 1958. 3. Гурвич М. М., Зейналов Б. К. ДАН Азерб. ССР, 1957, 8. 4. Мискарли А. К., Землянская В. Я., Гасanova Т. Г. АНХ, 1957, 5. 5. Мискарли А. К., Землянская В. Я., Гасanova Т. Г. Тезисы докладов Всесоюзной конференции по коллоидной химии. Изд. АН ССР, 1958. 6. Мискарли А. К., Гасanova Т. Г., Землянская В. Я. АНХ 1958, 9. 7. Шварц, Перри. Поверхностно-активные вещества. Изд. И. Л., М., 1954.

Кимja Институту

Алымышдыр 13. IX 1958

А. К. Мискарли, А. М. Байрамов

## Исследование стабилизации глинистых супензий натриевыми солями одноосновных органических кислот жирного ряда

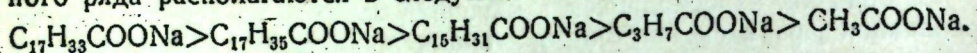
### РЕЗЮМЕ

Последние годы в нашей лаборатории исследованы и рекомендованы способы получения различных щелочных поверхностно-активных веществ на основе нефтепродуктов и отходов растений. Установлено, что эти щелочные реагенты содержат в своем составе натриевые соли различных высокомолекулярных органических кислот. Последние, адсорбируясь на поверхности глинистых частиц супензий, оказывают защитное и стабилизирующее действие на глинистые системы.

Авторы статьи приводят данные, характеризующие действие натриевых солей некоторых органических кислот на коллоидно-химические свойства глинистых супензий. Установлено, что действие натриевых солей органических кислот на свойства глинистых супензий в значительной степени зависит от длины углеводородных цепей и наличия двойных связей в молекулах этих солей. Увеличение угле-

водородных цепей и наличие двойных связей в молекулах натриевых солей органических кислот резко повышает гидротиращающее и пептизирующее действие последних. Суспензии, обработанные такими реагентами, обладают высокой тиксотропной прочностью, малой величиной водоотдачи и относятся к стабильным системам.

Показано, что по силе защитного действия на глинистые суспензии исследованные нами натриевые соли органических кислот жирного ряда располагаются в следующем виде:



М. Э. ҺАШЫМОВ, М. Н. ЭҮМӘДОВ

АЗЭРБАЙЧАНЫН БӘ'ЗИ НЕФТЛӘРИНИН ТӘРКИБИНДӘ  
ОЛАН ТӘБИИ АРОМАТИК КАРБОНИДРОКЕНЛӘРДӘН  
СИНТЕТИК ІҮҮЧҮ МАДДӘ АЗОЛЈАТ-Б-НИН АЛЫНМАСЫ  
ВӘ ҺӘМИН МАДДӘНИН БАҚЫДА СӘНАЈЕ МИГЈАСЫНДА  
ИСТЕҢСАЛ ЕДИЛМӘСИНИН ПЕРСПЕКТИВЛӘРИ

1-ЧИ МӘЛУМАТ

(Азәрбајҹан ССР ЕА академики М. Ф. Нагыев тәрәфкіндән тәгдим едилмишdir)

Нефтләрин керосин, газојл вә солјар фраксијаларындан алынан сүлфотуршуларын натриум дузуун յујучу ҳассәјә малик олмасыны 1913-чү илдә Г. С. Петров мүшәнидә етмишdir. Бу сүлфотуршулар Петров „контакты“ адьны алмышдыр. Контактын тәркебинде гәтранлы маддәләрлә бирликдә сүлфолашмајан чох фази үзви маддәнин олмасы вә контактын хүсуси иji онун кениш мигјасда тәтбиғ едилмәсінә мәнфи тә'сир көстәрир. Контактда көстәрилән мәнфи чәнәтләрин арадан галдырылмасы ондан сабунбашырмә сәнајесинде јағлары әвәзедичи кими техники мәгсәдләр үчүн истифадә етмәје имкан јарадыр.

Мә'лум олдуғу кими, бу вахта гәдәр Петров контакты үчүн хаммал сифәтилә Бинәгәди вә ағыр Балаханы нефтләри ишләдилirdи.

Азәрбајҹан нефтләринин тәдгиги көстәри ки, онлардан бә'зиләринин кимјәви тәркеби Бинәгәди вә Ағыр Балаханы нефтләрине јаҳындыр.

Завод вә лабораторија дәлилләри көстәри ки, ачыг рәнкли контактда сүлфотуршуларын чыхар мигдары хаммалдақы ароматик карбонидрокенләре нисбәтән 40% тәшкел едир.

Тәчрүбәви дәлилләр көстәри ки, тәркебинде 60% актив маддә олар յујучу маддәләрин чыхары сүлфотуршулара нисбәтән 180% тәшкел едир.

Жұхарыдақы дәлилләрдән көрүндүjу кими, Азәрбајҹан нефт сәнајеси синтетик үзүчү маддәләр алмаг үчүн чох бөйк тәбии хаммал еңтијаттарына маликдир.

Нефт сүлфотуршуларынын сәнаједә алымасы  
үсуллары вә әмтәэ контакттынын кејфијәти

Әмтәэ контактты ашағыда көстәрилән технология үзрә алыныр: хаммал сифәтилә көтүрүлән ағыр Балаханы нефтинин 65—70°С-ә гәдәр гызымыш керосин вә газојл фраксијасы ардычыл олараг ики сүл-

фатордан кечир. Һәмин сүлфатора ейн заманда күкүрд айнидириди верилир. Сүлфолашыш мәңсул гудрондан тәмизләнмәк үчүн ардычыл олараг З чекдүрүчүдән кечиб, истидәјиширичиләрдә бухар васитәсилә 65—70°C-э гәдәр гызыры. Соңра гызыыш мәңсул (турш յаф) ардычыл бирләшдирилмиш 2 екстракторда су гатындан кечир вә сүлфотуршулар екстраксија олунур.

Җәдвәлдә сәнаје контакттыны нүмуниәләринин кејфијјети көстәрилүр.

Контактының аты	Контактының анализи			Рәнки (көзәјары)
	Сүлфотуршуларының %-и	Јағларының %-и	$\text{H}_2\text{SO}_4$ %-и	
Керосин контакты	50,06	4,06	1,17	гара
	50,79	5,04	1,29	.
	52,35	4,73	2,12	.
Газојл контакты	51,28	17,56	1,76	.
	56,45	14,70	1,30	.
	56,72	14,45	1,07	.

Умумиттифаг Елми-тәдгигат յаф Институту Азәрбајҹан ССР ЕА Нефт-кимја просессләри институту вә Э. һ. Гарајев адына Бакы Нефтаярма заводунда апарылан тәдгигатлар көстәрир ки, ади контактдан алынан сүлфотуршуларын дузлары илә кәтан парчаны јудугда кәтан парча саралыр.

Бизим заводларда нефтдән алынан сүлфотуршуларын мәнифи чәһәтиңе сәбәб, назырда сәнаје гургуларынын эсас чиңазларынын конструксијасынын, технологија режиминин вә истеңсалат схеминин кафи олмамасыдыр ки, бунуи нәтижәсиндә дә һәмин сүлфотуршуларын тәркибиндә мүәјјән гәдәр յағлар вә гәтранлы маддәләр галмыш олур.

Өлкәмизин јујучу маддәләрә олан бөјүк ештијачыны өдәмәк үчүн сабуниширмә сәнајесинидә мал-гара вә битки յағлары әвәзиңе синтетик јујучу маддәләрин ишләнмәси әлверишли олдуғу үчүн Азәрбајҹан ССР ЕА Нефт-кимја просессләри Институту 1953-чу илдән башла-јараг Э. һ. Гарајев адына Бакы Нефтаярма заводу илә бирликдә јујучу маддәләрин истеңсалы үчүн гәтрандан вә յағлардан тәмизләнмиш нефт сүлфотуршуларынын алымасы үсулуни тәдгиг етмәклә бәрабәр, лазыны гурғунун технологија схемини дә назырламышдыр. Бунуна бәрабәр сүлфолашма температурунун вә сүлфолашыш мәңсулдан гудронун чекмә мүддәтинин алынан сүлфотуршуларын кејфијјетине тә’сирли тәдгиг едилмишdir. Сүлфолашманын оптималь температуру 50—60°C, турш յағын гудрондан кифајэт гәдәр чекмәсиини оптималь температуру исә 50°C-дир.

## Контактының յағлардан тәмизләнмәси

Јағлардан тәмизләнмә бир нечә истигамәтдә апарылыр:

1. Сүлфотуршуларын сулу мәһлүлүүдан յағын мигдарынын азалдылмасы истигамәтиндә.

2. Сүлфолашыш нефт мәңсулларындан һәлледичиләр васитәсилә сүлфотуршуларын екстраксија едilmәси истигамәтиндә. Белә ки, алынан контактда сабунлашмајан маддәләрин (карбонидрокенләрин) мигдары ән аз олсун.

3. Контактының յағлардан даһа сәмәрәли тәмизләнмәси үчүн ону зәиф эсасларла нејтраллашдырмаг лазымдыр. Белә ки, 40%-ли газојл контакттыны 8%-ли эсасла нејтраллашдыргыда 75%-э гәдәр յаф ажрылыр.

Алынмышыр 9. VII 1958

Нефт-кимја  
процессләри Институту

М. А. Ашимов, М. Н. Ахмедов

## Получение синтетического моющего средства Газолята-Б из природной ароматики, содержащейся в некоторых нефтях Азербайджана и перспективы его промышленного производства в Баку

### Сообщение I

### РЕЗЮМЕ

В контактах содержится значительное количество минерального масла и смолистых веществ, препятствующих использованию сульфокислот как заменителей жиров в мыловаренной промышленности.

Учитывая большую потребность страны в производстве синтетических моющих средств взамен растительных и животных жиров в мыловарении, Институт нефти Академии наук Азербайджанской ССР и Бакинский нефтеперерабатывающий завод им. А. Г. Караева занимались исследованием и разработкой технологии получения обесмасленных и обезмасленных нефтяных сульфокислот для производства моющих средств.

Товарный контакт вырабатывается по следующей технологии: керосин, газоиль или соляр балаханской тяжелой нефти, нагретый до 65—70°C, проходит последовательно через два сульфатора, куда подается серный ангидрид. Сульфированный продукт последовательно поступает в три отстойника, где происходит отделение гудрона, а затем — через теплообменные аппараты, где подогревается паром до 65—70°C. После этого подогретый продукт поступает в два последовательно соединенных экстрактора, где проходит через водяную подушку и экстрагируется сульфокислотой. По достижении заданной крепости контакт снимается в товарную емкость.

Исследованием было установлено влияние различных методов обработки сырья и продуктов сульфирования на степень обесмасливания и обесмоливания сульфокислот. Кроме этого было исследовано влияние температуры сульфирования и времени отстоя гудрона от сульфируемого продукта на качество сульфокислот. Оптимальная

температура сульфирования находится в пределах 50–60°C, достаточный отстой кислого масла от гудрона и небольшая его растворимость в кислом масле обеспечиваются при температуре 50°C.

Наилучший эффект дает обезмасливание контакта в процессе его нейтрализации слабыми щелочными растворами. При нейтрализации 40% газойлового контакта 8% щелочью отделяется до 75% масла.

АНАЛИТИЧЕСКАЯ ХИМИЯ

И. Р. СЕЛИМХАНОВ

СПЕКТРАЛЬНОЕ КОЛИЧЕСТВЕННОЕ ОПРЕДЕЛЕНИЕ НИКЕЛЯ  
В АРХЕОЛОГИЧЕСКИХ МЕДНЫХ И БРОНЗОВЫХ СПЛАВАХ

(Представлено академиком АН Азербайджанской ССР М.-А. Кашиаем)

В археологических медных и бронзовых сплавах, наряду с другими элементами присутствует также и никель, обычно в небольших концентрациях. Однако в некоторых сплавах его содержание достигает и более высоких величин. Например, в результатах анализов древних медных и бронзовых предметов из Средней Европы Г. Отто и В. Виттер<sup>1</sup> приводят данные о содержании в них до 2–3% никеля.

В исследованных нами археологических предметах содержание никеля достигает десятых долей процента. Количественное определение никеля мокрыми химическими методами представляет неудобство в связи с необходимостью использования очень малых навесок пробы для анализа, взятых с изучаемого археологического предмета. В этом отношении более целесообразно применение спектрального метода анализа.

И. Е. Винклер<sup>2</sup>, начавший в 1933 г. разработку методики спектрального анализа древних бронзовых сплавов, не приводит каких-либо сведений методического характера относительно количественного определения отдельных элементов.

Несколько позже И. Е. Винклер<sup>3</sup> касается вопроса подбора аналитических пар линий только для количественного определения олова в археологических бронзовых сплавах при искровом возбуждении спектра.

Г. Отто<sup>4</sup>, продолжавший работу, начатую И. Е. Винклером, описывает, главным образом, способ подготовки проб для возбуждения их спектров в искре.

По данным В. В. Данилевского<sup>5</sup>, в Ленинградском институте исто-

<sup>1</sup> H. Otto, W. Witter. Handbuch der ältesten vorgeschichtlichen Metallurgie in Mitteleuropa. Leipzig, стр. 45.

<sup>2</sup> J. E. R. Winkler. Qualitative und quantitative Spektralanalyse vorgeschichtlicher Legierungen. Nachrichtenblatt für Deutsche Vorzeit. Leipzig, 1933, стр. 86.

<sup>3</sup> J. E. R. Winkler. Spektralanalytischen Nachweis von Zinn und Kupfer. Z. für anorganische und allgemeine Chemie. Band 218, 1934, стр. 45.

<sup>4</sup> H. Otto. Die Anwendung der Spektralanalyse für kulturhistorischen Fragen. Spektrochimica Acta, 1940, №1, стр. 381—399.

<sup>5</sup> В. В. Данилевский. Историко-технологическое исследование древних бронзовых и золотых изделий с Кавказа и Северного Урала. Изв. ГАИМК, в. 110, 1935, стр. 218.

рической технологии спектральное определение никеля в древних бронзовых сплавах ограничивалось установлением его качественного содержания; при этом, его присутствие отмечалось только в том случае положительным знаком, когда не могло быть сомнения, что он попал не из сверла при пробоотборании.

В лаборатории археологической технологии Института истории Академии наук Азербайджанской ССР в связи с разработкой метода количественного спектрального анализа древних медных и бронзовых сплавов были исследованы некоторые вопросы подготовки проб для их испарения и возбуждения спектра в активированной дуге переменного тока<sup>6</sup>. Одновременно возник вопрос спектрального количественного определения никеля в указанных сплавах.

А. К. Русановым<sup>7</sup> было установлено, что по скорости испарения никеля из отверстия угольного анода он приближается к железу и кобальту. Навеска в 20 мг металлического никеля испаряется из отверстия угольного анода за 3,5–4 мин. При этом окислы никеля обладают способностью восстанавливаться до металла уже после 30 сек горения дуги.

Для изучения динамики испарения и поступления никеля в пламя дуги переменного тока из навески его окислов, помещенной в кратер угольного электрода, нами была произведена последовательная съемка его спектров через каждые 30 сек горения дуги с пробой. Предварительно, проба окислов меди и никеля (0,3% Ni) весом в 30 мг смешивалась с равным количеством углебарниевой стабилизирующей смеси (80% угля + 20% Ba(NO<sub>3</sub>)<sub>2</sub>). Сила тока дуги была установлена следующая:

- 1 минута горения дуги — 4a;
- 2 " " " 6a;
- 3 " " " и до конца 15a;

На генератор ПС-39 подавался ток напряжением 127 в. Спектры фотографировались на спектральные пластины „типа 1“.

Почернение линии никеля в последовательно снятых спектрах на проявленной фотопластинке измерялось на микрофотометре МФ-2. На основании полученных данных была построена кривая испарения никеля в заданных условиях (рис. 1). Из этой кривой видно, что испарение никеля, начинающееся с 3 минуты горения дуги, достигает

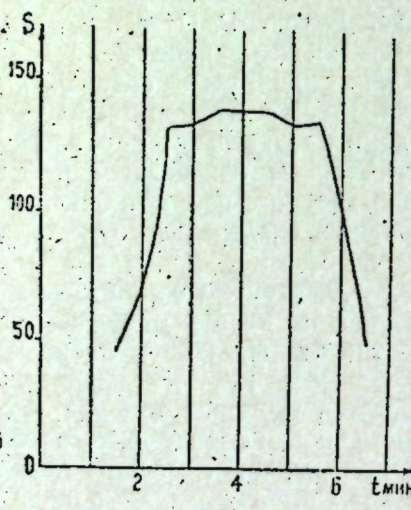


Рис. 1.

Кривая испарения никеля из навески сплава окислов на медной основе

максимума на 5–6 минутах и прекращается на 8 минуте. Таким образом, общее время испарения навески окислов с 0,3% никеля, начинающееся с 3 минуты, равно 6 минутам.

<sup>6</sup> И. Р. Селимханов. К методике спектрального анализа археологических медных и бронзовых сплавов. „ДАН Азерб. ССР“, 1957, т. XIII, стр. 967.

<sup>7</sup> А. К. Русанов. Спектральный анализ руд и минералов. М., Госгеолиздат, 1948, стр. 167.

## О методе количественного определения никеля

Для определения процентного содержания никеля в археологических сплавах на медной основе наиболее удобным оказался метод фотометрического интерполирования, предложенный Л. Е. Введенским<sup>8</sup>. По нашему мнению, для анализа медных сплавов этот метод имеет ряд преимуществ перед другими лишь при его объективном варианте. Визуальный метод, описываемый В. К. Прокофьевым<sup>9</sup>, по сравнению с методом объективного фотометрирования дает меньшую точность и воспроизводимость результатов определения, хотя и является более быстрым.

### Подбор аналитической пары линий

В процессе исследования выяснилось, что точность и воспроизводимость определения никеля методом фотометрического интерполирования находится в сильной зависимости от подбора наиболее пригодных аналитических пар линий. По Р. Сойеру<sup>10</sup>, подбор пар линий зависит от свойств источника тока, условий работы, а также от интервала концентрации анализируемого элемента.

В. К. Прокофьев<sup>11</sup> отмечает, что аналитические пары линий должны удовлетворять условиям гомологичности и близко располагаться друг к другу, чтобы облегчить возможность их визуального сравнения.

По нашим исследованиям, аналитическая пара линий никеля с медью должна давать график, построенный в координатах  $\lg R$ ,  $\lg C$  с удовлетворительным наклоном, при минимальном разбросе точек.

Для подбора наилучшей пары линий Ni—Cu в интервале концентрации 0,01–0,5% мы построили графики в координатах  $\lg R$ ,  $\lg C$  для четырех пар, одна из которых Ni·3012 Å — Cu·3010,8 Å рекомендует Я. П. Белькевичем<sup>12</sup> при анализе бронзовых сплавов по тому же методу.

Э. Джейкокс<sup>13</sup> для определения никеля в сплавах на медной основе рекомендует пары линий: Ni 3524,24 Å и 3134,11 Å с Cu—2768,88 Å. Однако ввиду удаленности линий друг от друга использование этих пар неудобно.

### Аналитические пары

	Ni	Cu
I график	3012,0 Å —	3010,8 Å
II "	2994,5 Å —	2998,4 Å
III "	2992,6 Å —	2997,4 Å
IV "	3050,8 Å —	3063,4 Å

<sup>8</sup> Л. Е. Введенский. О проведении спектрального анализа по способу фотометрического интерполирования. „Изв. АН СССР“, 1940, т. IV, №1, стр. 154.

<sup>9</sup> В. К. Прокофьев. Фотографические методы количественного спектрального анализа. Часть II. М.-Л., Гостехиздат, 1951, стр. 79.

<sup>10</sup> Р. Сойер. Экспериментальная спектроскопия. Изд. И. Л. М., 1953, стр. 341–344.

<sup>11</sup> В. К. Прокофьев. Указ. работа, стр. 160.

<sup>12</sup> Я. П. Белькевич. Руководство по спектральному анализу металлов. Судпромгиз, 1958, стр. 124–128.

<sup>13</sup> E. K. Jaycox. A spectrochemical procedure of general applicability. Analytical Chemistry, vol. 27, №3, 1955, стр. 347–350.

Для получения величин  $IgR$  для каждой пары линий при соответствующей концентрации эталонные пробы окислов меди весом 30 мг, смешанные с одинаковым количеством углебаривой смеси (80% угля + 20%  $Ba(NO_3)_2$ ) и заполненные в кратер угольных электродов, испарялись в дуге переменного тока с активатором по схеме Свейтицкого. Возбужденные спектры фотографировались на спектральных пластинах "тип I" через девятиступенчатый ослабитель на спектрографе.

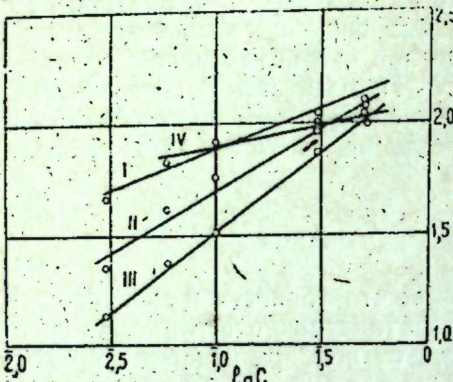


Рис. 2.

Градуировочные графики для определения никеля в медных сплавах:

	Ni	Cu
I—по линиям	3012,0 Å	3010,8 Å
II—	2994,5 Å	2997,4 Å
—	2992,6 Å	2997,4 Å
IV—	3050,8 Å	3063,4 Å

Данные построения графиков I, II и III были получены на основании четырех съемок, которые мы приводим в таблице.

Результаты контрольных анализов медного образца, содержащего 0,15% Ni (в %)

№ графика	Спектры	Содержание Ni (найдено)	Абсолютная разница	Относительная погрешность	Средняя относительная погрешность,	
					для двух спектров	для четырех спектров
I	1	0,17	+0,02	+13,2	+16,9	+11,74
	2	0,187	+0,037	+20,6		
	1	0,1663	+0,0163	+9,84		
	2	0,155	+0,005	+3,33		
II	1	0,121	-0,029	-24,0	-15,57	-1,89
	2	0,14	-0,01	-7,15		
	1	0,178	+0,028	+18,7		
	2	0,163	+0,013	+8,65		
III	1	0,143	-0,007	-4,87	+1,96	+0,14
	2	0,163	+0,013	+7,97		
	1	0,152	+0,002	+1,30		
	2	0,143	-0,007	-4,67		

<sup>14</sup> Ю. А. Шерсткова и Е. П. Федина. Применение спектрального метода при фазовом анализе никелевых руд. "Заводская лаборатория" 1955, №9, стр. 1060—1061.

Как видно из таблицы, график III, соответствующий аналитической паре линий  $Ni-2992,6 \text{ \AA}$  —  $Cu-2997,4 \text{ \AA}$ , оказался наиболее пригодным в отношении точности и воспроизводимости анализов. Относительная ошибка для двух определений находится в пределах 1,89%, а для четырех — +0,14%, что надо считать удовлетворительным.

## ВЫВОДЫ

Спектральное количественное определение никеля в археологических медных и бронзовых сплавах целесообразно производить по методу объективного фотометрического интерполирования, разработанного Л. Е. Введенским.

Для повышения точности количественного анализа по этому методу необходимо было подобрать пару линий никеля с медью, которая дает удовлетворительный наклон аналитического графика, построенного в координатах  $IgR-IgC$  и минимальный разброс точек от изменения условий испарения пробы и возбуждения спектра в дуге переменного тока.

Проведенными опытами установлено, что наилучшей из взятых четырех пар линий является пара  $Ni-2992,6 \text{ \AA}$  и  $Cu-2997,4 \text{ \AA}$ , что проверено контрольными опытами. При этом точность по воспроизводимости для двух спектров содержания составила —1,89%, а для четырех спектров +0,14%.

Институт истории

Поступило 14. II. 1958

И. Р. Сәлимханов

Археологи мис вә тунч хәлітәләрнә никелин спектрал мигдар тә'јини

## ХУЛАСӘ

Археологи мис вә тунч әшәларын кимҗәви вә спектрал тәһлили заманы әринин тәркибинде бәзән құллы мигдарда никелә раст кәлмәк олур. Әринин тәркибини мигдары чәһәтдән даңа дүрүст тә'јин етмәк үчүн спектрал тәһлил үсүлү сон дәрәчә әлверишилдири. Л. І. Веденски өз ишләрнә фотометрик интерполјасија үсүлүнү тәтбиг етмәклә тәдгиг ишини асанлашдырыш вә дәғиг нәтижәләр әлдә едә билмишdir.

Бу үсүл үзрә мигдари анализин дәғиглијини артырмаг үчүн никелә мисин елә чут хәттини сечмәк лазымдыры,  $IgR$ ,  $IgC$  координаттарында дүзәлдилмис олан аналитик графикдә гәнаэт бәхш етсии. Бундан башга, дәјишән чәрәјан гөвсүндә спектрин ојадылмасы вә нүмүнәнин бухарланмасы шәрәитинин дәјишмәснән асылы олараг, нәгтәләрн әйридә дағыныглығыны минимумға ендирсии.

Контрол тәчрүбәләрн нәтижәснән мүәжжән едилмишdir ки, көтүрүлмүш, 4 хәтт чутундән ән яхшысы  $Ni-2992,6 \text{ \AA}$  вә  $Cu-2997,4 \text{ \AA}$  дир. Бу заман дәғиглик еңи мигдары ики спектри үчүн —1,89%, 4 спектри үчүн исә 0,14% олур.

А. Д. СУЛТАНОВ, Г. П. ТАМРАЗЯН

О НЕКОТОРЫХ ЗАКОНОМЕРНОСТЯХ РИТМИЧЕСКОГО  
ОСАДКОНАКОПЛЕНИЯ В ВЕК ПРОДУКТИВНОЙ ТОЛЩИ  
В ПРЕДЕЛАХ АПШЕРОНСКОГО ПОЛУОСТРОВА

Сравнительно многочисленными работами ряда исследователей установлена ритмичность отложений продуктивной толщи Апшеронского полуострова. Работами А. Д. Султанова [1] было показано, что ритмичность (цикличность) присуща продуктивной толще не только Апшеронского полуострова, но и других районов ее распространения (Кобыстан, Прикуринская низменность и др.). Вместе с тем было показано, что ритмичность продуктивной толщи обнаруживается не только в гранулометрическом составе пород, но и в минералогической ассоциации слагающих свит и горизонтов (распределение кварца, полевых шпатов, слюд, ильменита, дистена, ставролита, рутила, пирита и др.). Кроме того А. Д. Султановым [3, 4] было установлено, что ритмичность продуктивной толщи проявляется и в химическом составе растворимой в соляной кислоте части пород (содержание свободного  $\text{CaCO}_3$ , гипса,  $\text{Al}_2\text{O}_3$ ,  $\text{Fe}_2\text{O}_3$ ,  $\text{MgCO}_3$  и др.), а также в водных вытяжках из пород продуктивной толщи (содержание ионов  $\text{Cl}$ ,  $\text{HCO}_3$ ,  $\text{SO}_4$  и др.).

Наконец, А. Д. Султановым [2] было показано, что концентрация водородных ионов ( $\text{pH}$ ) в водных вытяжках из пород продуктивной толщи также изменяется в ее разрезе ритмически.

В общем песчаные и глинистые интервалы разреза продуктивной толщи характеризуются ясно выраженными особенностями своего вещественного состава [5].

Вместе с тем, различными исследователями было выявлено изменение мощностей отдельных частей (глинистых и песчаных) крупных ритмов продуктивной толщи в пределах отдельных площадей Апшеронского полуострова. Однако в течение длительного времени отсутствовали работы, рассматривавшие изменение самих мощностей крупных ритмов в течение всего века продуктивной толщи от одного ритма к другому; тем самым, вопрос о характере взаимосвязи процесса ритмического осадконакопления во времени оставался по существу открытым.

Связанные с геотектоническим развитием Апшеронского полуострова закономерности в изменении мощностей отложений крупных ритмов в век продуктивной толщи были впервые установлены Г. П. Тамразяном [6, 7]. На основе выделенных им восьми региональ-

ных ритмов отложений продуктивной толщи, четко прослеживающихся на всей территории Апшеронского полуострова и Апшеронского архипелага, Г. П. Тамразян в 1952 г. пришел к заключению, что „отмечается закономерное изменение мощностей отложений региональных ритмов в век продуктивной толщи: от начала этого века ко времени накопления средней части продуктивной толщи мощности ритмов постепенно уменьшаются и, далее, по мере накопления осадков второй половины века продуктивной толщи—увеличиваются“ [6]. Тогда же им было отмечено, что „распределение мощностей отложений выделенных региональных ритмов продуктивной толщи вырисовывает закономерное изменение мощностей отложений региональных ритмов в век продуктивной толщи, отвергая широко распространенное и в настоящее время воззрение на их случайный характер, о якобы независимости мощности каждого ритма от места его расположения в разрезе продуктивной толщи“ (стр. 95). Таким образом, впервые была выявлена определенная направленность в процессе накопления осадков и изменения мощностей отдельных ритмов продуктивной толщи.

В последние годы глубоким бурением вскрыты наиболее погруженные участки Апшеронского полуострова и южнее расположенной морской полосы, где мощности продуктивной толщи являются максимальными. Поэтому встает важная в научном и практическом отношении проблема выяснения геотектонической и палеогеографической истории Апшеронской области в век продуктивной толщи на основе выявления закономерностей изменения во времени (по вертикали) мощностей ее региональных ритмов как в средней части Апшеронского полуострова, так и в более погруженных участках, по которым получены новые данные. При этом важно рассматривать отдельно глинистые и песчаные интервалы ритмов.

Прежде чем перейти к рассмотрению изменения мощностей ритмов, отметим, что вся продуктивная толща в первом приближении представляется состоящей из трех частей: а) нижней—с отчетливым (ритмическим) чередованием песчаных (ПК, НКП) и алевролитово-глинистых (КаС, КС, НКГ) свит; б) средней—преимущественно песчаной части (свиты балаханская и „перерыва“), в которой песчаные горизонты ритмически чередуются с алевролитовыми или глинисто-алевролитовыми горизонтами (здесь явление ритмичности из-за общего опесчанивания разреза проявляется не столь отчетливо, как в нижней части продуктивной толщи); в) верхней—также ритмически построенной части (сабуничинская и сураханская свиты).

Ввиду сильного опесчанивания средней части продуктивной толщи и чередования песчаных горизонтов с алевролитовыми или глинисто-алевролитовыми, содержащими редкие и маломощные прослои чистых глин, выявляемые для всей продуктивной толщи (закономерности изменения мощности свит в этой ее средней части несколько затушевываются). Кроме того, если иметь в виду более быстрое образование песчаных пластов по сравнению с алевролитовыми и тем более глинистыми пластами той же мощности, то станет очевидным, что нижние глинистые (алевролитово-глинистые) части ритмов в балаханской свите образовались значительно быстрее, чем одинаковые с ними по мощности горизонты тех же участков ритмов нижней части продуктивной толщи. Иначе говоря, глинисто-алевролитовые части ритмов балаханской свиты определенной мощности образовались быстрее, чем соответствующие по мощности части аналогичных участков, ритмов нижней части продуктивной толщи.

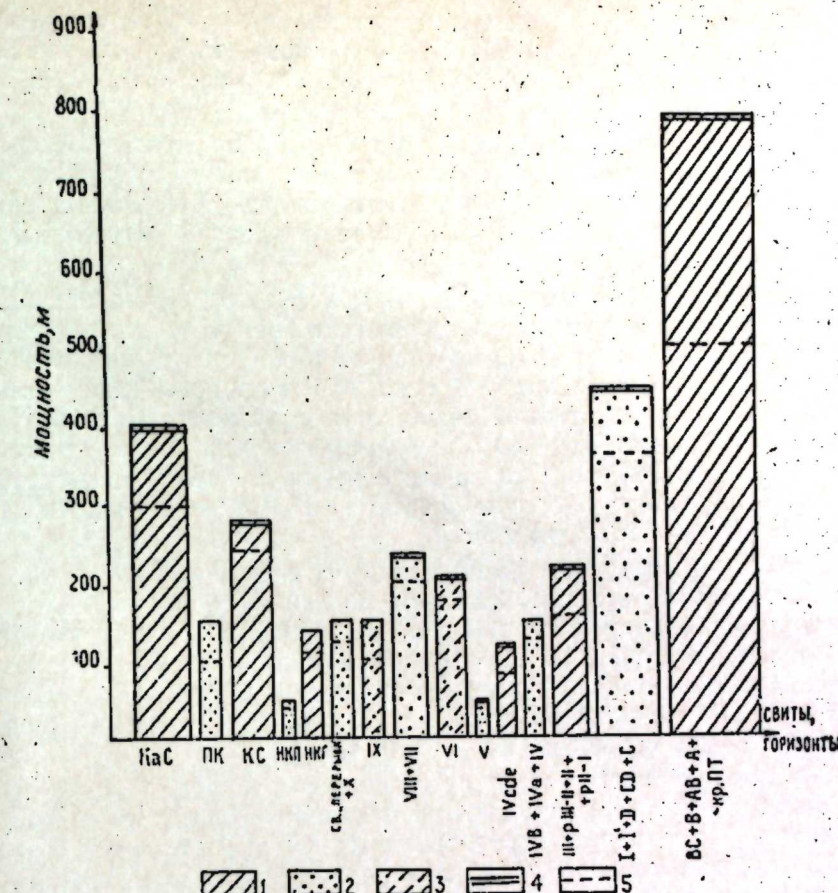


Диаграмма изменения среднемаксимальных мощностей глинистых (алевролитово-песчаных) компонентов региональных ритмов Апшеронского полуострова.

1—глинистые или алевролитово-глинистые компоненты региональных ритмов, 2—песчаные компоненты региональных ритмов, 3—преимущественно алевролитовые или глинисто-алевролитовые части разреза, отвечающие по своему расположению в ритме глинистым или алевролитово-глинистым компонентам ритмов. 4 и 5—пределы колебания величин среднемаксимальных мощностей.

На диаграмме показано распределение среднемаксимальных мощностей глинистых и песчаных компонентов региональных ритмов продуктивной толщи Апшеронского полуострова. Как видно из диаграммы, мощности глинистых (алевролитово-глинистых) компонентов региональных ритмов от начала века продуктивной толщи к ее средней части уменьшаются. Здесь среднемаксимальные мощности от КаС через КС и НКГ последовательно уменьшаются. Нижние компоненты региональных ритмов в балаханской свите (горизонты IX и VI) как будто не отвечают вышеотмеченному направлению уменьшению мощностей глинистых частей ритмов от начала века продуктивной толщи к его середине. Но если иметь в виду, что нижние компоненты региональных ритмов балаханской свите представлены главным образом не глинистыми, а алевролитовыми, или, в лучшем случае, глинисто-алевролитовыми горизонтами, образовавшимися, как отмечено выше, при прочих равных условиях значительно быстрее, чем равные по мощности глинистые горизонты предыдущих ритмов продуктивной толщи, то станет совершенно очевидным, что время образования нижних (глинистых или алевролитово-глинистых) частей региональных

ритмов, измеренное для литологически одинаковых толщ примерно их мощностью, направленно и определенно уменьшалось от начала века продуктивной толщи к его середине (от КаС через КС, НКГ к IX и VI горизонтам).

С середины века продуктивной толщи к ее концу мощности глинистых компонентов неуклонно возрастают (от низов сабунчинской свиты IV *cde* горизонты, через верхи этой свиты—III горизонт, раздел III—II, II горизонт, раздел II—I и далее к верхам сурханской свиты—выше кровли горизонта С).

Песчаные части региональных ритмов как быстро образовавшиеся характеризуют неполно историю века продуктивной толщи, основное время формирования которой приходится на медленно образовавшиеся глинистые свиты и горизонты. Однако, как видно из диаграммы, для верхней части продуктивной толщи также замечается увеличение мощности песчаных компонентов ритмов к концу века продуктивной толщи, т. е. наблюдается та же картина, которая выявляется и по характеризующим большую часть этого времени глинистым компонентам региональных ритмов.

Интересно заметить, что уменьшению со временем мощностей глинистых интервалов региональных ритмов в нижней части продуктивной толщи отмечает также уменьшение мощностей и песчаных интервалов ритмов (от ПК к НКП). Неясная картина относительно изменения мощностей песчаных частей ритмов отмечается, собственно говоря, только в балаханской свите, которая, как уже отмечалось выше, образовалась сравнительно быстро.

Итак, в течение всего века продуктивной толщи происходило направленное изменение мощностей ее региональных ритмов. Время образования глинистых частей региональных ритмов (их равнозначные мощности) уменьшалось от начала века продуктивной толщи к ее середине и затем увеличивалось к ее концу. Так обстояло дело с глинистыми частями региональных ритмов, на долю которых приходится резко преобладающая часть продолжительности всего века продуктивной толщи. Этому же изменению продолжительности времени и мощности образования глинистых интервалов региональных ритмов примерно следует и изменение продолжительности и мощности образования песчаных интервалов ритмов в нижней и верхней частях продуктивной толщи.

## ЛИТЕРАТУРА

1. Султанов А. Д. Литология продуктивной толщи Азербайджана. Изд. АН Азерб. ССР, 1949.
2. Султанов А. Д. Концентрация водородных ионов (pH)-водных вытяжек из пород продуктивной толщи. «ДАН Азерб. ССР», 1947, № 1.
3. Султанов А. Д. К условиям накопления отложений продуктивной толщи Апшеронского полуострова. «ДАН Азерб. ССР», 1951, № 9.
4. Султанов А. Д. Литология продуктивной толщи Апшеронского полуострова. Изд. АН ССР, 1958.
5. Султанов А. Д., Тамразян Г. П. О литолого-стратиграфическом обосновании ритмического строения продуктивной толщи апшеронской нефтеносной области. «ДАН Азерб. ССР», 1956, № 9.
6. Тамразян Г. П. О закономерностях в распределении нефтяных месторождений восточного Азербайджана и о ритмичности отложений продуктивной толщи Апшеронского полуострова. Изд. АН Азерб. ССР, 1952.
7. Тамразян Г. П. Расчленение разреза продуктивной толщи Апшеронского полуострова на региональные ритмы отложений. Изв. АН Азерб. ССР, 1953, № 6.

Институт геологии  
и. акад. И. М. Губкина

Поступило 14. III 1959

Э. Ч. Султанов, Г. П. Тамразян

Абшерон јарымадасынын мәһсүлдар гаты эсринде ритмик чөкүнту топланмасынын бәзи ганунаујғунлуглары нағында

## ХУЛАСЭ

Иди, Абшерон јарымадасынын вә дәниз золағындан чәнубда јерләшән саңәләрин ән чох батыш һиссәләринин (бу һиссәләрдә мәһсүлдар гат максимум галынығы маликдир) дәрии газымаларла үзә чыхарылдығы сон илләрдә мәһсүлдар гат эсринде Абшерон областынын қеотектоник вә палеочографи тарихинин айынлаштырылмасы проблеми елми вә әмәли чәһәтдән мүһүм бир мәсәлә кими гарышда дурмагдадыр. Һәм дә бу мәсәлә истәр Абшерон јарымадасынын орта һиссәсендә вә истәрсә дә назырда нағында йени мә'лumatлар алымыш олан ән чох батыш һиссәләрдә регионал ритмләрин дөврләр үзрә (вертикал) галынығынын дәжишилмәснин ганунаујғунлугларыны ашкара чыхармаг әсасында һәлл едилемәлидир.

Мәгаләдә верилмиш шәкилдә Абшерон јарымадасы мәһсүлдар гатынын регионал ритмләринин ашағы (килли) вә јухары (гумлу) компонентләринин орта максимум галынығында язылмасы көстәриллир.

Һәмин шәкилдән көрүндүјү кими, регионал ритмләрин килли (алевролитли-килли) компонентләринин галынығы мәһсүлдар гат эсринин әввәлләриндән онун орталарына доғру кетдикчә азалыр. Бурада гала дәстәсиндән башлајараг кирмаки дәстәсиндән кечмәклә кирмакиусту дәстәсинәдәк орта максимум галынығы тәдричлә азалыр.

Балаханы дәстәсиндә (IX вә VI горизонтлар) регионал ритмләрин мұвағиғ ашағы компонентләри санки мәһсүлдар гат эсринин әввәлләриндән онун орталарына доғру олан ритмләрин килли һиссәләринин галынығынын јухарыда көстәрилән истигамәтли азалмасы илә узлашмыр. Лакин Балаханы дәстәси регионал ритмләринин ашағы компонентләринин, башлыча олараг, килли горизонтларла дејил, алевритли, јахуд ән јахшы налда килли-алевритли горизонтларла (бүнлар, јухарыда көстәрилди кими, бүтүн башга шәрайтләр ейни олдугда мәһсүлдар гатын әввәлки ритмләринин галынығы ейни олан килли горизонтларындан хејли тез әмәлә қәлир) тәмсил олундуғуны һәзәрә алсаг белә бир чәһәт тамамилә айын олар ки, регионал ритмләрин ашағы (килли, јахуд алевритли-килли). һиссәләринин әмәлә кәлмә вахты мәһсүлдар гатын әввәлләриндән башлајараг онун орталарына доғру истигамәтли сурәтдә азалыр (гала дәстәсиндән башлајараг кирмаки вә кирмакиусту дәстәләриндән кечмәклә IX вә VI горизонтларда доғру).

Мәһсүлдар гат эсринин орталарындан башлајараг онун сонларына доғру ашағы (килли) компонентләрин галынығы дайы артыр.

Беләліккә, бүтүн мәһсүлдар гат эсри дөврүндә онун регионал ритмләринин галынығы истигамәтли сурәтдә дәжишишdir. Рекионал ритмләрин килли (еини галынығда олан) һиссәләринин әмәлә кәлмә вахты мәһсүлдар гат эсринин башланғычындан орталарына доғру азалмыш, онун сонларына доғру исә артмышдыр.

ТОРПАГШУНАСЛЫГ

Э. Н. КУЛӘҮМӘДОВ, А. И. МӘММӘДОВ

**ПЕРЛИТИН КӘНД ТӘСӘРРУФАТЫНДА  
ТӘТБИГИНӘ ДАИР**

(Азәрбајҹан ССР ЕА академика М.-Ә. Гашгај тәրәфиндән тәгдим едилемишdir)

Гејри-филиз фајдалы газынтыларын хүсуси хассәјә малик олмасы бир хаммалы дикәрилә кениш әвәз етмәјә имкан верир. Бу да вахтилә фајдалы газынты сајылмајан һәр һаңсы бир филизин истеңсалатда јени бир хаммал сифәтилә истифадәсини мүәјјән едир.

Сон заманлара гәдәр перлит вә дәвәкөзү фајдалы газынты сајылмырды.

Перлит вә дәвәкөзү вулканик шүшәвари сүхур олуб, хүсуси структураја маликдир. Дәвәкөзү перлитдин кимјәви бирләшмиш сујун нисбәтән аз олмасы вә текстурасы илә фәргләдир. Перлити јүксәк температур шәрантиндә ( $900-1000^{\circ}\text{C}$ ) гыздырылғанда онун тәркибиндә олан учучу компонентләр чыхыр вә нәтичәдә һәчми бөйүүр, көпүр вә мәсамәли судан јүнкүл бир материала чөврилир.

Мөвчуд әдәбијатта әсасен перлитин тәтбиг саһәси һәдсиздир<sup>1</sup>. „Көпдүрүлмүш перлит“ кәнд тәсәрруфатында вә истеңсалатын мұхтәлиф саһәләриндә кениш истифадә олунур. АБШ-да „көпмүш перлит“ истеңсал едән 100-дән соң завод вардыр.

Перлитин белә кениш саһәдә истеңсал едилемәси онун тәсәрруфатда соң бөյүк әһәмијәтә малик олмасыны бир даңа сүбүт едир.

Шүшәвари вулканик сүхурлар—перлит вә дәвәкөзү қеоложи нәгәтчи-нәзәрдән әдәтән чаван вулканик сүхурларда кениш интишар тапышылдыр.

Өлкәмиздә бу тип ятаглар Узаг шәргдә, Тачикистанда, Газахстанда, Ермәнистанда, Азәрбајчанда вә б. јерләрдә мә'лумдур.

Азәрбајчанда бу мә'дәнләр Кәлбәчәр району Истису курортундан 10—15 км чәнуб-гәрбдә јерләшәрәк, Тәртәрчајын сол саһилиндә кениш јајымыш вә бөյүк еһтијата маликдирләр.

Илк дәфә бу фајдалы газынты М.-Ә. Гашгај вә А. И. Мәммәдов тәрәфиндән тапсылыб өјрәнилмиш вә тикнити саһесинде јүнкүл материал кими тәклиф едилемишdir.

Перлитин кениш истифадә саһесини нәзәрә алараг, кәнд тәсәрруфатында тәтбигини мүәјјән етмәк үчүн һәмин мүәллифләrin тәклифи

<sup>1</sup> В. П. Петров. Новые виды неметаллических полезных ископаемых. „Разведка и охрана недр“, 1955, № 3.

вэ тэгдим өтди, нүүмнэлэр өсөсүнда Азэрбајчан ССР ЕА Торлаг шунаслыг вэ Агрокимја Институтуун микроелементлэр лабораторија-сында бир сыра тэдгигат ишлэри апарылмышдыр.

Перлитин биткилэрийн инкишафына тэ'сирини өјрэнмэк мэсэдилэ гарғыдалы үзэриндэ тэчрүбэ гојулмушдур. Буунүүчүн перлит тэбийн вэ көпдүрүлмүш һалда вэ ejini заманда мугаисэ үчүн онун мэншэчэ өлагдээр олан трахилипарит сүхурундан да 0,5, 1,0 вэ 2,0 г һэр килограм торпаага гарышдырылмышдыр.

Тэчрүбэ Учар району килли боз-чэмэн торпаагында алты тэкрарлы мухтэлиф вариантын үзрэ 1957-чи илийн июн айнын 20-дэйн июл айнын 22-эдэй олан мүддэтдэ апарылмышдыр.

Тэдгигат нэтичэснэдэ алышан рэгэмлэр 1-чи чэдвэлдэ вэ 1-чи шэкилдэ верилир.

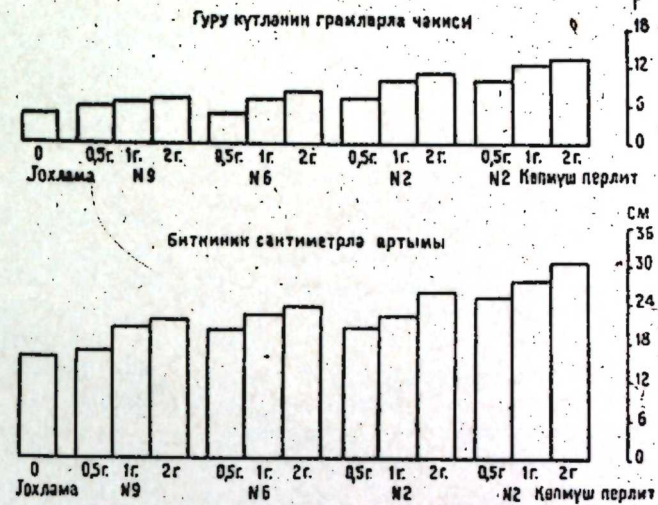
1-чи чэдвэл  
Перлит вэ трахилипарит сүхурунун гарғыдалы биткисийн тэ'сир  
(б тэкрардан орта рэгэм)

№	Вариантлар һэр 1 кг торпаага г несабилэ	Биткисийн боюу		Көкүн узуултуу		Гуру көвдэ вэ кө күн чэ киси % -лэ	
		ен-кг	ен-%	ен-кг	ен-%		
1	Јохлама	15,4	100,0	12,6	100,0	5,0	100,0
2	трахилипарит № 9 0,5	16,9	109,7	15,3	121,4	5,9	118,0
3	1,0	20,5	133,1	19,9	157,9	6,2	144,0
4	2,0	21,9	135,6	20,6	163,5	7,1	142,0
5	перлит № 6 0,5	20,7	134,4	20,0	163,0	5,3	106,0
6	1,0	22,3	144,7	21,0	165,0	7,1	142,0
7	2,0	23,8	154,5	21,1	165,5	8,1	168,0
8	перлит № 2 0,5	20,4	133,5	20,4	163,6	7,6	152,0
9	1,0	22,9	145,0	20,6	163,8	9,8	196,0
10	2,0	26,3	170,8	22,0	176,1	11,7	226,0
11	көпдүрүлмүш перлит 0,5	25,4	153,8	22,4	176,5	10,2	204,0
12	1,0	27,7	179,8	24,6	190,4	12,6	252,0
13	2,0	30,4	197,3	26,0	206,3	13,8	276,0

1-чи чэдвэлдэки рэгэмлэрдэн көрүнүр ки, тэбийн перлит вэ трахилипарит сүхуру килли боз-чэмэн торпаага өлавэ өдилдикдэ гарғыдалы биткисийн көвдэ вэ көк системини инкишафына мусбэт тэ'сир көстэрир.

Перлит гарғыдалы биткисийн инкишафына трахилипарит сүхуруна нисбэтэн дахаа яхши тэ'сир едир. Мэсэлэн, 2, 3 вэ 4-чу вариантын трахилипарит јохламаа нисбэтэн гарғыдалынын көвдэ боюу 9,7%-дэн 35,6%-эдэй, көк боюу 21,4—63,5%-эдэй вэ гуру күтлэснини 18—42%-э гэдээр артырыр. Перлит исэ гарғыдалынын көвдэ боюу 34,4—70,8%-эдэй, көк боюу 63,0—76,1%-эдэй вэ гуру күтлэснини 6,0—126,0%-э гэдээр артырыр (5, 6, 7, 8, 9, 10-чу вариантын).

Геjd өтмэк лазымдыр ки, көпдүрүлмүш перлит јухарыда көстэрилэн вариантын нисбэтэн гарғыдалы биткисийн үмуми инкишафына дахаа мусбэт тэ'сир көстэрир. Мэсэлэн, торпаага көпдүрүлмүш перлит өлавэ өдилэн (11, 12, 13) вариантын гарғыдалынын көвдэ боюу 53,8—97,3%, көк боюу 76,6—106,0%, гуру күтлэснини мигдары исэ јохламаа нисбэтэн 104,0—176%-э гэдээр артырыд.



1-чи шэкил  
Перлитин гарғыдалынын артымына тэ'сир

Килли боз-чэмэн торпаагын су тутум хассэснэ перлитин тэ'сирини өјрэнмэк үчүн апарылан тэчрүбэ ишлэрийн нэтичэс 2-чи чэдвэлдэ вэ 2-чи шэкилдэ верилмишдир.

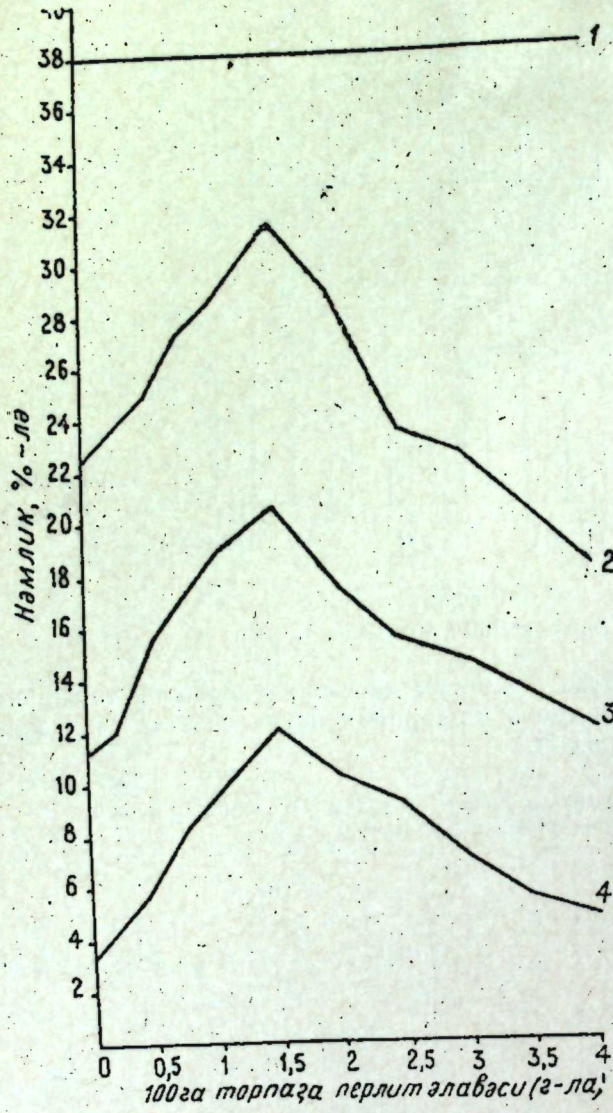
2-чи чэдвэл  
Перлитин кийли боз-чэмэн торпаагын су тутум хассэснэ тэ'сир  
(4 тэкрарда алышан орта нэмлик, % -лэ)

№	Нэг 100 г торпаага г несабилэ	Күнлэр			
		1 күн сонра	2 күн сонра	40 күн сонра	60 күн сонра
1	Јохлама	38,0	22,5	11,3	3,4
2	перлит 0,2 г	•	23,7	12,7	4,6
3	0,5	•	25,1	15,6	6,2
4	0,8	•	27,5	17,3	8,5
5	1,0	•	28,6	18,6	9,6
6	1,5	•	31,6	20,7	12,4
7	2,0	•	28,8	17,6	10,3
8	2,5	•	23,5	15,4	9,3

2-чи чэдвэлдэн көрүнүр ки, перлит торпаагын су тутуму хассэснэ мусбэт тэ'сир көстэрир. Лакин бу мусбэт тэ'сир торпаагда перлитин мүэjjэн мигдарда олмасы илэ сых өлагдэардыр. Мэсэлэн, нэг 100 г торпаага 0,2 г-дан 1,5 г-а гэдээр перлит өлавэ өдилэн вариантында (2, 3, 4, 5, 6) торпаагда нэмлик 20, 40 вэ 60 күн мүддэтндэ јохламаа нисбэтэн артыр. 1,5 г-дан артыг перлит верилэн вариантында (7, 8) исэ нисбэтэн торпаагда нэмлик азалыр.

100 г торпагда 1,5 г перлит гарыштырылан вариант башгалина нисбәтән торпағын су тутуму хассесинә ән жаңы тә'сир едир.

Тәдгигатлар һәләлик ашағыдақы нәтичәләри гејд етмәјә имкан верир.



Перлитин боз-чәмән торпағы су түтуму хассесинә тә'сири

на биләр. Она көрә бу истигамәтдә елми-тәдгигат ишләрини кенишләндirmәк диггәтәлајгидир.

Торпагшүасалыг  
вә Агрокимя Институту

Алымышдыр 27. IX 1958

А. Н. Гюльхмедов, А. И. Мамедов

## О возможности применения перлита в сельском хозяйстве

### РЕЗЮМЕ

Перлиты и обсидианы являются стекловато-вулканическими породами. После соответствующей термической обработки при высокой температуре ( $900-1000^{\circ}\text{C}$ ) благодаря выделению летучих компонентов они всучиваются и превращаются в пористую легковесную массу.

За последнее время всученный перлит широко стал применяться в различных отраслях хозяйства зарубежных стран.

Большие запасы таких вулканических пород имеются у нас в СССР — на Дальнем Востоке, в Таджикистане, Казахстане, Армении и Азербайджане.

В нашей республике огромные запасы этого сырья недавно выявлены Институтом геологии Академии наук Азербайджанской ССР в Кельбаджарском районе, в 10—15 км к юго-западу от курорта Истусу на левом берегу р. Тертер.

Впервые азербайджанские перлиты и обсидианы были исследованы А.-М. Кащаем и А. И. Мамедовым.

В результате их исследования было установлено, что всученные перлиты и обсидианы могут быть использованы в строительстве в качестве легковесного материала.

С целью выявления возможности применения всученного перлита в сельском хозяйстве в лабораторных условиях был проведен ряд экспериментов. На основании проведенных работ можно сделать следующий предварительный вывод: перлит в природном и всученном виде имеет положительное воздействие на рост кукурузы и улучшение водоудерживающей способности глинисто-сероземно-луговых почв Уджарского района Азербайджанской ССР.

Наилучшее положительное влияние всученный перлит на рост кукурузы оказал при внесении его в количестве 1—2 г на килограмм почвы.

Продолжение исследования возможностей применения перлита в сельском хозяйстве представляет большой научный и практический интерес.

П. С. ПАНИН

## К ВОПРОСУ О ДВИЖЕНИИ СОЛЕЙ В ПРОМЫВАЕМОМ СЛОЕ ЗАСОЛЕННОЙ ПОЧВЫ

(Представлено академиком АН Азербайджанской ССР В. Р. Вълобуевым)

В настоящем сообщении рассматриваются некоторые данные лабораторных и полевых опытов, характеризующих движение солей в отдельных горизонтах промываемого слоя засоленной почвы.

Промывались насыпные колонки  $K_1$ ,  $K_2$ ,  $K_3$  заключенные в стеклянные трубы диаметром 5,5 см и высотой, соответственно, 20, 40 и 80 см, которые ставились в ворошки и соединялись расплавленным гудроном. Это позволило сократить площадь раздела почва—воздух, достигнуть максимального стекания гравитационной воды и последующего относительно равномерного распределения влаги по всей колонке. Опыты проводились также на полевых монолитах, высотой 110 см, диаметром 71 см, которые заключались в металлические цилиндры и промывались в поле без отрыва от материнских пород. О процессе солеотдачи в колонках судили по количеству солей, вынесенных с фильтратом, а в монолитах—по исходному и остаточному засолению, определяемому водными вытяжками. В табл. 1 помещены исходные данные о промывавшихся почвах, которые были взяты в районе опытного дренажного участка АзНИИГиМ, ст. Уджары Азербайджанской ССР.

Прежде всего изучалось перемещение солей по отдельным горизонтам при насыщении колонок до влажности, отвечающей полевой влагоемкости. При этой влажности в колонках  $K_1$ ,  $K_2$ ,  $K_3$  удерживаются определенные объемы воды, соответственно,  $v_1$ ,  $v_2$ ,  $v_3$ . Допустив, что эти объемы воды соответствуют слоям 0–20, 0–40 и 0–80 см одной колонки, по разности  $v_3 - v_1$  определили объем воды в слое 20–40 см, а по разности  $v_3 - v_2$ —в слое 40–80 см. По этим и исходным данным (см. табл. 1) определено количество воды, израсходованное на насыщение отдельных слоев, фильтрацию воды через верхние горизонты и перемещение солей по профилю почвы в момент насыщения колонки до полевой влагоемкости. Полученные результаты приведены в табл. 2.

Основываясь на данных табл. 2 и результатах опытов В. В. Спенглер<sup>1</sup>, можно констатировать, что вегетационные щеливы не только

<sup>1</sup> В. В. Спенглер. Выщелачивание солей при промывках засоленных почв. „Гидротехника и мелиорация“, 1960, № 11.

насыщают корнеобитаемую толщу до полевой влагоемкости, но в то же время и перемещают часть имеющихся в почве солей в нижние слои. Если эти поливы будут увеличены, то объем воды, превышающий полевую влагоемкость корнеобитаемого слоя, будет выносить соли в нижние горизонты или в грунтовые воды, т. е. за пределы корнеобитаемого слоя.

Таблица 1

Виды определений	Насыпная колонка		
	K <sub>1</sub>	K <sub>2</sub>	K <sub>3</sub>
Вес воздушно-сухой почвы, г	710	1190	2830
Влажность и запас влаги в почве до промывки:			
%	14,4	14,4	5,6
г	120	200	170
Тоже при полевой влагоемкости:			
%	45,3	47,8	43,4
г	320	560	1230
Исходное засоление и запас солей в колонках			
Плотный остаток			
%	5,75	5,36	4,42
г	47,7	74,5	132,6
хлор:			
%	0,148	0,146	0,123
г	1,23	2,03	3,29

Таблица 2

Виды определений	K <sub>1</sub> 0—20 см	K <sub>2</sub> 0—40 см	K <sub>3</sub> —K <sub>1</sub> 20—40 см	K <sub>3</sub> 0—80 см	K <sub>3</sub> —K <sub>2</sub> 40—80 см
	K <sub>1</sub> 0—20 см	K <sub>2</sub> 0—40 см	K <sub>3</sub> —K <sub>1</sub> 20—40 см	K <sub>3</sub> 0—80 см	K <sub>3</sub> —K <sub>2</sub> 40—80 см
Количество воды, пошедшее на насыщение колонки до полевой влагоемкости, см <sup>3</sup>	200	360	160	1060	700
Профильтировалось воды при насыщении колонки до полевой влагоемкости см <sup>3</sup> в пересчете на м <sup>3</sup> /га	860	—	700	—	0
2690	—	2190	—	—	0
Вынесено солей:					
г	34,9	58,3	23,4	0	+58,3
% к исходному содержанию	73,0	78,0	63,0	0	+88,0

Промывка колонок разной высоты показала также, что одним и тем же объемом профильтровавшейся воды раньше промывался слой 0—20 см, затем слой 0—40 см, и больше всего воды и времени потребовалось на промывку слоя 0—80 см. В первом случае потребовалось 2000, а во втором—3000, в третьем—4500 м<sup>3</sup>/га; при этом хлор вымывался даже меньшими нормами (рис. 1).

На рис. 2 нанесено два вида кривых. Кривые 1, 3, 5 показывают изменение минерализации фильтрата от начала до конца опытной промывки колонок K<sub>1</sub>, K<sub>2</sub>, K<sub>3</sub>. Кривые 2 и 4 получены путем вычисления разностей числовых значений минерализации последовательных проб фильтрата из высоких и низких колонок. Минерализацию последовательных одинаковых проб фильтрата из колонки K<sub>1</sub> (0—20 см) обозначим через n<sub>1</sub>, n<sub>2</sub>, n<sub>3</sub>, а из колонки K<sub>2</sub> (0—40 см)—через c<sub>1</sub>, c<sub>2</sub>, c<sub>3</sub>. По разности значений c<sub>1</sub>—n<sub>1</sub>, c<sub>2</sub>—n<sub>2</sub> и т. д. построена кри-

вавая 2, характеризующая изменение минерализации промывной воды в слое 20—40 см, которая поступает в него из слоя 0—20 см. Аналогично построена кривая 4, характеризующая изменение минерализации фильтрата в слое 40—80 см.

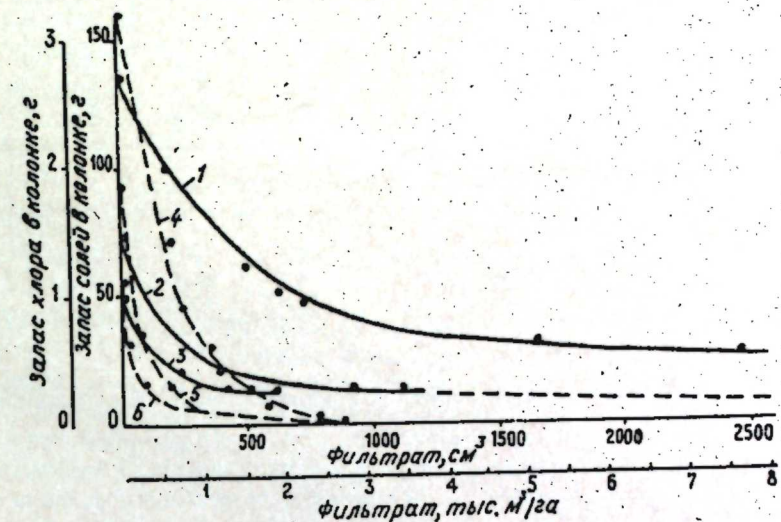


Рис. 1  
Зависимость выщелачивания солей из колонок от количества профильтровавшейся воды.  
Запас солей: 1—в K<sub>3</sub>, 2—в K<sub>2</sub>, 3—в K<sub>1</sub>. Запас хлора: 4—в K<sub>3</sub>, 5—в K<sub>2</sub>, 6—в K<sub>1</sub>.

Сопоставляя 1 кривую со 2 и 3 с 4, нетрудно заметить, что в то время, когда из вышележащего слоя поступает вода высокой минерализации, в нижележащем слое (20—40 или 40—80 см) она почти не изменяет свою минерализацию, а потому и не выносит из него солей.

По мере опреснения верхнего горизонта и снижения минерализации прошедшей через него промывной воды увеличивается выщелачивание солей из нижележащего слоя, пройдя через который промывная вода становится более высоко минерализованной.

На рис. 2 эти изменения минерализации промывной воды в слоях 20—40 см и 40—80 см показаны выпуклостью кривых 2 и 4.

Приведенные данные позволяют констатировать, что при промывках в первую очередь опресняются верхние горизонты и это связано с повышенным опресняющим действием пресной воды, поступающей на поверхность почвы, по сравнению с водой, фильтрующейся в нижние слои и уже обогащенной солями.

Определение солеотдачи в отдельных горизонтах проводилось также путем промывки полевых монолитов с поверхности почвы и с глубины 80 см. Полученные результаты приведены в табл. 3.

Для сравнения взяты горизонты 80—90 см и 90—100 см. В первом случае промывная вода проходила через слой (0—80 см) засоленной почвы, где она обогатилась солями и к слоям 80—90 см и 90—100 см доходила в виде высокого минерализованного раствора, который практически больше не растворял и не вымывал солей. Во втором случае верхняя толща была снята и промывная вода в те же слои поступала пресной. В результате из нижних горизонтов вынесено 70—90% солей, т. е. примерно столько же, как и в первом случае

Таблица 3

Глубина, см	Исходное засоление, %		Влажность, %		Профиль профилtrированной воды, м <sup>3</sup> /га	Вынесено солей, % от исходного	
	плотный остаток	хлор	до промывки	после промывки		плотный остаток	хлор
<b>Монолит промывался с поверхности почвы</b>							
0—10	2,76	1,509	17,7	35,7	1830	78,0	93,7
10—20	3,27	0,949	17,2	30,4	16,70	43,4	81,7
80—90	4,55	1,701	29,9	31,8	1520	7,7	4,7
95—100	4,19	1,805	30,3	32,5	1510	3,8	11,5
<b>Монолит промывался с глубины 80 см, верхний слой 0—80 см был снят</b>							
60—90	4,55	1,701	29,9	45,9	1045	69,8	91,7
90—100	4,19	1,805	30,3	32,5	1010	44,7	86,0

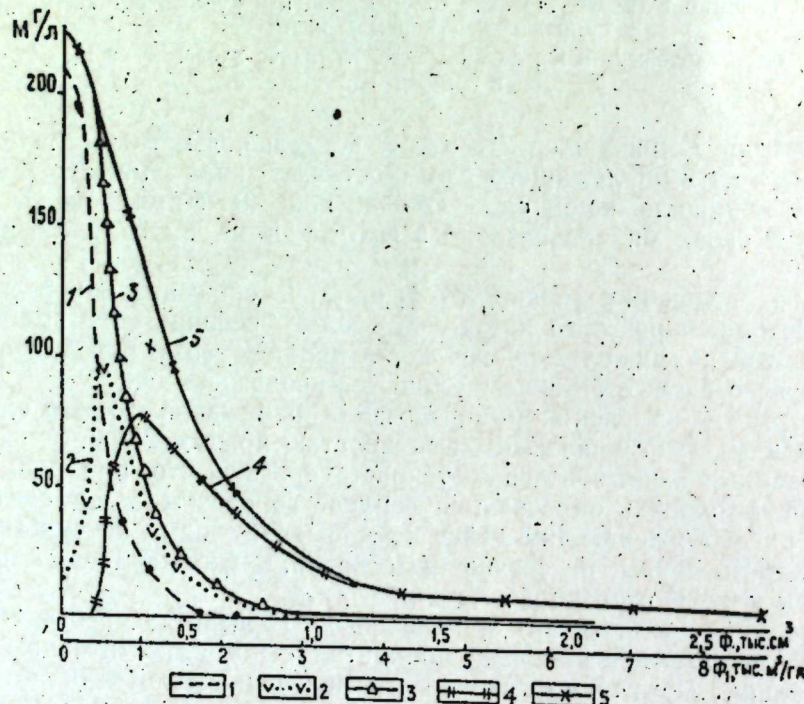


Рис. 2

Изменение минерализации фильтрата в процессе промывки насыпных колонок.

М — минерализация фильтрата и разница минерализаций, г/л;  
Ф — количество профильтровавшейся воды через колонки;

$\Phi_1$  — тоже в пересчете на 20

Минерализация фильтрата из отдельных колонок: 1 — K<sub>1</sub>; 3 — K<sub>2</sub>; 5 — K<sub>3</sub>.

Повышение минерализации фильтрата в вышележащих слоях: 2 — в слое 20—40 см колонки K<sub>1</sub>; 4 — в слое 40—80 см колонки K<sub>2</sub>.

из верхних слоев, хотя промывная норма на 500 м<sup>3</sup>/га была меньшей. Из слоев 80—100 см при промывке с поверхности вынесено солей почти в 10 раз меньше, чем при подаче воды непосредственно на эти слои.

Этот опыт также подтверждает вывод о более высокой способности пресной воды растворять и выщелачивать соли, по сравнению с минерализованной водой.

Поступило 22. I 1959

П. С. Панин

### Торпағын јуулмуш гатында дузларын һәрәкәти һагында

#### ХУЛАСӘ

Јуулмуш торпаг гатында дузларын һәрәкәти диаметри 7,1 см вә һүндүрлүјү 110 см олан чөл монолитләриндә (бунлар метал силиндр јерләшдирилмиш вә чөлдә ана сүхурдан айрылмадан јуулмушшур), набелә диаметри 5,5 см вә һүндүрлүјү 20, 40, 80 см олан јуулмуш тәкимә калонкаларда (бунлар шүшә боручугларда јерләшдирилмишdir) ёjrәнилмишdir. Монолитләрдә дузларын һәрәкәти һагында илкин вә галыг шорлашмаја әсасән, калонкаларда дузларын һәрәкәти һагында исә фильтратла чыхарылмыш дузларын мигдарына әсасән мұнакимә јүрудүлүр.

Апарылан тәчрүбәләрә мүәjjән едилмишdir ки, ашағы һоризонтлар чөл рүтубәт тутуму һәddинәдәк дојдурулдуға дузлар калонкаларын јухары һоризонтларынан ашағы һоризонтларына дөгрү һәрәкәт едир. Мүәjjән едилмишdir ки, 80 см-лик калонка чөл рүтубәт тутуму һәddинәдәк дојдурулдуғу мүддәтдә 0—20 см-лик торпаг гатындан һәр һектара 2690 м<sup>3</sup> несабилә су сүзүлмүш вә бундан 73% дуз алынышдыр.

Мә'лүмдүр ки, јујучу су профилдә јерини дәjiшәрәк јухары һоризонтлары максимум, ашағы һоризонтлары исә минимум дәрәчәдә дуздан тәмисләйир. Тәчрүбәләрә мүәjjән едилмишdir ки, јујулмаларын еффективлии арасындағы фәрг јухары һоризонтлара ширин су дахил олмасы илә изаһ едилir; бу су ашағы һоризонтлара ахан вә артыг тәркибиндә чохлу дуз олан суja нисбәтән даһа чох дузәрйтмә вә дузлары јујуб харичә чыхарма габилиjjетинә маликдир. Јујучу су јухары һоризонтлардан ашағы һоризонтлара дөгрү һәрәкәт едәрәк дузларла зәнкинләшир вә минераллашманы артырыр.

Јујучу су нә гәдәр јүксәк минераллашма илә ашағы һоризонтлардан кечирсә һәmin һоризонтлары дузларыны да ғәдәр аз јујур. Буна көрә дә јујулма просесинде торпағын профили бојунча дузлары јујулма истигамәти јухары һоризонтлардан ашағы һоризонтлара дөгрү дәjiшир. Бунун да нәтичәсіндә ашағы һоризонтларын јујулмасына даһа чох јујучу су сәрф олунур.

Д. М. ГУСЕЙНОВ, Р. Э. ЭЮБОВ

ВЛИЯНИЕ ИОНИЗИРУЮЩИХ ИЗЛУЧЕНИЙ НА СОЗРЕВАНИЕ  
И УРОЖАЙ ХЛОПКА-СЫРЦА

Сообщение I

В этой статье мы вкратце остановимся на результатах опытов, показывающих влияние предпосевного намачивания семян хлопчатника в растворах, содержащих радиоактивные изотопы, на урожай и созревание коробочек хлопчатника.

Нами в условиях вегетационного опыта было изучено действие  $\text{Co}^{60}$ ,  $\text{Ca}^{45}$  и  $\text{S}^{35}$ .

$\text{Co}^{60}$  в виде азотнокислой соли кобальта,  $\text{Ca}^{45}$  в виде хлористого кальция и  $\text{S}^{35}$  в виде сульфата натрия брали из расчета 0,2 (I доза) и 0,5 (II доза) мкюори на 1 л воды.

Наряду с радиоактивными  $\text{Co}^{60}$ ,  $\text{Ca}^{45}$  и  $\text{S}^{35}$  0,2 и 0,5 мкюори на 1 литр воды было взято такое же количество для проведения параллельных опытов с нерадиоактивным азотнокислым кобальтом, хлористым кальцием и сернокислым натрием. Намачивание семян хлопчатника проводилось в течение 12 часов перед посевом. Для закладки вегетационных опытов были взяты сероземно-луговая и светло-каштановая почвы.

В каждый сосуд набивалось 15 кг почвы. Повторность опытов трехкратная.

Азот и фосфор вносились из расчета 3 г на сосуд.

Набивка сосудов и посев семян в 1957 г. производились 3 июня, а в 1958 г.—30 мая.

В табл. 1, 2 и 3 приведены данные, показывающие влияние предпосевного смачивания семян растворами солей радиоактивного  $\text{Co}$ ,  $\text{Ca}$  и  $\text{S}$  на урожай хлопка-сырца.

Данные, приведенные в табл. 1, 2 и 3, показывают положительное действие предпосевного намачивания семян хлопчатника растворами солей  $\text{Co}^{60}$ ,  $\text{Ca}^{45}$  и  $\text{S}^{35}$ .

Наилучшие результаты получены от намачивания семян хлопчатника в растворе, содержащем 0,2 мкюори  $\text{Co}^{60}$  на литр. С увеличением концентрации раствора эффективность снижается.

От намачивания семян хлопчатника в растворах, содержащих 0,5 мкюори  $\text{Ca}^{45}$  и  $\text{S}^{35}$  на литр воды получены лучшие результаты, чем от намачивания семян в растворах, содержащих 0,2 мкюори в литре. В среднем по трем опытам урожай хлопка-сырца от намачивания семян хлопчатника в растворах, содержащих 0,2 мкюори  $\text{Co}^{60}$  на литр увеличивается на 37%.

Таблица 1

Влияние предпосевного намачивания семян в растворах  $\text{Co}^{60}$  на урожай хлопка-сырца (вегетационный опыт, урожай в г на сосуд)

Схема опытов	Сероземно-луговая почва			Светло-каштановая почва		
	1957 г.		1958 г.		1958 г.	
	урожай, г	прибавка, %	урожай, г	прибавка, %	урожай, г	прибавка, %
Семена намочены водой	19,9	—	15,1	—	19,8	—
Семена намочены:						
$\text{Co}^{60}$ (I доза)	28,0	42	19,8	31	27,1	37
$\text{Co}^{60}$ (II доза)	26,6	34	18,7	24	22,0	11
$\text{Co}$ (II доза)	20,8	5	16,9	12	21,4	8

$$m_D = \pm 1,4$$

$$m_D = \pm 0,8$$

Таблица 2

Влияние предпосевного намачивания семян в растворах  $\text{Ca}^{45}$  на урожай хлопка-сырца (вегетационный опыт; сероземно-луговая почва, 1958 г.)

Схема опыта	Урожай, г	Прибавка	
		г	%
Семена намочены водой	15,1	—	—
Семена намочены: $\text{Ca}^{45}$ (I доза)	17,7	2,6	16
$\text{Ca}^{45}$ (II доза)	23,7	8,6	57
$\text{Ca}^{45}$ (III доза)	15,6	0,6	3

$$m_D = \pm 1,2$$

Таблица 3

Влияние предпосевного намачивания семян в растворах  $\text{S}^{35}$  на урожай хлопка-сырца (вегетационный опыт, урожай в г на сосуд, 1957 г.)

Схема опытов	Сероземно-луговая почва			Светло-каштановая почва		
	урожай, г	прибавка, г	прибавка, %	урожай, г	прибавка, г	прибавка, %
Контроль (семена намочены водой)	19,9	—	—	19,8	—	—
Семена намочены:						
$\text{S}^{35}$ (I доза)	24,0	4,1	21	21,3	1,5	8
$\text{S}^{35}$ (II доза)	27,1	7,2	36	25,1	5,3	27
$\text{S}$ (II доза)	20,5	0,6	4	20,6	0,8	4

$$m_D = \pm 1,5$$

$$m_D = \pm 1,04$$

Урожай хлопка-сырца от намачивания семян в растворах, содержащих 0,2 и 0,5 мкюри  $\text{Ca}^{45}$  на литр, увеличился соответственно на 16 и 57%, по сравнению с контролем. В среднем по двум опытам урожай хлопка-сырца от намачивания семян в растворах, содержащих 0,2 и 0,5 мкюри  $\text{S}^{35}$  на литр, увеличился на 14 и 31%.

В табл. 4, 5 и 6 приводятся данные, показывающие влияние намачивания семян на созревание коробочек хлопчатника.

Таблица 4

Влияние предпосевного намачивания семян в растворах  $\text{Co}^{60}$  на раскрытие коробочек хлопчатника

Схема опытов	Общий урожай, г на сосуд	I сбор		II сбор	
		г	%	г	%
<b>Сероземно-луговая почва</b>					
23.XI 1957 г.	19,9	8,0	40	11,9	60
$\text{Co}^{60}$ (I доза)	28,0	23,3	83	4,7	17
$\text{Co}^{60}$ (II доза)	26,8	21,9	82	4,9	18
$\text{Co}$ (II доза)	20,9	8,8	42	12,1	58
23.XI 1958 г.	15,1	9,4	62	5,7	38
$\text{Co}^{60}$ (I доза)	19,8	16,5	84	3,3	16
$\text{Co}^{60}$ (II доза)	18,7	13,5	72	5,2	28
$\text{Co}$ (II доза)	16,9	8,2	48	8,7	52
<b>Светло-каштановая почва</b>					
29.XI 1958 г.	19,8	2,5	13	17,3	87
$\text{Co}^{60}$ (I доза)	27,1	18,2	67	8,9	33
$\text{Co}^{60}$ (II доза)	22,0	12,9	59	9,1	41
$\text{Co}$ (II доза)	21,4	11,3	53	10,1	47

Таблица 5

Влияние предпосевного намачивания семян в растворах  $\text{Ca}^{45}$  на раскрытие коробочек хлопчатника (сероземно-луговая почва, 1958 г.)

Схема опыта	Общий урожай, г на сосуд	I сбор		II сбор	
		г	%	г	%
<b>Контроль (семена намочены водой)</b>					
Контроль (семена намочены водой)	15,1	9,4	62	5,7	38
Семена намочены:					
$\text{Ca}^{45}$ (I доза)	17,7	16,4	93	1,3	7
$\text{Ca}^{45}$ (II доза)	23,6	17,9	76	5,7	24
$\text{Ca}$ (II доза)	15,6	9,3	59	6,3	41

Таблица 6

Влияние предпосевного намачивания семян в растворах  $S^{35}$   
на раскрытие коробочек хлопчатника

Схема опыта	Общий урожай <sup>2</sup> на сосуд	I сбор (29.XI)		II сбор (28.XII)	
		г	%	г	%
<b>Сероземно-луговая почва (1957 г.)</b>					
Контроль (семена намочены водой)	19,9	8,0	60	11,9	60
Семена намочены:					
$S^{35}$ (I доза)	24,0	23,0	96	1,0	4
$S^{35}$ (II доза)	27,7	21,4	79	5,7	21
$S$ (II доза)	20,5	14,0	68	6,5	32
<b>Светло-каштановая почва (1958 г.)</b>					
Контроль (семена намочены водой)	19,8	2,5	13	17,3	87
Семена намочены:					
$S^{35}$ (I доза)	21,3	15,3	71	6,0	39
$S^{35}$ (II доза)	25,1	19,7	78	5,4	22
$S$ (II доза)	20,6	11,5	56	9,1	44

Данные, приведенные в табл. 4, 5 и 6 свидетельствуют об ускорении созревания коробочек хлопчатника под действием предпосевного намачивания семян хлопчатника в растворах, содержащих соли  $Co^{60}$ ,  $Ca^{45}$  и  $S^{35}$ .

Наилучшие результаты получены от намачивания семян хлопчатника в растворах, содержащих 0,2 мкюори  $Co^{60}$ ,  $Ca^{45}$  и  $S^{35}$ , чем в растворах, содержащих 0,5 мкюори  $Co^{60}$ ,  $Ca^{45}$  и  $S^{35}$  на литр.

На основании опытов, проведенных в течение двух лет в условиях вегетационного домика, можно сделать следующие выводы.

1. Под влиянием предпосевного намачивания семян в растворах солей, содержащих  $Co^{60}$ ,  $Ca^{45}$  и  $S^{35}$ , наблюдается повышение урожайности хлопка-сырца.

2. Предпосевное намачивание семян растворами солей  $Co^{60}$ ,  $Ca^{45}$  и  $S^{35}$  заметно ускоряет раскрытие коробочек хлопчатника.

Институт агрономии  
и почвоведения

Поступило 11. III 1959

Ч. М. Һүсейнов, Р. Е. Эjjубов

Памбыг гозасынын ачылмасына вэ мәңсулуна ионлашмыш шүаларын тэ'сири

### ХУЛАСЭ

Ионлашмыш шүаларын памбыг биткисинин гозасынын ачылмасына вэ мәңсулуна тэ'сирини өјрәнмек мәгсәдилэ 1957—1958-чи илләрдә векетасија еви шәраптингдэ тәчрубәләр, апарылыштырыр. Тәчрубә учун һәр дубчәјә Учар вэ Гасым Исмаилов раёнларындан көтүрүлмүш 15 кг боз чәмән вэ ачыг шабалыды торпаглар долдурулмушду. Һәр

дубчәјә фон оларг 3 г һесабилә азот вэ фосфор верилмишdir. Экин-дән габаг памбыг тохуму 0,2 вэ 0,5 милликури  $Co^{60}$ ,  $Ca^{45}$  вэ  $S^{35}$  (1 л һесабы илә) мәһлүлунда 12 saat мүддәтиндә сахланылган соңра дубчәкләрә әкилмишdir. Апарылан тәчрубәләрдә памбыг йығымы вэ мәңсул һесаба алыныштырыр. Нәтиҗәдә мүәjjен әдилмишdir. Ки, памбыг тохумуну әкиндән әvvәл зәиф  $Co^{60}$ ,  $Ca^{45}$  вэ  $S^{35}$  мәһлүлларында сахладыгда эн яхшы нәтиҗә (1 л-э) 0,2 милликури  $Co^{60}$  мәһлүлунда сахланан тохум әкилән вариантыларда 3 тәчрубәдән орта һесабла 37%, 0,5 милликури  $Ca^{45}$  (1 л-э) 57%, 0,5 милликури  $S^{35}$  (1 л-э) исә 31% контрола һисбәтән мәңсул артымы алыныштырыр. Бундан башга 4, 5 вэ 6-чы чәдвәлләрин рәгемләрindән көрүндију кими, әкиндән габаг памбыг тохумуну  $Co^{60}$ ,  $Ca^{45}$  вэ  $S^{35}$  мәһлүлларында 12 saat мүддәтиндә сাখламагла памбыгын гозасынын ачылмасы сур'этләнir.

Р. ЭСКЭРОВА

*Leontodon* L. ЧИНСИНИН АЗЭРБАЙЧАНДА ЈЕНИ НӨВҮ

(Азэрбајҹан ССР ЕА академики В. Р. Волобујев тәрәфиндән тәгдим едилемишdir)

*Leontodon talyschensis* Asker sp. nova—*L. asperum* ♂ *Huetii* Boiss., Fl. or., III, 730 (1875), p. p.—*L. Kotschyi*, Липский, Фл. Кавказа, 368 (1899); А. Гросгейм, Фл. Кавк., IV, 228 (1934); Оп. раст. Кавк. 504 (1949); p. p. non Boiss.

Perennis, griseus, pilis breviter stellatis pubescens. Caules 10—20 см alti, pauci, erecti, simplices, interdum a medio furcato-patentes, cylindracei, sulcati, pilis brevissimis dense pubescentes. Folia conescente viridia, rosularia, lanceolata, emarginato-dentata vel emarginato-spathulata, utrinque subtus pilis apice stellatis densius pubescentia. Involucra oblongo-conica, 15—16 mm longa (in florescentia). Involucri phylla canoviridia, pilis brevissimis stellatis pubescentia, ad nervum medium marginemque pilis brevibus crassiusculis rigidis apice stellatis tota superficie tecta, phylla exteriora triangulare lanceolata vel lanceolata, breviora, inferiora anguste lanceolata. Flores ligulati flavi, involucro 1—1,5—polongiores. Achenia 8—10 mm longa, tenuiter cylindracei, apice attenuata, sulcata, breviter aspera. Fl. V—VI, fr. VI—VII.

Habitat in declivitis lapidosis siccis prov. Zuvant.

Typus. Zuvant, in vicinis pag. Kosmaljan in monte Burband, in lapidosis, 23/V 1935 A. Grossheim (Herb. Inst. bot. nom. V. L. Komarov Ac. Sc. Azerbaidsh. R S S, Baku).

Affinitas. A *L. Kotschyi* Boiss. differt pedunculis solidis (non cavis), ad calathidiorum basin non incrassatis, phyllis ad nervum medium marginemque pilis crassiusculis rigidis brevibus stellatis pubescentibus, tota superficie pilis brevissimis stellatis densius tectis.

Чохиллик, боз, сых, гыса, улдузвари түклэрлә өртүлү биткидир. Көвдәси 10—20 см һүндүрлүкдәдир, ики да бир нечә зоглудур, дурандыры, бәсит, бә'зән ортадан начавары будагланандыры, силиндрварыдыры, шырымлыдыры, боздур, јарпаглары адәтән розетка әмәлә кәтирирләр, лансетвары, аралы ојуглудиши да ојуглу-курәкварыдыры, бозумтул-јашылдыры, нәр ики тәрәфдән (ашағыдан даһа сых) улдузвари түклүдүр, гајдасына доғру дараландыры. Сәбәти узунсов-конусварыдыры. Сарғы чох гыса улдузвары түклә өртүлүдүр, ортадамарда вә кәнәрларда јерләшән түкләр исә сәрт, галынлашмыш улдузварыдыры, харичдәки сарғы јарпагчылары үчбучаглы-лансетварыдыры, да нештәрварыдыры, гысадыры, ичәридәки јарпаглар исә дар лансетварыдыры. Дилчиқвары чичәкләри сарғы, сарғы јарпагчылардан

1,5 дәфә узундур, тохумчасы 8—10 мм узунлугда, назик цилиндровары, тәпәснә дөгүр дараландыр, шырымлыдыр, һамар дејилдир. Ч. V—VI, М: VI—VII.

Талышын дашлыг Іамачларында битир. Тип. Зуванд, Космалjan кәндinin әтрафында, Бузбанд дағында, дашлыг јерләрдә, 23. V 1935-чи ил, А. Гурвич, Азәрбајҹан ССР Елмләр Академијасы В. Л. Комаров адына Нәбатат Институтунун һербарисинде (Бакы шәһәриндә) сахланыр.

Тәдгиг едилмиш нұсхәләр.

Ләнкәран рајону, Переимбел кәндinin әтрафы, 8. VI 1938-чи ил, А. Гроссејм, Ләнкәран рајону, Іновери вә Мондыгја (мәчрасында) чайлары арасында, гаяларда, 23. V 1916-чи ил, А. Гроссејм, Ләнкәран рајону, Араи кәндии јахын, кениш, аз mail, шәрг Іамачларда, 9. VII 1931-чи ил, Е. Матвејева, Ләнкәран рајону, Бузачар кәндinin јахын шимал-шәрг Іамачларда, 1700 м һүн, 3. VII 1931-чи ил, Е. Матвејева. Талыш, Дыгја вә Чани кәндләринн арасында, 5500, 14. VI 1894-чу ил, Ломакин.

Гоңумлуг. *L. Kotschyi* Boiss. нөвүндән ашағыдақы хүсусијәтләрилә фәргләнир: чичәк охунун бош олмасы вә сәбәтни әсасында јоғунашмасы илә сарғы јарпагларының орта дамарында вә кәнарында галын улдузвары түкләрин олмасы вә һәмчинин биткинин үмуми түкләнмәсилә.

#### ӘДӘБИЙАТ

1. Гросгейм А. А. Флора Кавказа, IV, 1934. 2. Гросгейм А. А. Определитель растений Кавказа. 1949. 3. Липский В. И. Флора Кавказа (Труды Тифлисского Ботанического сада), вып. IV, 1899. 4. Boissier E. Flora orientalis, III, Genus et Basiliae, 1875.

Нәбатат Институту

Алымышдыр 29. VII 1958

Р. Аскерова

Новый вид рода *Leontodon* L. из Азербайджана

#### РЕЗЮМЕ

При обработке материалов гербария для „Флоры Азербайджана“ был найден новый вид рода *Leontodon* L. Это многолетнее, серое, коротко опущенное звездчатыми волосками растение. Стебли 10—20 см высоты, в числе двух или немногих, прямые, простые, изредка от середины вильчато-разветвленные, цилиндрические, бороздчатые, серые, густо опущенные очень короткими жесткими, на верхушке звездчатыми волосками. Листья серовато-зеленые, в прикорневой розетке, ланцетные, отдаленно выемчато-зубчатые или выемчато-лопастные, с обеих сторон (снизу более густо) опущенные звездчатыми на верхушке волосками, суженные в черешок. Обертки продолговато-конические, очень коротко опущенные звездчатыми волосками, по средней жилке и краю усажены жесткими, толстоватыми, на верхушке звездчатыми волосками, наружные листочки треугольно-ланцетные или ланцетные, более короткие, внутренние—узколанцетные. Язычковые цветки желтые, в 1,5 раза длиннее обертки. Семянки длиной 8—10 мм, тонко цилиндрические, кверху суженные, бороздчатые, коротко шероховатые. Цветет в мае—июне, плодоносит в июне—июле.

Растет на каменистых склонах Талыша.

От *L. Kotschyi* Boiss. наш вид отличается прежде всего цветоножками не полыми и не утолщенными у основания корзинок, наличием толстоватых звездчатых волосков по средней жилке и краям листочек обертки, а также более коротким и густым звездчатым опушением всех частей растения.

З. С. ӘЗИЗБӘЈОВА

#### БӘ'ЗИ ЈЕМ ОТЛАРЫНЫҢ МҮХТӘЛИФ ДУЗ МӘҖЛУЛЛАРЫНДА ШИШМӘ ВӘ ЧҮЧӘРМӘСИ

(Азәрбајҹан ССР ЕА академики Н. Ә. Әлијев тәрәфиндән тәгдим едилшишdir)

Азәрбајҹан ССР әразисинде шорлуғу мүхтәлиф концентрасијалы олан хејли торпаглар вардыр. Һәмин торпагларын тәркибиндәки дузлар јем отлары тохумларының чүчәрмәсинә чох ваҳт манечилик тәрәдирләр.

Тохумларын шишимә вә чүчәрмәси һагында рә'јләр мүхтәлиф дир. Алимләриң бир гисми шишимә просесини халис физики просес кими изаһ едир [6, 8]. Башга бир груп алимин фикринчә шишимә вә чүчәрмә просеси тохумларын һәчмилә әлагәдардыр, белә ки, хырда тохумлар ири тохумлардан даһа чох су чәкир [9, 4]. Бир чох алимләр исә өз тәчрүбәләrinә әсасән белә гәрара қәлмишләр ки, тохумларын шишимәси ән чох тәмиз суда баш верир, дузлу су мәһлүлларында исә шишимә просеси зәйфләјир.

Мәһз буна көрә дә бә'зи јем отлары тохумларының мүхтәлиф концентрасијалы дуз мәһлүлларында шишимә вә чүчәрмә просесинин өјрәнилмәснин мәгсәдәүјүн һесаб едиб, тәчрүбә апармағы лазым билдик.

Тохумларын шишимә сүр'әти тохумун гуру чәкиси илә мәһлүлда сахланыгдан соңракы чәкиси арасында әмәлә кәлән фәрглә изаһ тәнзиф торбалара төкулүр, истәнилән мәһлүллара салыныр.

Тәчрүбә үчүн Вант-Һофф мұвази мәһлүлудан истигада едилшиш дир. Мәһлүлда дуз концентрасијасы 0,01—0,25 молјара гәдәр иди. 72 saat давам, едән тәчрүбәдә шишимә тохумлар һәр 24 saatdan бир дәфә чәкилир. Тохумлар чәкілмәздән әvvәл филтр кағызы васитәсилә тохумлардың дуз мәһлүлү көтүрүлүрдү. Тәчрүбә апарылан отағын температураларда 25°С-дир. Тәчрүбә үчүн көтүрүлән тохумлар:

1. „Дараглы айрыг“.
  2. Йонча.
  3. Суданоту.
  4. Гарғыдалы.
- Тәчрүбәнин нәтижәси 1-чи чәдвәлдә нұмајиши етдирилир. Тәчрүбәнин көрүнүдүү кими, илк саатларда шишимә интенсив, соң چәдвәлдән көрүнүдүү кими, илк саатларда шишимә интенсив, соң 72 saatda алдыгылар исә зәйф кедир. Биринчи 24 saatda тохумлар 72 saatda алдыгылар сујун тәхминән 4/5 ниссәсини алырлар, соңракы иккىнчи вә

Тәчүрбәнин варианты	Исламнадан сора тохумларының чәкиси					
	24 саатдан соңра		48 саатдан соңра		72 саатдан соңра	
Исламдан газдер тохумларының чәкиси	тохумларының чәкиси, %-ла	тохумларының чәкиси, %-ла	тохумларының чәкиси, %-ла	тохумларының чәкиси, %-ла	тохумларының чәкиси, %-ла	тохумларының чәкиси, %-ла
Контрол	1,240	1,620	100	1,720	100	1,720
0,01 мол. дуз	1,240	1,580	97,5	1,683	97,6	1,680
0,05 мол. дуз	1,240	1,560	96,2	1,630	94,7	1,670
0,1 мол. дуз	1,240	1,490	91,8	1,600	93,0	1,640
0,2 мол. дуз	1,240	1,470	90,7	1,590	92,3	1,635
0,25 мол. дуз	1,240	1,450	89,5	1,590	92,3	1,630

Суданоту	Исламнадан сора тохумларының чәкиси					
	Дарагалы айрыг		Селекция јончасы		Суданоту	
Суданоту	Дарагалы айрыг	Селекция јончасы	Суданоту	Дарагалы айрыг	Селекция јончасы	Суданоту
Контрол	0,300	0,460	100	0,480	100	0,480
0,01 мол. дуз	0,300	0,440	99,1	0,460	95,8	—
0,05 мол. дуз	0,300	0,440	99,1	0,460	95,8	—
0,1 мол. дуз	0,300	0,420	91,3	0,440	91,6	—
0,2 мол. дуз	0,300	0,400	86,9	0,400	83,3	—
0,25 мол. дуз	0,300	0,370	80,4	0,370	77	—

Суданоту	Исламнадан сора тохумларының чәкиси					
	Дарагалы айрыг		Селекция јончасы		Суданоту	
Суданоту	Дарагалы айрыг	Селекция јончасы	Суданоту	Дарагалы айрыг	Селекция јончасы	Суданоту
Контрол	0,230	0,510	100	0,530	100	0,550
0,01 мол. дуз	0,230	0,500	98,0	0,530	100	0,545
0,05 мол. дуз	0,230	0,470	92	0,520	98,1	0,530
0,1 мол. дуз	0,230	0,470	92	0,500	94	0,520
0,2 мол. дуз	0,230	0,450	88,0	0,470	88,7	0,500
0,25 мол. дуз	0,230	0,430	84,3	—	—	90,9

Суданоту	Исламнадан сора тохумларының чәкиси					
	Дарагалы айрыг		Селекция јончасы		Суданоту	
Суданоту	Дарагалы айрыг	Селекция јончасы	Суданоту	Дарагалы айрыг	Селекция јончасы	Суданоту
Контрол	5,860	7,500	100	7,790	100	7,990
0,01 мол. дуз	5,860	7,500	100	7,790	100	7,950
0,05 мол. дуз	5,860	7,480	99,7	7,790	100	7,930
0,1 мол. дуз	5,860	7,480	99,7	7,770	99,7	7,910
0,2 мол. дуз	5,860	7,450	99,3	7,750	99,5	7,880
0,25 мол. дуз	5,860	7,370	98,2	7,700	97,0	7,770

Тәчүрбәнин варианты	Бә'зі жем отлары тохумларының мүхтәлиф концентрасиялар дүз мәннелүүндө чүчөлөсөн					
	24.VI 1958		17.VI 1958		19.VI 1958	
Тохумлардын миттери	Суданоту	Дарагалы айрыг	Суданоту	Дарагалы айрыг	Суданоту	Дарагалы айрыг
Контрол	100	34	24	16	3	—
0,01 мол. дуз	100	24	14	14	4	—
0,05 мол. дуз	100	—	—	20	7	5
0,1 мол. дуз	100	—	—	8	10	5
0,2 мол. дуз	100	—	—	4	4	4
0,25 мол. дуз	100	—	—	3	2	1

Тәчүрбәнин варианты	Бә'зі жем отлары тохумларының мүхтәлиф концентрасиялар дүз мәннелүүндө чүчөлөсөн					
	24.VI 1958		17.VI 1958		19.VI 1958	
Тохумлардын миттери	Суданоту	Дарагалы айрыг	Суданоту	Дарагалы айрыг	Суданоту	Дарагалы айрыг
Контрол	100	12	12	26	13	—
0,01 мол. дуз	100	6	4	26	6	—
0,05 мол. дуз	100	4	2	20	6	—
0,1 мол. дуз	100	—	—	2	4	—
0,2 мол. дуз	100	—	—	—	2	—
0,25 мол. дуз	100	—	—	—	—	—

Тәчүрбәнин варианты	Бә'зі жем отлары тохумларының мүхтәлиф концентрасиялар дүз мәннелүүндө чүчөлөсөн					
	24.VI 1958		17.VI 1958		19.VI 1958	
Тохумлардын миттери	Суданоту	Дарагалы айрыг	Суданоту	Дарагалы айрыг	Суданоту	Дарагалы айрыг
Контрол	100	8	72	8	6	—
0,05 мол. дуз	100	—	30	25	28	—
0,1 мол. дуз	100	—	34	25	25	4
0,2 мол. дуз	100	—	20	20	3	2
0,25 мол. дуз	100	—	6	—	—	—

Тәчүрбәнин варианты	Бә'зі жем отлары тохумларының мүхтәлиф концентрасиялар дүз мәннелүүндө чүчөлөсөн					
	24.VI 1958		17.VI 1958		19.VI 1958	
Тохумлардын миттери	Суданоту	Дарагалы айрыг	Суданоту	Дарагалы айрыг	Суданоту	Дарагалы айрыг
Контрол	100	60	25	15	—	—
0,01 мол. дуз	100	63	20	20	20	2
0,05 мол. дуз	100	—	30	30	30	—
0,1 мол. дуз	100	—	—	—	—	—
0,2 мол. дуз	100	—	—	—	—	—
0,25 мол. дуз	100	—	—	—	—	—

Тәчүрбәнин варианты	Гарыштында Газах					
	24.VI 1958		17.VI 1958		19.VI 1958	
Тохумлардын миттери	Суданоту	Дарагалы айрыг	Суданоту	Дарагалы айрыг	Суданоту	Дарагалы айрыг
Контрол	100	—	—	—	—	—
0,01 мол. дуз	100	—	—	—	—	—
0,05 мол. дуз	100	—	—	—	—	—
0,1 мол. дуз	100	—	—	—	—	—
0,2 мол. дуз	100	—	—	—	—	—
0,25 мол. дуз	100	—	—	—	—	—

нәһајет, үчүнчү 24 saatda исә ја чох аз мигдарда вә ја неч су чекмirlэр. Мәсәлән, суданоту контрол варианта биричи 24 saatda өз чекисини 1,240 г-дан 1,620 г-а гәдәр артырыса, јәни 0,380 г су чекирсә, һәмин тохум 48 saat әрзиндә чәмиси 0,480 г су чекир; үчүнчү 24 saatda исә тохумун чекиси 48 saatdan сонракы кими галыр, мәһлүлүн концентрасијасы јүксәк олдугча, тохумларын сүчәкмә габилиjjәти азалыр.

Еjни вәзиijәти јончада, гарғыдалы вә дараглы айрыгда да көрмәк олар. Мүшәнидә үчүн көтүрдүjүмүз тохумлардан үчүнчү 24 saatda эн чох су чекән гарғыдалы иди; дараглы айрыг үчүнчү 24 saatda неч су чекми. Суданоту вә јонча исә бу барәдә аралыг мөвгө тутур.

Тохумлар шишәндән соңра һәссаслыглар артыр. Памбыг тохумунун дузлу торпагда чүчәрмәсими мүшәнидә едән В. А. Бурыгин [2] чүчәрмә просесинин дузлу торпагда 10—15 күн кечдијини сөjlәјир.

Шишмәләрини өjrәndiјимиз тохумларын чүчәрмәсими өjrәnәrkәn мә'лүм олду ки, бүтүн тохумларын чүчәрмә фази мәһлүлдакы дуз концентрасијасындан асылы олараг дәјишир. Мәһлүлдә дуз мигдары артдыгча чүчәрмә фази енир (2-чи чәдвәл).

Гејд етмәлијик ки, тәчрүбә үчүн көтүрдүjүмүз тохумлардан эн јүксәк чүчәрмә фазинә гарғыдалы малик иди. Белә ки, тәркибиндә 0,1 молјар дуз олан мәһлүлдә суданотунун чүчәрмә фази контрола нисбәтән 2 дәфә, дараглы айрығын чүчәрмә сүр'ети контрола нисбәтән зәиф олса да, чүчәрмә фази контрола бәрабәр иди. Чох дузлу (0,25 молјар) мәһлүлдә исә суданоту 10 фаз, дараглы айрыг 0 фаз, јонча 6 фаз чүчәрмә фазинә малик олдуглары һалда, гарғыдалы тохумунун чүчәрмә фази 100 фаз тәшкил едири. Икинчи јери јонча тутурду, дараглы айрыг эн зәиф чүчәрмә фазинә маликди, суданоту исә аралыг мөвгө тутурду.

Апардыгымыз тәчрүбәjә әсасен ашағыдақы нәтичәjә кәлмәк олар.

1. Илк саатларда шишмә интенсив, соңralар исә зәиф кедир.

2. Мәһлүлүн концентрасијасы јүксәк олдугча тохумларын сүчәкмә габилиjjәти азалыр; бунунла әлагәдар олараг чүчәрмә просеси дәләнкијир.

3. Гејд етмәлијик ки, дузлу торпагда күтләви чүчәрмә алмаг үчүн торпағын рүтубәтли олмасы хүсуси әhәmijjәtә маликдир.

4. Бүтүн хырда тохумларын сүчәкмә габилиjjәти ejни дәjildir. Јонча о бириләрә нисбәтән чох су чекәрсә, дараглы айрыг, хырда олмасына баҳмајараг аз су чекир.

5. Јонча хырда олуб чох су чекирсә, гарғыдалы эн јүксәк чүчәрмә габилиjjәtinә маликдир.

Беләликлә, тәчрүбәdән кечирилән тохумлар ичәрисинде эн јүксәк чүчәрмә габилиjjәtinә гарғыдалы, эн аз исә дараглы айрыг, маликдир. Јонча икинчи јери тутур, суданоту үчүн исә аралыг мөвгө сәчијәвидир.

## ЭДӘБИЈАТ

1. Богданов И. В. Потребность прорастающих семян в воде. „Изв. Киевского ун-та”, 1893.
2. Бургин В. А. О некоторых особенностях поведения американского хлопчатника на засоленных почвах Голодной Степи и путях повышения его солестойчивости. Труды УзбекФАН СССР. 1942, серия XI, вып. 5. 3. Иконников Б. А. Нормы засоления, допустимые для различных культур. „Бюллестень по борьбе с засолением почвы”, 1934, № 31.
4. Иконников Б. А. Зависимость набухания от величины семян у пшеницы. Экспериментальная ботаника селекции и генетики, 1916, т. 18.
5. Курбатов В. А., Гликман С. А. Материалы к вопросу о стимуляции. Экспериментальная ботаника селекции и генетики, 1930.
6. Н. Супрін. „Sur la résistance des graines à l'immersion dans l'eau. C. R. № 126, 1898, pp. 1356—1368.
7. О. Janertka

Die ersten Stadien der Kohlen Säureausscheidungen bei quellen den Samen. Cohns Beitz, № 11, 1912, 193—248. 8. M. Heinrich. Der Einfluss der Luftfeuchtigkeit der Wärme und des Sauerstoffs der Luft auf lagerndes Saatgut. L. w. v. st. № 81, 1913 pp. 292—376. 9. Wassergehalt und Quellungswasser einiger samen, L. w. g. st. № 19 1876, pp. 412—419.

Алымышдыр 21.VII 1958

Нәбатат Институту

З. С. Азизбекова

## Набухание и прорастание семян некоторых кормовых трав в солевых растворах

### РЕЗЮМЕ

Изучение набухания и прорастания семян кормовых культур проводилось в уравновешенных растворах Вант-Гоффа. Соли брались в концентрациях от 0,01 до 0,25 молярностей. Для опыта были использованы семена: 1) люцерны селекционной; 2) суданки-черноморки; 3) житняка гребенчатого; 4) кукурузы закатальской.

Контролем служили семена, проращиваемые на дистиллированной воде.

Опыт длился 72 часа, причем через каждые 24 часа набухающие семена взвешивались.

Результаты проведенной работы показали, что особенно интенсивно набухание происходит в начале опыта и ослабевает в процессе его проведения. По мере повышения концентрации солевых растворов поглощающая способность уменьшается. Не все семена имеют одинаковую всасывающую способность: семена бобовых культур всасывают больше воды, чем семена злаковых культур. Из испытанных большей способностью прорастания обладают семена кукурузы, самой же меньшей — житняка гребенчатого, семена суданки-черноморки занимают промежуточное положение.

ПРОТИСТОЛОКИЯ

М. Э. МУСАЈЕВ, А. М. ВЕЈСОВ

АЗЭРБАЙЧАНДА МЕШЭ СҮЛЕЈСИНИ *Dyromyis nitedula* Raill.  
КОКСИДИЛӘРИ

(Азәрбајҹан ССР ЕА академики А. Н. Державин тәрәғүндән тәгдим едилмишdir)

Бизэ мә'лум олан әдәбијатда мешэ сүлејсини коксидиләри һагда анчаг Н. А. Золотарјевин бир иши вардыр [1]. О, Бујнакскда тутулмуш 10 мешэ сүлејсинини коксидиләрә мүајинә етмиш вә онларын һамысында кокси迪 оосистләри тапышдыр. Мүәллиф әдәбијатда мешэ сүлејсиләри коксидиләри һагда мә'лumat тапмадыры үчүн мүәјјән етдији паразитин *Eimeria dyromidis* n. sp. ады илә јени нөв кими тәсвири етмишdir.

Биз 1957-чи илин пајызында Нахчыван МССР әразисинде 5 мешэ сүлејсининдән копрологи материал топламыш вә коксидиләрә мүајинә етмишик. Мүајинә олумыш 5 hejvanын икисинде кокси迪 оосистләри тапышмышдыр, башга сөзлә, инвазијанын екстенсивлиji 40 % тәшкил едир.

Бизим материалларда 2 нөв кокси迪 тапышмышдыр. Ашағыда онларын тәсвири верилир.

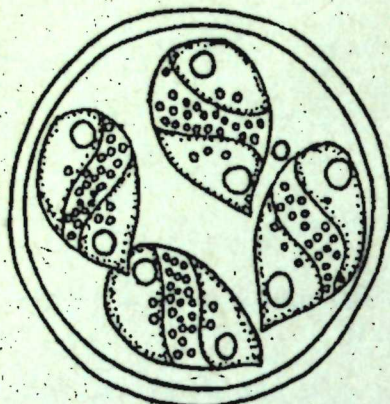
1. *Eimeria dyromidis*, Zolotarjew, 1935.

Оосистләр овал вә надир һалларда кирдә шәкилдә (1-чи шәкил) вә рәнкисиздирләр. Оосист гишасы 1  $\mu$  галыныгда һамар вә 2 контурлудур. Микропиле јохдур. Оосистләрин өлчүләри 2 саһибдән алыныш 33 оосистин өлчүлмәси әсасында мүәјјәнләшдирилмишdir. Кирдә оосистләрин диаметри 20–22  $\mu$ , орта несабла 21  $\mu$ -дур. Овал оосистләрин узунлуғу 16,0–23,75  $\mu$ , орта несабла 23,0  $\mu$ , ени исә 14,0–22,0  $\mu$ , орта несабла 19,15  $\mu$ -дур. Оосистләрин узунлугунун енине нисбәти орта несабла 1,2-дир. Оосистдә галыг чисми јохдур вә 1 әдәд диаметри 1  $\mu$  олан ишыгысындыран гранул вардыр. Спорлар јумурташәкилләр. Онларын узунлуғу 10–13,75  $\mu$ , орта несабла 13,25  $\mu$ , ени исә 6–8,75  $\mu$ ; орта несабла 7,94  $\mu$ -дур. Спорун галыг чисми нарын кирдә дәнәләрдән ибарәтdir. Спорозоитләр армуд шәклиндәдир вә онларын кениш учунда кирдә чисимчик вардыр.

Оосистләрин спорулјасијасы материалы 2,5 %-ли  $-K_2Cr_2O_7$ -дә 25° температурда сахладыгда 48 saat давам едир.

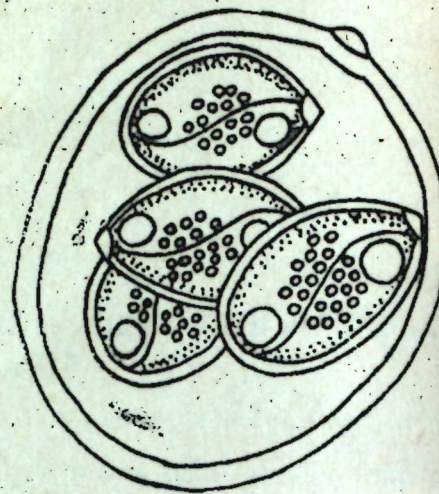
Н. А. Золотарјевин вә бизим материаллар әсасында *Eimeria dyromidis*-ни мүгајисәви дәјишкәнлиji 1-чи чәдвәлдә верилир.

1-чи чөдөлдөн көрүнүр ки, *E. dyromidis* нэгда бизим тэдгигат иетичэлэри Н. А. Золотаревин тэдгигат иетичэлэриндэй бир гэдэр фэрглэнир. Н. А. Золотаревин мэлуматындан фэргли оларг бизим топладыгымыз оосистлээрдэ ишыгсындыран гранул, спорозоитин кениш учунда исэ кирдэ чисимчик вардыр. Чох заман Н. А. Золотарев оосистлэрийн бу хүсүсийтлэрийн көздэн гачыртмышдыр.



1-чи шэкил

*Eimeria dyromidis*  
Золотарев, 1935 оркинал  
1350 дэфэ бөхүдүлмүшдүр



*Eimeria nachitschewanica* n. sp.  
1350 дэфэ бөхүдүлмүшдүр

### Саиби: *Dyromys nitidula* Pall.

Локализасијасы: Оосистлэр бағырсаг мөхтэвијатындан топланмышдыр. Онларын бағырсаын наңсы һиссэсийнде јерлэшдијини тэ'жин етмэк мүмкүн олмамышдыр.

Саибин түтулдуу јер: Дағыстан МССР-ин Калаки кэнди, Нахчыван МССР-ин Ордубад рајону (дағтатэйи зона).

### 2. *Eimeria nachitschewanica* n. sp.

Оосистлэр овал вэ ја овоид шэкилдэ (2-чи шэкил) вэ рэнксиздирлээр. Оосист гишаасы намар вэ 1,25  $\mu$  галынылыгындаадыр. Онун бир учунда микропиле вэ папагчыг вардыр. Оосистлэрийн өлчүлэри 1 саибдэн алынмыш 16 оосистин өлчүлмэси эсасында мүэjjэнлэшдирлилшидир. Оосистлэрийн узуилуу 20,0—26,0  $\mu$ , орта һесабла 24,3  $\mu$ , ени исэ 17,5—20,0  $\mu$ , орта һесабла 18,71  $\mu$ -дүр. Оосистлэрийн узуилуу үүн енинэ нисбэти орта һесабла 1,3-дүр. Оосистлэрийн узуилуу үүн енинэ һындыран гранул јохдур. Спорлар овал шэклиндэдир вэ онларда штид чисимчији јахши көрүнүр. Онларын узуилуу 10,0—12,5  $\mu$ , орта һесабла 11,62  $\mu$ , вэ ени 6,25—8,75  $\mu$ , орта һесабла 7,3  $\mu$ -дүр.

Спорозоитлэр армуд вэ ја веркул шэклиндэдирлээр. Онларын кениш учунда кирдэ чисимчик вардыр. Спорун галыг чисми мүэjjэн формаја малик олмајан хырда ишыгсындыран грануллардан ибарэтдир.

Оосистлэрийн спорулјасијасы материалы 2,5%-ли  $K_2Cr_2O_7$ -дэ 25—30° температурда сахладыгда 72 saat давам едир.

### Саиби: *Dyromys nitidula* Pall.

Локализасијасы: Оосистлэр јоғун бағырсаг мөхтэвијатындан топланмышдыр.

Саибин түтулдуу јер: Нахчыван МССР Шаһбуз рајону Бичэ-нэк кэнди (дағлыг зона). 2-чи чөдөлдэ мешэ сүлејсининдэн алынмыш 2 коксиди нөвү мүгајисэ олуунур.

### E. dyromidis оосистлэрийн мүгајисэви лэјишкэнлиji

Оосистлэрийн эламэтлэри	Н. А. Золотарева көрэ, 1935, Дағыстан МССР	Бизим материаллара көрэ, 1957, Нахчыван МССР
Формасы	овал, бэ'зэн кирдэ, надирэн субсферик	овал, бэ'зэн кирдэ
Рэнки	бөүүклэрдэ јашылтыл-гонур, хырдаарда бозумтул-сары	рэнксиз
Микропиле	Оосистдэ протоплазмын јерлэшмэс	юхдур
Кирдэ оосистлэрийн диаметри	ири дэнэвэр, чох вахт кичик күра шэклиндэ оосистин ливарына јахын топланыр	диффуз јајылмышдыр
Узуилуу	16,2—29,5(22,1) $\mu$	16,0—23,75(23,0) $\mu$
Ени	13,3—23,6(18,6) $\mu$	14,0—22,0(19,5) $\mu$
Кирдэ оосистлэрийн диаметри	14,8—25,1(19,2) $\mu$	20,0—22,0(21,0) $\mu$
Узуилуун енэ нисбэти	1,19	1,2
Галыг чисми	юхдур	юхдур
Ишыгсындыран гранул	юхдур	вардыр
Спорларын формасы	овал	јумуртшэкили
Узуилуу	6,6—11,8 $\mu$	10,0—13,75(13,25) $\mu$
Ени	5,9—9 $\mu$	6—8,75(7,94) $\mu$
Спорда галыг чисимчији	бојук, ири дэнэвэр, сејрэк	хырда, ири дэнэвэр
Спорозоитлэрийн формасы	армудшэкили	армудшэкили, кениш учунда кирдэ чисимчик
Спорулјасија		48 saat

## 2-чи чөдөл

## E. dyromidis вэ E. nachitschewanica n. sp. коксиди нөвәрнийн мүгајисэсүү

Оосистлэрийн эламэтлэри	E. dyromidis	E. nachitschewanica
формасы	кирдэ, овал	oval
Рэнки	јашылтыл-гонур, бозумтул-сары, рэнксиз	рэнксиз
Микропиле вэ папагчыг	юхдур	вардыр
Гиша	намар, 1 $\mu$ галынылыгында 16,2—29,5(22,1) $\mu$ *	намар, 1,25 $\mu$ галынылыгында 20,0—26,0(24,33) $\mu$
Узуилуу	16,0—23,75(23,0) $\mu$	17,5—20,0(18,71) $\mu$
Ени	13,3—23,6(18,6) $\mu$ *	1,3
Узуилуун енэ нисбэти	14,0—22,0(19,15) $\mu$	юхдур
Галыг чисми	1,19—1,2	юхдур
Ишыгсындыран гранул	юхдур	овал, штид чисимчији илэ
Спорларын формасы	вардыр	6,25—8,75(7,3) $\mu$
Узуилуу	овал, јумуртшэкили 6,6—11,8 $\mu$	вардыр
Ени	10,0—13,75(13,25) $\mu$	армудшэкили, кениш учунда кирдэ чисимчик вардыр.
Галыг чисимчији	5,9—9,0 $\mu$ *	72 saat
Спорозоитлэр	6,0—8,75(7,94) $\mu$	
Спорулјасија	48 saat	

\* Н. А. Золотарева көрэ, 1935.

2-чи чэдвэлдэн көрүнүр ки, юни тэсвир олунан нөв *E. dyromidis*-дэн микропиле, папагчыбын олмасы, ишыгсындыран чисимчиин олмасы, спорулжасиа мүддэти вэ бэ'зи өлчүлэринэ көрэ фэрглэнир.

## ЭДЭБИЙЛТ

1. Золотарев Н. А. К вопросу о кокцидиях пушных зверей. Сб. работ Дагестанского протозоологического науч.-исслед. опорного пункта [Северокавказской ВОС и Наркомзема ДАССР, 1935, вып. 1. 2.-Хейси Е. М. Изменчивость ооцист *Eimeria intestinalis* Heissin, 1948, паразита домашнего кролика. *Вест. Ленингр. ун-та*, 1957, № 9, 43—52. 3. Becker E. R. Catalog of Eimeriidae in Genera occurring in vertebrates and not Requiring Intermediate hosts.—Jowa State college Journal of science, 1956, vol. 31, № 1, pp. 85—139. 4. Pellerdy L. Catalogue of the Genus *Eimeria* (Protozoa, Eimeriidae). *Acta veterinaria Academiae scientiarum Hungaricae*, 1956, t. VI, fasciculus I, p. 75—103.

Зоологија Институту

Алышмышдыр 26. VI 1958.

М. А. Мусаев, А. М. Вейсов

Кокцидии лесной сони в Азербайджане

## РЕЗЮМЕ

В доступной нам литературе о кокцидиях лесной сони имеется только одна работа Н. А. Золотарева (1935). Он исследовал 10 лесных сонь, пойманных в Буйнакском районе Дагестанской АССР. Все они оказались носителями кокцидий. Автор описал обнаруженного паразита как новый вид под названием *Eimeria dyromidis* n. sp.

Осенью 1957 г. нами собран копрологический материал и исследован на кокцидии от 5 лесных сонь, обитающих на территории Нахичеванской АССР. Ооцисты кокцидий обнаружены у двух. В наших материалах обнаружены 2 вида кокцидий. Приводим их описание.

1. *Eimeria dyromidis* Zolotarew, 1935.

Ооцисты овальной и редко круглой формы (рис. 1), бесцветные. Оболочка гладкая, двухконтурная, толщина ее 1  $\mu$ . Микропиле отсутствует.

Размеры определены на основании измерения 33 ооцист, полученных от двух хозяев. Диаметр круглых ооцист 20—22  $\mu$ , в среднем 21  $\mu$ . Длина овальных ооцист варьирует от 16,0 до 23,75  $\mu$  и ширина от 14,0 до 22,0  $\mu$ . В среднем длина ооцист  $23,0 \pm 7\mu$  и ширина  $19,15 \pm 7\mu$ . Отношение длины и ширины в среднем 1,2.

Остаточное тело в ооцисте отсутствует. В ооцисте заметна одна светопреломляющая гранула диаметром 1  $\mu$ .

Споры имеют яйцевидную форму, длина спор 10—13,75  $\mu$  (в среднем 13,25  $\mu$ ) и ширина 6—8,75  $\mu$  (в среднем 7,94  $\mu$ ).

Остаточное тело споры состоит из мелких круглых зерен. Спорозоиты грушевидной формы. На расширенном конце имеется круглое тельце.

Споруляция ооцист при сохранении материала в 2,5 %  $K_2Cr_2O_7$  при температуре 25—30° С длится 48 часов.

Сравнительная изменчивость ооцист *E. dyromidis* по данным Н. А. Золотарева и по нашим данным приводится в табл. 1.

Как видно из табл. 1, наши данные по *E. dyromidis* не вполне совпадают с данными Н. А. Золотарева. В отличие от данных Н. А. Золотарева, обнаруженные нами ооцисты оказались бесцветными, в наших ооцистах обнаружена светопреломляющая гранула, на расши-

ренных концах спорозоитов найдено круглое тельце. Вероятно, указанное объясняется недостаточным наблюдением названного автора.

Хозяин. *Dyromys nitedula* Pall.

Локализация. Ооцисты собраны из содержимого кишечника. Более точное их распределение не отмечено.

Место отлова хозяина: Дагестанская АССР, с. Калаки Ордубадского района Нахичеванской АССР (предгорная зона).

2. *Eimeria nachitschevanica* n. sp.

Ооцисты овальной или овощной формы (рис. 2), бесцветные. Оболочка гладкая, толщиной 1,25  $\mu$ . На одном конце заметны микропиле и шапочка.

Размеры определены на основании измерения 16 ооцист, полученных от одного хозяина. Длина ооцист варьирует от 20 до 26  $\mu$  и ширина—от 17,5 до 20  $\mu$ . В среднем длина ооцист 24,33  $\mu$  и ширина  $18,71 \pm 7\mu$ . Отношение длины и ширины в среднем 1,3.

Остаточное тело и светопреломляющая гранула отсутствуют.

Споры имеют овальную форму, с хорошо выраженным штиловским тельцем. Длина спор 10—12,5  $\mu$  (в среднем 11,62  $\mu$ ) и ширина 6,25—8,75  $\mu$  (в среднем 7,3  $\mu$ ).

Спорозоиты грушевидной (запятовидной) формы. На расширенном конце имеется круглое тельце. Остаточное тело споры состоит из мелких светопреломляющих гранул, не собранных в оформленную массу.

Споруляция ооцист в 2,5 %  $K_2Cr_2O_7$  при температуре 25—30° С длится 72 часа.

Хозяин. *Dyromys nitedula* Pall.

Локализация. Ооцисты найдены в просвете толстого отдела кишечника.

Место отлова хозяина: с. Биченаг Шахбузского района Нахичеванской АССР (горная зона).

В табл. 2 сравниваются 2 вида кокцидий, выделенные от лесной сони.

Как видно из табл. 2, описанный вид отличается от *E. dyromidis* отсутствием светопреломляющего тельца, наличием микропиле с шапочкой, сроками споруляции и по некоторым размерам ооцист.

ФИЗИОЛОГИЯ

А. И. ГАРАЕВ, А. Һ. ДАДАШОВ

**НІПОТЕРМИЈАНЫН ИНТЕРОСЕПТИК МҰБАДИЛӘ  
РЕФЛЕКСЛӘРИНӘ ТӘ'СИРИ**

Ніпотермија заманы интеросептик мұбадилә рефлексләринин вәзијетини өјрәнмәк мүһум мәсәләләрдән биридир.

Әдәбијатда олан мә'лumatдан көрүнүр ки, [9, 11, 12, 13, 14] ніпотермија заманы организмдә маддәләр мұбадиләсі әvvәllәr гүввәтләнir, сонрадан исә зәйфләjir. Лакин бу процессин механизми иниjә гәдәр ажыны деjildir. Апардығымыз тәдгигатларын інтичәләри ejни заманда бу һадиссенин механизмини аждылашдырмаг үчүн jени материялдары.

Тәчрүбәләrimiz мединал наркозу алтында олан 30 пишик үзәриндә апарылмышдыр. Мединал гарын бошлуғуна 0,1 г/кг дозада (10 %-ли мәһиүл һалында) вурулду. Дұз бағырсағ рецепторлары онун ампула һиссесинә јеридилмиш хүсуси ғовугчугда тәzіjиги 100 мm чивә сүтүнана гәдәр галдырмагла бир дәғиге мұддәтинде гычыгландырылды. Шәkәr вә суд туршусуну мигдарыны тә'jин етмәк үчүн ган үмуми жуxу артеријасына кечирилмиш шүшә канюлијадан иki дәfә гычыгландырмаја гәдәр, гычыгландырылан кими вә ондан 5, 15, 30 вә 60 дәғиге сонра алынды (шәkәr һақедори-Иенсен, суд туршусу Браунштеjn үсуллары илә тә'jин едилмишdir.

Дұз бағырсағдан алынан интеросептик мұбадилә рефлексләринин хүсусијетини тә'jин етдикдән соңra һeјванда P. M. Старковун тәклиф етди сојудучу ѡрган васитәсилә һипотермија һарадылды. Лакин дөвр едән сујун температуру јұксек олдуғуңдан, биз, ичәрисинә бузла дұз гарышығы төкүлмүш жастыглар илә һeјваны бүрүмәкдән истифадә етдик. Тәхминән бир saat мұддәтинде һeјванда истәдијимиз температура ала билирдик.

Дұз бағырсағда температур 4—10 дәрәчә ашағы дүшдүкдән соңra интеросептик мұбадилә рефлексләринин вәзијетини ejни гаjда илә bir даha тәдгиг етдик.

1-чи чәдвәлдән көрүнүр ки, бәдән температурунун азалмасы ғанын шәkәr сәвиijәсини дәjiшdirir. Белә ки, апарылмыш 30 тәчру-бадән 21-нндә (1, 2, 3, 6, 7, 10, 11, 12, 13, 14, 15, 17, 18, 19, 21, 23, 24, 26, 28, 29, 30 №-ли тәч.) ғанын шәkәr сәвиijәси јұксалиш, 6 тәч-рүбәдә (8, 9, 16, 20, 22, 25) ашағы енмиш, 3 тәчрүбәдә исә (4, 5, 27) демәк олар ки, нәзәрә чарпағаг дәjiшиклиjә уғрамамышдыр.

Бу чәдвәлдә верилмиш дәlliлләри анализ етсәk, мә'лum олар ки, һипотермија гәдәр дұз бағырсағ рецепторларынын гычыгландырыл-

чыгландырылмасындан гана шәкәрин мигдарының дәлишмәсі ( $m_2$  % несабилә)

масы 30 тәчрубәдән 17-индә (1, 4, 5, 6, 9, 13, 14, 15, 17, 19, 21, 23, 24, 25, 26, 28 вә 30) шәкәр сәвијјәсинан 7—86 % артмасына, 13 тәчрубәдә исә (2, 3, 7, 8, 10, 11, 12, 16, 18, 20, 22, 27, 29) 9—50 % азалмасына сәбәб олур.

Нипотермија заманы дүз бағырсаг ресепторларынын гычыгландырылмасы 15 тәчрүбәдә (3, 5, 6, 8, 10, 11, 12, 15, 16, 18, 20, 22, 23, 26, 29) шәкәр сәвијјәсинин 14—48 % артмасына, 6 тәчрүбәдә (1, 2, 13, 25, 29, 30) 11—39 % азалмасына вә 9 тәчрүбәдә (4, 7, 9, 14, 17, 21, 24, 27, 28) арефлексија налларынын әмәлә кәлмәсинә сәбәб олур. Нипотермија заманы 2, 5, 6, 9, 14, 15, 17, 21, 23, 24, 26, 27, 28 №-ли тәчрүбәләрдә дүз бағырсаг ресепторларынын гычыгландырылмасы ганын шәкәр сәвијјәсинин нормаја нисбәтән аз дәјишимәсинә, 1, 3, 4, 7, 8, 10, 11, 12, 13, 16, 18, 19, 20, 22, 25, 29 вә 30 №-ли тәчрүбәләрдә исә нормаја нисбәтән әкс нәтижәләрин алымасына сәбәб олур.

2-чи чәдвәлдән көрүнүр ки, бәдән температурунун азалмасы заманы 17 тәчрүбәдән 5-инде (6, 8, 10, 29, 30) суд туршусу артмыш, 10 тәчрүбәдә (4, 5, 9, 18, 20, 21, 24, 25, 27, 28) азалмыш, 2 тәчрүбәдә исә (7, 14) демәк олар ки, кәзәрә чарпаңаг дәјишиклијә уграма-мышдыр.

мышдыр. Ҳипотермијаја гәдәр дүз бағырсағ ресепторларынын гычыгланда-  
рылмасы 26 тәчрүбәдән 13-үндө (4, 5, 6, 8, 9, 10, 14, 20, 21, 27, 28,  
29, 30) ганын сүд туршусу сәвијјәсинин 19—89 % ўксәлмәсінә, 4 тәч-  
рүбәдә исә (7, 18, 24, 25) эксинә 26—42 % азалмасына сәбәп олмуш-  
дур. Дүз бағырсағ ресепторларынын гычыгланда-рылмасы иәтичесинде  
ганын сүд туршусу сәвијјәсіндә мұшақидә едилән бу дәжишикликкләр  
эксер тәчрүбәләрдә бир saatдан соңра өз башланғыч сәвијјәсина гајы-  
дыр. Ҳипотермија заманы дүз бағырсағ ресепторларынын гычыглан-  
да-рылмасы 17 тәчрүбәдән 8-инде (7, 9, 18, 20, 27, 28, 29, 30) ганда  
сүд туршусунун мигдарынын 20—50 % артмасына, 8 тәчрүбәдә (4, 5,

6, 8, 10, 14, 24, 25) экслүйе, 20—25 % азалмасына, 1 тәчрүбәдә исе (21) арефлексија налының әмәлә көлмәсисиң сәбәб олур.

Дүз багырсаң ресепторларының гычыгандырылмасы иәтичесинде ганың шәкәр сәвијјәсінде әмәлә қолған јұксәлмәни интероресептик стимулјасијаны симпатик синир системини иша салмасы, ашагы енмәсіни исә парасимпатик тә'сирләрин гүйгілділіктерінде изай өтмек олар. Бу иәтичеләр, мұхтәлиф рефлексокен саңеләрдән алынаң иәтичеләре тамамина мұвағиғидир (1, 2, 5, 6, 7, 8, 10).

Түнштермија замани интересентик мубадилә рефлекселәринин бојуклүгү жели из олмуш, бә'зән рефлексләр экстэрәфә ингираф етмиш, бәзән дә арефлекссија налларына тәсадүф едилмишидир. Түнштермија замани интересентик мубадилә рефлекселәринин бә'зән экс тәрәфә ингираф етмәсими бәдәндә симпатик вә парасимпатик синир системаләrinин үстүнлүгүнү дәжишмәсилә изаш етмәк олар (А. И. Гараев). Симпатик синир системи үстүн олан, она корә дә интересенторларының гычыгланырылмасына шәкәр сәвијјесинин чохалмасы илә чаваб верди организм түнштермија иотичәсендә парасимпатик синир системи үстүн олан организмә чөврилир вә она корә дә интересенторларының гычыгланырылмасына шәкәр сәвијјесинин изалмасы илә чаваб верири. Бу синир системаләри елни үстүнлүкдә олдуругда исә, биз, чаваб алмырыг (арефлекссија).

Демак, һипотермија замани организмдэ бүгүн рефлектор реакцијалар зэифлэдiji үкими, мүбадилэ рефлекслэри дэ зэнфлэжир, бэ'зэн эхе рефлекслэрэ чөврiliр, бэзэн дэ арефлексија алынир. һипотермија организминекетатив синир системини нээлийгтийн дэжившидир.

ЭДЭВИЈЈАТ

1. Аллахвердибеков Г. Б., Багиров С. Н., Тагдиси Д. Г. Сдвиги некоторых биохимических элементов в крови при искусственной гипотермии. "Азербайджанский медицинский журнал", 1958, 6, 2. Ачкасова Т. А. Углеводный обмен при местном охлаждении. "Вопросы экспер. биол. и мед." 1962, 2, 3. Вайнберг И. С. Роль первичной системы терморегуляции. М., 1943. 4. Варман И. Г. Время кровотока в условиях гипотермии, изменение объема селезенки и почек в условиях гипотермии, объемная скорость кровотока в некоторых внутренних органах в условиях гипотермии. В кн.: "К проблеме острой гипотермии". Медгиз, 1957. 5. Гасанов Г. Г. Изменение безусловных иннервационных рефлексов с желудка при различиях функциональных состояниях коры больших полушарий головного мозга, иззванных различными спонтанными веществами. "Тр. Сектора физиологии", т. II, Баку, 1968. 6. Ладашов А. Г. Иннервационные безусловные обменные рефлексы при истериизисе. "Ученые записки АГУ" 1958, 11, 7. Ладашов А. Ш. Иннервационные безусловные обменные рефлексы с тонких книшок при истериизисе. "Труды аспирантов АГУ", 1957. 8. Карабов А. И. Иннерваторы и обмен вещества. "Изв. АН Азерб. ССР", 1953, 12, 9. Кузнецова Э. Н. Изменение газообмена при однократном и многократном переохлаждении организма кроликов. В кн.: "К проблеме острой гипотермии". Медгиз, 1967. 10. Логинов А. А. Влияние раздражения иннерваторов на сахар крови при различных состояниях углеводного обмена. "Изв. АН Азерб. ССР", 1954, 12, 11. Старков Н. М. К проблеме острой гипотермии. Медгиз, 1967. 12. Дитт D. B. и Готье W. H. Amer. Journ. of Physiol., 1943, vol. 140, p. 20, 19. Варбиц Н. О., J. MCKey, a. Griffith, W.P. Amer. Journ. of Physiol., 1943, vol. 140, p. 9-10.

Л. И. Карап, В. Г. Дадашев

## Влияние гипотермии на интероцептивные обменные рефлексы

PESIOME

В рецензируемой статье излагаются результаты опытов, посвященных изучению состояния углеводного обмена и инteroцентивных обменных рефлексов при понижении температуры тела на  $4-10^{\circ}$ .

Опыты ставились на 30 здоровых кошках под медиаловым наркозом; раздражение рецепторов в прямой кишки производилось повышением давления до 100 мм рт. ст. в течение одной минуты через баллончик, вставленный в ее ампульную часть. Гипотермия достигалась методом холодовых одеял, предложенным П. М. Старковым. Из компонентов углеводного обмена определялось количество сахара (по методу Хагедорна—Иенсена) и молочной кислоты (по методу Браунштейна) в крови.

Кровь для анализа бралась из стеклянной канюли, вязанной в общую сонную артерию до раздражения, затем сразу же и через 5, 15, 30 и 60 минут после него. Характер интероцептивного безусловного обменного рефлекса у одного и того же животного изучался до и при состоянии гипотермии.

Проведенные исследования показали, что до гипотермии раздражение рецепторов прямой кишки в большинстве случаев вызывает повышение уровня сахара и молочной кислоты в крови.

При гипотермии уровень сахара в крови в большинстве случаев увеличивается, а уровень молочной кислоты снижается.

В условиях гипотермии в большинстве случаев величина интероцептивных обменных рефлексов снижается, в некоторых случаях появляются извращенные рефлексы, в незначительной части случаев отмечается арефлексия. Предполагается, что охлаждение организма изменяет состояние его вегетативной нервной системы.

Ш. К. ТАГЫЕВ

КОЈЭРЧИНЛӘРДӘ БАГЫРСАГ РЕСЕПТОРЛАРЫНЫН  
ГЫЧЫГЛАНДЫРЫЛМАСЫ ЗАМАНЫ ГАНИН ШӘКӘР  
СӘВИЙЈЭСИНИН РЕФЛЕКТОР ДӘЖИШМӘСИ

(Азәрбајҹан ССР ЕА академики А. И. Гарајев тәрәғүндөн тәгдим едилемишdir)

Шәрти вә шәртсиз интеросентик рефлексләрни өјрәнилмәснә дәир әдәбијатда кенин мә'лumat вардыр.

К. М. Быков, Е. М. Аյрапетянс, В. И. Чернитовски вә онун әмәк-дашыларынын ашардыглары тәдгигатлар иетищесидә мә'дә-багырсаң системинин, сидик кисәсинин, бојрәкләрин, ган довраны системи үзүләринин, тәнәффүсун вә с. интеросентик рефлексләри лазымынча өјрәнилмишdir. Рефлектор тәбиәтли мубадилә просесләри исә өз өјрәнилмишdir [2, 4, 5 вә 6].

А. И. Гарајев вә әмәкдашларынын ишләри (1952—1957) мұхтәлиф дахили үзүләрни (мә'дә, сидик кисәсін, дүз вә јогу) багырсаң, од кисәсін вә с.) ресепторларынын гычыгландырылмасы заманы сулукарбон мұбадиләсінин мұхтәлиф компонентинин рефлектор дәжишмәсін көстәрмишdir.

Мубадилә рефлексләрниң мұғајисәли тәдгиг едилемәсі мұхтәлиф групп һејванларының синир системинин инкишифыны характеризә етмәк үчүн бояук әһәмийжәт кәсеб еди. Дикәр тәрәфдән мұхтәлиф һејван группаларында мубадилә просесләринин динамикасынын өјрәнилмәсін базим просесин рефлектор механизми барасында тәсәввүрмүзү тамлашдырмаг үчүн имкани јарадыр. Буин нәзәрә алараг А. Гарајевниң рәһбәрлијилә фәгәрәли һејванларының мұхтәлиф группаларында ганың шәкәр мигдарының шәрти вә шәртсиз рефлектор дәжишмәсін динамикасыны өјрәнімәни гарышымыза мәгсәд ғојдуг.

Мәғаләдә, биз, којәрчинләрни дүз багырсаң ресепторларының гычыгландырылмасы заманы ганың шәкәр мигдарының рефлектор дәжишмәсіндән алынан мә'лumatлары көстәририк. Тәдгигат 15 којәрчин үзәринде авариялымышдыр.

Шәртсиз гычыг кими дүз багырсаң импуласының јеридилмини балоң дахилинде 1 дәғиге мүлдәтнинде тө'сир едән 40—60—80 мм чиңә сүтүнүна бәрабәр наға тәэжигинидән истифадә едилемишdir.

Гана шәкәрин мигдары һақедори-Иенсен үсулу илә тө'зин едилемишdir. Анализ үчүн ганыңадалтынендан гычыгдан әввәл, (башлангыч иззижжәт) гычыгландырылған кими вә гычыгландырылған 5, 15, 30, 60 дәғиге соңра, 0,1 ма мигдарында котүрүлмүшидүр.

## Тәдгигатын иәтичәләри

Бүтүн көјәрчиниләрдә әввәлчә балонун дүз багырсаға јеридилмәси вә орада саҳланылмасынын ганын шәкәр мигдарына тә'сири Өјрәнилмишdir. Нәтичәдә бүтүн көјәрчиниләрдә балонун јерләшдирилмәси ганда шәкәр сәвијјәсниниң башлангыч вәзијјәтә нисбәтән азалмасыны көстәрмишdir. Бу дәјишиклик әсас балон јеридилән кими 5—15-чи дәгигәләрдә мүшәнидә едилмишdir. Биринчи дәфә балонун јеридилмәси заманы ганын шәкәр сәвијјәсниниң дәјишимәси бүтүн көјәрчиниләрдә орта несабла 11—36 % олмушdur.

Көјәрчиниләрин әксәрийјәтindә балон јеридилдикдән 30 дәгигә сопра ганын мигдары шәкәр бәрпа олараг өз башлангыч сәвијјәснине чатыр.

Бә'зи көјәрчиниләрдә бәрпа дөврү 40—60 дәгигә олур. Балонун тәкrap јеридилмәси (тәзҗиги балон дахилиндә артырмада) заманы бүтүн көјәрчиниләрдә ганын шәкәр мигдарында эмэлә кәлән азалма онун биринчи јеридилмәснindән аз олмушdur. Ыэмчинин бу заман ганын шәкәр мигдарынын бәрпа олумасы биринчи јеридилмәже нисбәтән даһа тез башлангыч сәвијјәснине чатыр.

Балонун тәкrap јеридилмәси заманы ганын шәкәр сәвијјәснинde мүшәнидә едилән дәјишиклик 10—15 мг % олмушdur.

Алышан иәтичәләре әсасланараг, биз, балонун дүз багырсаға јеридилмәснindән 60 дәгигә сопра әсас тәдгигата башладыг. Әсас тәчрүбәләрдә биринчи дәфә тәтбиғ едилән гычығыны оптимал гуввәснин тә'жин етмәк үчүн биз ашағы тәзҗиг гуввәләрнindә истифадә етдик. 9 көјәрчинидә дүз багырсағ ресепторларыны 40 мм чивә сүтунина бәрабәр тәзҗиглә гычыгандырылдыг. Бу серија тәдгигатларын иәтичәси 1-чи чәдвәлдә көстәримлишdir.

### 1-чи чәдвәл

Көјәрчиниләрдә дүзбагырсағ ресепторларыны 40 мм чивә сүтунина бәрабәр тәзҗиглә 1 дәгигә гычыгандырылмасы заманы ганын шәкәр мигдарынын (мг %-лә) дәјишимәси

Көјәрчиниләрин №-си	Larva derej derej	Гычыгандырмадан сопра					Makro er-% ekspeler Makro er-% ekspeler
		Іәминн дәгигә	5 дәг.	15 дәг.	30 дәг.	60 дәг.	
1	134	—	164	157	159	134	+22
2	132	113	138	152	131	141	+15
3	163	188	184	177	181	163	+15
4	120	122	152	154	125	120	+28
5	124	124	132	141	155	113	+25
6	168	181	188	195	190	179	+16
7	179	191	195	209	195	159	+16
13	146	155	163	166	154	145	+14
14	134	159	159	124	150	155	+19

1-чи чәдвәлдән көрүндүү кими дүз багырсағ ресепторларыны 40 мм чивә сүтунина бәрабәр тәзҗиглә гычыгандырылмасы бүтүн көјәрчиниләрдә ганын шәкәр мигдарынын артмасына сәбәб олмушdur.

Бу дәјишиклик әсас е'тибарилә 5—15 вә 30-чу дәгигәләрдә мүшәнидә едилмишdir.

Ганын шәкәр мигдарында максимал артма башлангыч сәвијјәже нисбәтән 16—28% арасында олмушdur. Ганын шәкәр мигдарынын 14—16% артмыгы көјәрчиниләрдә ганын шәкәр мигдарынын 19—25% артмыгы көјәрчиниләрә нисбәтән шәкәрин мигдары өз башлангыч сәвијјәснине даһа тез гајыдыр.

11 көјәрчинидә дүз багырсағ ресепторлары 60 мм чивә сүтунина бәрабәр тәзҗиглә гычыгандырылмасы.

Тәдгигатын иәтичәси 2-чи чәдвәлдә көстәримлишdir.

### 2-чи чәдвәл

Көјәрчиниләрдә дүз багырсағ ресепторларыны 60 мм чивә сүтунина бәрабәр тәзҗиглә 1 дәгигә мүддәтнindә гычыгандырылмасы заманы ганын шәкәр мигдарынын (мг %-лә) дәјишимәси

Көјәрчиниләрин №-си	Larva derej derej	Гычыгандырмадан сопра					Makro er-% ekspeler Makro er-% ekspeler
		Іәминн дәгигә	5 дәг.	15 дәг.	30 дәг.	60 дәг.	
2	170	166	154	146	152	163	+14
4	152	148	155	163	159	150	+7
5	148	145	163	139	115	143	+10
6	139	152	148	141	191	179	+37
7	134	131	92	131	117	120	+31
8	166	213	206	179	195	170	+28
9	173	195	193	286	173	172	+65
11	163	163	200	150	159	110	+23
12	127	131	99	70	95	102	+45
13	134	155	155	131	132	124	+16
15	163	148	152	148	127	—	+22

2-чи чәдвәлдән көрүндүү кими, бә'зи көјәрчинидә (№1,5, 7, 12, 15 ганын шәкәр мигдары онун азалмасына догру дәјишилмишdir. Башгалиарында исә (№4, 8, 9, 11, 13) онун артмасына догру дәјинир.

Ганын шәкәр мигдарында эмэлә кәлән бу рефлектор дәјишиклик, көрүнүр, мәркәзи синир системини тишиндән асылыптыр. Буна көрә дә дүз багырсағ ресепторларыны 60 мм чивә сүтунина бәрабәр тәзҗиглә гычыгандырылмасы бә'зи көјәрчиниләрдә ганын шәкәр мигдарынын артмасына, бә'зисинде исә азалмасына сәбәб олур. 6 Көјәрчинидә (№2, 4, 6, 7, 13, 14) бә'зисинде 5 тәчрүбә олмаг несаби илә) интересесенторлар 80 мм чивә сопра бәрабәр тәзҗиглә гычыгандырылмасы. Алышан иәтичәләр 3-чу чәдвәлдә көстәримлишdir.

### 3-чү чәдвәл

Көјәрчиниләрдә дүз багырсағ ресепторларыны 80 мм чивә сүтунина бәрабәр тәзҗиглә 1 дәгигә мүддәтнindә гычыгандырылмасы заманы ганын шәкәр мигдарынын (мг %-лә) дәјишимәси

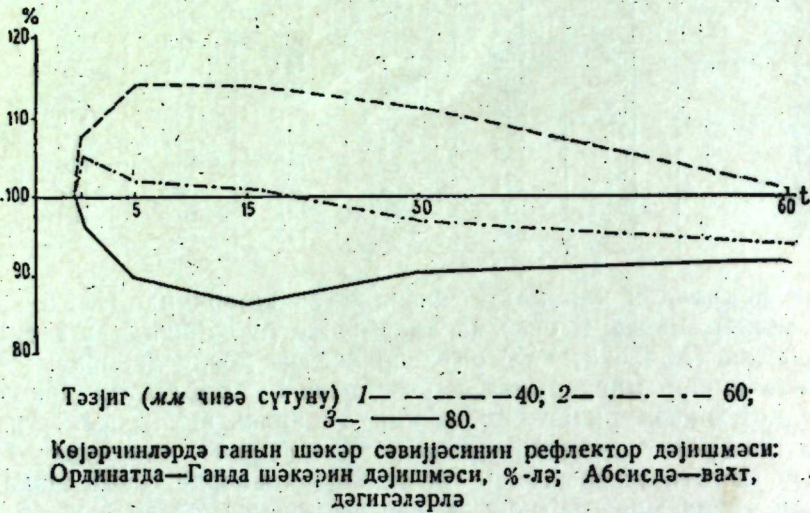
Көјәрчиниләрин №-си	Larva derej derej	Гычыгандырмадан сопра					Makro er-% ekspeler Makro er-% ekspeler
		Іәминн дәгигә	5 дәг.	15 дәг.	30 дәг.	60 дәг.	
2	163	159	150	145	132	—	-20
4	131	113	127	84	120	129	-36
6	131	145	124	119	136	127	-10
7	202	159	145	163	163	166	-128
13	145	163	127	127	134	152	-12
14	166	166	170	146	145	145	-12

Чәдвәлдән көрүндүү кими бу гычыг бүтүн көјәрчиниләрдә ганын шәкәр мигдарынын азалмасына сәбәб олмушdur.

Бу тәдгигатда ганын шәкәр мигдарында эн чох азалма гычыгандырмадан 5—15 дәгигә сопра мүшәнидә едилтир.

Көјәрчинләрдә ганын шәкәр мигдарында алдығымыз бу рефлектор дәјишиклийн динамикасы А. И. Гарајев вә әмәкдашларының тәдгигат ишләринин нәтичәләринә уйғундур.

Жұхарыдақы чәдвәлләрә әсасен дүзәлдилмиш әјридән көрүндују кими, көјәрчинләрдә ганын шәкәр мигдарында әмәлә кәлән бу рефлектор дәјишиклик тәтбиғи едилән гычығын гүввәсіндән асылыдыр. Шәкилдән көрүндију кими, көјәрчинләрдә бағырсағ ресепторларының 40 мм чивә сүтунуна бәрабәр тәзілгә гычыгандырылмасы ганын шәкәр мигдарының артмасына 60 мм чивә сүтунуна бәрабәр тәзілгә гычыгандырылмасы бә'зи көјәрчинләрдә онун артмасына, бә'зиләрдиндә исә азалмасына, 80 мм чивә сүтунуна бәрабәр тәзілгә гычыгандырылмасы бүтүн тәчрубләрдә ганын шәкәр мигдарының азалмасына сәбәб олмушдур.



Көјәрчинләрдә ганын шәкәр сәвијјәсінин рефлектор дәјишимәсі:  
Ординатта—Ганда шәкәрин дәјишимәсі, %-лә; Абсисда—вахт,  
дәгигеләрдә

А. И. Гарајев [3] ени гычыға гаршы мұхтәлиф чаваб реаксијасынын алымасыны рефлектор аппаратын мұхтәлиф һисијата малик олмасы илә изаһ едир.

Бизим тәдгигатымызда гычығын гүввәсіндән асылы оларға ганын шәкәр мигдарында әмәлә кәлән дәјишиклик, јә'ни бә'зән шәкәрин артмасы, бә'зән дә азалмасы сулукарбонлар мұбадиләсінин синир-һуморал тәнзимини нәзәрә алмагла, белә фәрз етмәк олар ки, икинчи һалда, јә'ни дүз бағырсағ ресепторларын 80 мм чивә сүтунуна бәрабәр тәзілгә гычыгандырылмасы бағырсағ ресепторларының һәддән артыг ојанмасына сәбәб олур ки, бу да адреналин-инсулиндар системасында ганын шәкәр сәвијјәсінә тормозлајычы тә'сир көстәрир. Бириңчи һалда исә бағырсағ ресепторларының гычыгандырылмасы (40–60 мм чивә сүтунуна бәрабәр) адреналин-инсулиндар системин ојанмасына сәбәб олур ки, бу да ганын шәкәр мигдарының чохалмасына шәраит җарадыр.

Көјәрчинләрдә балонун јеридилмәсі заманы ганын шәкәр мигдарында әмәлә кәлән азалма, көрүнүр, тәкчә интеросепторлар вә онларын гычыгандырылмасы илә әлагәдар дејил, клоакоэтрафы екстероресепторларын гычыгандырылмасы илә әлагәдардыр. Бу, бир дә алыман рефлексин тәкрапы нәтичәсіндә азалмасындан көрүнүр. Бириңчи дәфә балонун јеридилмәсі заманы ганын шәкәр сәвијјәсіндәки дәјишиклик (азалма доғру) 25–40 мг% олдуғу һалда, балону 4–5 дәфә јеритидән соңра бу фәрз 10–15 мг%-дән жуҳары олмур. Бу сурәтле адаптасыаулұма анчаг екстероресепторларға аид ола биләр.

Апарылан тәдгигатлардан бу нәтичәләрә кәлдик.

1. Көјәрчинләрдә бағырсағ ампуласы ресепторларының гычыгандырылмасы ганын шәкәр сәвијјәсінин рефлектор дәјишимәсінә сәбәб олур.

2. Бу дәјишиклик нә гәдәр соң олурса, бир о гәдәр дә узун мүддәт сахланылып.

3. Көјәрчинләрдә бағырсағ ампуласының ресепторларының гычыгандырылгыда ганын шәкәр сәвијјәсінде әмәлә кәлән рефлектор дәјишиклик тәтбиғи едилән гычығын гүввәсіндән асылыдыр. 40 мм чивә сүтунуна бәрабәр тәзілгә гычыгандырылмасы бә'зи көјәрчинләрдә онун артмасына, бә'зиләрдиндә исә азалма, 80 мм чивә сүтунуна бәрабәр тәзілгә гычыгандырылмасы бүтүн тәчрубләрдә ганын шәкәр мигдарының азалмасына сәбәб олмушдур.

### ӘДӘБИЛЛАТ

1. Айрапетъяц Э. Ш. Высшая первая деятельность и рецепторы внутренних органов. М.—Л., 1952.
2. Быков К. М. Кора головного мозга и внутренние органы. М.—Л., 1957.
3. Карадеев А. Н. Интерорецепторы и обмен веществ. Баку, 1957.
4. Ольянская Р. П. Кора головного мозга и газообмен. М., 1950.
5. Риккль А. В. Рецепторная функция желез внутренней секреции. «Бюлл. эксперим. биол. и мед.», 1943, № 4–5.
6. Слонкин А. Д. Животная теплота и ее регуляция в организме млекопитающих. 1952.
7. Черниковский В. Н. Исследование рецепторов некоторых внутренних органов. Сб. «Нейрогуморальная регуляция деятельности органов и тканей», М., 1941.

Физиология белмәсі

Алымышдыр 22. VI 1958

Ш. К. Тагиев

### Безусловнорефлекторный сдвиг уровня сахара в крови у голубей при раздражении рецепторов кишечника

#### РЕЗЮМЕ

Работами А. И. Карадеева и его сотрудников показано, что раздражение рецепторов различных внутренних органов приводит к рефлекторному сдвигу уровня различных компонентов углеводного обмена. Целью нашего исследования явилось изучение динамики рефлекторного сдвига уровня сахара в крови у животных, стоящих на различных ступенях филогенетического развития.

В резюмируемой статье приведены данные, характеризующие динамику безусловнорефлекторного изменения уровня сахара в крови у голубей. Опыты проводились на 15 голубях. В качестве безусловного раздражителя применялось давление, создаваемое в ампуле кишечника путем раздувания резинового баллончика до 40, 60, 80 мм рт. ст. в течение 1 мин. Показателем состояния рефлекторного эффекта служил сдвиг уровня сахара в крови. Последний определялся по методу Хагедорна—Иенсена. Кровь для определения в ней сахара бралась из подкрыльевой вены по 0,1 мл до (для определения исходного уровня сахара) и после раздражения сразу же и через 5, 15, 30, 60 мин. Результаты опытов показали, что раздражение рецепторов ампулы кишечника у голубей приводит к рефлекторному сдвигу уровня сахара в крови.

Величина отмеченных сдвигов зависит от силы применяемого раздражителя. При давлении 40 мм рт. ст. отмечается сдвиг сахара в сторону его повышения. При давлении 60 мм рт. ст. рефлекторный сдвиг сахара в крови у одних особей повышается, а у других снижается. Раздражение же давлением 80 мм рт. ст. приводит к снижению уровня сахара в крови.

## МҮНДЭРИЧАТ

### *Ruجازијат*

Э. С. Чәфәров. Функцияларын чохһеддиләр васитәсилә ән јахши чекили мүнтәзәм јахынашмасы һагында . . . . . 459

### *Физика*

А. Г. Абасзадә, С. К. Ахуидов. Азәрбајчаның бә’зи тикнити материалдарының истилик параметрләринин тә’јини . . . . . 463  
З. А. Элијарова, П. Л. Грузин. С. В. Зејски. Күкүрдүн селенде пајланмасының авторадиограм үсулу илә тәдгиги . . . . . 467

### *Иадромеханика*

А. М. Пирвердjan, Н. А. Гукасов. Ыәлгәви фәзада мајенин турболент ахымы . . . . . 473

### *Кимja*

Ж. Һ. Мәммәдәлијев, Д. Е. Мишијев. Алкил-метокси вә етокси бензол тәрәмәләринин сүлб катализаторлар иштиракилә синтези . . . . . 479  
А. Г. Мискарди, А. М. Бајрамов. Кил суспензијаларының сәтті актив реакентләрлә сабитләшдирилмәснин мәхәнәти һагында . . . . . 487

### *Нефт кимјасы*

М. Э. Һашымов, М. Н. Эһмәдов. Азәрбајчаның бә’зи нефтләринин тәркибиндә олан тәбин ароматик карбоһидроксенләрдән синтетик јууҷу маддә азолјат-Б-нин алымасы вә һәмин маддәнин Бакыда сәније мигјасында истенсал едилмәснин перспективләре . . . . . 493

### *Аналитик кимја*

И. Р. Сәлиханов. Археологи мис вә тунч хәлитләрindә никелий спектрал мигдар тә’јини . . . . . 497

### *Кеолокија*

Ә. Җ. Султанов, Г. П. Тамразjan. Абшерон јарымадасының мәңсүләр гаты әсрнindә ритмик чекүнту топланмасының бә’зи ганунауғунылуглary һагында . . . . . 503

### *Торпағшұнаслығ*

Ә. Н. Күләни мәдов, А. И. Мәммәдов. Перлитин кәнд тәсәррүфатында тәтбиғиге даир . . . . . 509  
П. С. Панин. Торпағың югулмуш гатында дузларын һәрәкәти һагында . . . . . 515

## *Агрокимја*

- Ч. М. Һусејнов, Р. Е. Эjjубов. Памбыг гозасының ачылмасына вә мәһи-  
сулуна ионлашмыш шүаларын тә'сирі . . . . . 521

## *Ботаника*

- Р. Эскерова. *Leontodon* L. чининин Азәрбайчанда жени нөвү . . . . . 527  
З. С. Эзизбәјова. Бә'зи жем отларының мұхтәлиф дүз мәңгүлларында  
шишмә вә чүчәрмәси . . . . . 529

## *Протистология*

- М. Э. Мусаев, А. М. Вејсов. Азәрбайчанда мешә сүлејсими *Dyromys*  
*nitedula* Pall коксидиләри . . . . . 535

## *Физиология*

- А. И. Гараев, А. Н. Даашов. Һипотермијаның интересептик мұба-  
дилә рефлексләринә тә'сирі . . . . . 541  
Ш. К. Тағыјев. Қојәрчинләрдә бағырсағ ресепторларының гычыганды-  
рылмасы заманы ганың шәкәр сәвијјесимиң рефлектор дәжишмәси . . . . . 547

## **СОДЕРЖАНИЕ**

### *Математика*

- А. С. Джадаров. О взвешенно-наилучшем равномерном приближении  
функций посредством многочленов . . . . . 459

### *Физика*

- А. К. Абас-заде, С. К. Ахуидов. Определение тепловых параметров  
некоторых строительных материалов Азербайджана . . . . . 463  
З. А. Алиярова, П. Л. Грузин, С. В. Земский. Изучение распре-  
деления примесей серы в селене с помощью авторадиографии . . . . . 467

### *Гидромеханика*

- А. М. Пирвердян, Н. А. Гукасов. Тurbулентное течение жидкости  
в трубе кольцевого сечения . . . . . 473

### *Химия*

- Ю. Г. Мамедалиев, Д. Е. Мишиев. Синтез алкил-, аллоксизамещен-  
ных бензола в присутствии твердых катализаторов . . . . . 479  
А. К. Мискарли, А. М. Байрамов. Исследование стабилизации глини-  
стых суспензий натриевыми солями одноосновных органических кислот жирного  
ряда . . . . . 487

### *Химия нефти*

- М. А. Ашимов, М. Н. Ахмедов. Получение синтетического моющего  
средства азолята-Б из природной ароматики, содержащейся в некоторых неф-  
тях Азербайджана и перспективы его промышленного производства в Баку . . . . . 493

### *Аналитическая химия*

- И. Р. Селимханов. Спектральное количественное определение никеля  
в археологических медных и бронзовых сплавах . . . . . 497

### *Геология*

- А. Д. Султанов, Г. П. Тамразян. О некоторых закономерностях рит-  
мического осадконакопления в верхне продуктивной толще в пределах Апшерон-  
ского полуострова . . . . . 503

### *Почвоведение*

- А. Н. Гульаждемов, А. И. Мамедов. О возможности применения  
перлита в сельском хозяйстве . . . . . 509  
П. С. Панин. К вопросу о движении солей в промываемом слое засолен-  
ной почвы . . . . . 515

## *Агрохимия*

- Д. М. Гусейнов, Р. Э. Эюбов. Влияние ионизирующих излучений на созревание и урожай хлопка-сырца . . . . . 521

## *Ботаника*

- Р. Аскерова. Новый вид рода *Leontodon* L. из Азербайджана . . . . . 527  
 З. С. Азизбекова. Набухание и прорастание семян некоторых кормовых трав в солевых растворах . . . . . 529

## *Протистология*

- М. А. Мусаев, А. М. Вейсов. Кокцидии лесной сони в Азербайджане . 535

## *Физиология*

- А. И. Карав, В. Г. Дадашев. Влияние гипотермии на инteroцептивные обменные рефлексы . . . . . 541  
 Ш. К. Тагиев. Безусловно-рефлекторный сдвиг уровня сахара в крови у голубей при раздражении рецепторов кишечника . . . . . 547

Чапа имзаланмыш 13/VI 1959-чу ил. Кағыз форматы 70×108<sup>1/с</sup>. Кағыз вәрәги 3,125.  
 Чап вәрәги 8,56. Һес.-иәшријат вәрәги 7,9. ФГ 15686.  
 Сифариш 270. Тиражы 1000.

Азәрбајҹан ССР Мәдәнијјәт Назирлийинин „Гызыл Шәрг“ мәбәэсси.  
 Бакы, һәзи Асланов күчәси, № 80.